

ผลของการปนเปื้อนน้ำลายเทียมและครัวบุหรี่ต่อเสถียรภาพของสีของเรซิโนเมเนต์

นายสุเมียร อัมพรสิริวัฒน์

วิทยานิพนธ์นี้เป็นส่วนหนึ่งของการศึกษาตามหลักสูตรปริญญาวิทยาศาสตรมหาบัณฑิต

สาขาวิชาทันตกรรมประดิษฐ์ ภาควิชาทันตกรรมประดิษฐ์

คณะทันตแพทยศาสตร์ จุฬาลงกรณ์มหาวิทยาลัย

ปีการศึกษา 2554

ลิขสิทธิ์ของจุฬาลงกรณ์มหาวิทยาลัย

บทคัดย่อและแฟ้มข้อมูลบันเต็มของวิทยานิพนธ์ตั้งแต่ปีการศึกษา 2554 ที่ให้บริการในคลังปัญญาจุฬา (CUIR)

เป็นแฟ้มข้อมูลของนิสิตเจ้าของวิทยานิพนธ์ที่ส่งผ่านทางบันทึกวิทยาลัย

The abstract and full text of theses from the academic year 2011 in Chulalongkorn University Intellectual Repository (CUIR)

are the thesis authors' files submitted through the Graduate School.

THE EFFECTS OF ARTIFICIAL SALIVA CONTAMINATION AND CIGARETTE SMOKE
ON COLOR STABILITY OF RESIN CEMENTS

Mr. Suthean Umpronsirirat

A Thesis Submitted in Partial Fulfillment of the Requirements
for the Degree of Master of Science Program in Prosthodontics

Department of Prosthodontics

Faculty of Dentistry

Chulalongkorn University

Academic Year 2011

Copyright of Chulalongkorn University

หัวข้อวิทยานิพนธ์ ผลของการปนเปี้ยนน้ำลายเทียมและควรบุหรี่ต่อ
เสถียรภาพของสีของเรซินซีเมนต์
โดย นายสุเมียร์ อัมพรศิริวัฒน์
สาขาวิชา ทันตกรรมประดิษฐ์
อาจารย์ที่ปรึกษาวิทยานิพนธ์หลัก ผู้ช่วยศาสตราจารย์ ทันตแพทย์ ดร. นิยม รัมรุงค่อนนัต์สกุล

คณะกรรมการจัดทำ คณะกรรมการจัดทำ
เป็นส่วนหนึ่งของการศึกษาตามหลักสูตรปริญญาบัณฑิต

..... คณบดีคณะทันตแพทยศาสตร์
(รองศาสตราจารย์ ทันตแพทย์หญิง วัชราภรณ์ ทศจันทร์)

คณะกรรมการสอบวิทยานิพนธ์

..... ประธานกรรมการ
(ผู้ช่วยศาสตราจารย์ ทันตแพทย์หญิง ดร. ปราโมงค์ ชาลีมี)

..... อาจารย์ที่ปรึกษาวิทยานิพนธ์หลัก
(ผู้ช่วยศาสตราจารย์ ทันตแพทย์ ดร. นิยม รัมรุงค่อนนัต์สกุล)

..... กรรมการ
(ผู้ช่วยศาสตราจารย์ ทันตแพทย์ ดร. วิวิทธิ์ พล ศรีวนิดีพงศ์)

..... กรรมการภายนอกมหาวิทยาลัย
(รองศาสตราจารย์ ทันตแพทย์หญิง รำไพ ใจจนกิจ)

สุธียร อัมพรสิริรัตน์ : ผลของการปนเปื้อนน้ำลายเทียมและควนบุหรี่ต่อเสถียรภาพของสีของเรซินซีเมนต์ (THE EFFECTS OF ARTIFICIAL SALIVA CONTAMINATION AND CIGARETTE SMOKE ON COLOR STABILITY OF RESIN CEMENTS) อ. ทีปรึกษาวิทยานิพนธ์ : ผศ. ทพ. ดร.นิยม รำรงค่อนันต์สกุล, 71 หน้า.

วัตถุประสงค์ของการศึกษาครั้งนี้ คือเพื่อประเมินผลของการปนเปื้อนน้ำลายเทียม และผลของควนบุหรี่ต่อเสถียรภาพของสีของเรซินซีเมนต์ในแต่ละผลิตภัณฑ์ โดยแบ่งทำการทดสอบเป็น 2 ตอน การทดสอบตอนที่หนึ่ง เรซินซีเมนต์จำนวน 6 ผลิตภัณฑ์ (Nexus 3, Variolink Veneer, Superbond C&B, Clearfil SA Cement, Panavia F2.0 และ Multilink Speed) ได้ถูกเลือกนำมาทดสอบ เรซินซีเมนต์แต่ละผลิตภัณฑ์จะแยกออกเป็น 2 กลุ่มอย่างคือ กลุ่มเรซินซีเมนต์ที่ไม่ปนเปื้อนน้ำลายเทียมก่อนเกิดปฏิกิริยาการก่อตัว (N) และกลุ่มเรซินซีเมนต์ที่ปนเปื้อนน้ำลายเทียมก่อนการเกิดปฏิกิริยาการก่อตัว (S) เตรียมขึ้นตัวอย่างจากเรซินซีเมนต์จำนวน 10 ชิ้นในแต่ละกลุ่ม จำนวน 12 กลุ่มโดยใช้แม่แบบอะคริลิก นำขึ้นตัวอย่างมาฝ่านการเร่งอายุด้วยเครื่องทดสอบการเร่งอายุเป็นเวลา 120 ชั่วโมง ทำการวัดสีก่อนและหลังฝ่านการเร่งอายุด้วยเครื่องวัดสี ผลของการทดสอบตอนที่หนึ่งพบว่าการปนเปื้อนน้ำลายเทียมไม่ส่งผลกระทบต่อเสถียรภาพของสีของเรซินซีเมนต์ ในขณะที่กลุ่ม Multilink Speed และกลุ่ม Superbond C&B มีการเปลี่ยนสีอย่างเห็นได้ชัดมากที่สุดตามลำดับ ส่วนกลุ่ม Variolink Veneer มีการเปลี่ยนสีที่น้อยที่สุด ส่วนการทดสอบตอนที่สอง นำขึ้นตัวอย่างจำนวน 10 ชิ้นของแต่ละผลิตภัณฑ์จากเรซินซีเมนต์จำนวน 6 ผลิตภัณฑ์มาทำการรวมควนบุหรี่อย่างต่อเนื่องจำนวน 12 月 โดยใช้บุหรี่ 1 月 ในกระบวนการรวมควนในกล่องนาน 6 นาที ใช้เวลารวมทั้งหมด 72 นาที และวิจัยความหลากหลายครอบคลุมบุหรี่ด้วยเครื่องอัลตราโซนิก โดยทำการวัดสีจำนวน 3 ครั้งคือ การวัดสีก่อนการรวมควนบุหรี่ การวัดสีหลังการรวมควนบุหรี่ และการวัดสีหลังทำการรวมควนบุหรี่ แล้ววิจัยความหลากหลายผลต่างเฉลี่ยของสีก่อนกับหลังการรวมควนบุหรี่ (ΔE_{12}) และผลต่างเฉลี่ยของสีก่อนการรวมควนบุหรี่กับหลังทำการรวมควนบุหรี่ (ΔE_{13}) ผลของการทดสอบตอนที่สองพบว่าหลังการรวมควนบุหรี่ สามารถสังเกตเห็นถึงการเปลี่ยนสีของเรซินซีเมนต์ด้วยสายตามนูญได้ ($\Delta E_{12} \geq 3.3$) ยกเว้นกลุ่ม Clearfil SA Luting และกลุ่ม Panavia F2.0 และเมื่อทำการรวมควนบุหรี่ที่ชั้นตัวอย่างด้วยเครื่องอัลตราโซนิก พบร่วมกับการติดสีจากครอบคลุมบุหรี่ลดน้อยลงในเรซินซีเมนต์ทุกผลิตภัณฑ์ที่นำมาทดสอบ ($p \leq 0.05$) ความรู้ที่ได้จากการวิจัยนี้สามารถนำไปเป็นแนวทางเบื้องต้นในการเลือกใช้เรซินซีเมนต์ให้เหมาะสมสมกับงานทันตกรรมด้านความสวยงาม และอาจใช้เป็นข้อมูลในการนำไปใช้ศึกษางานวิจัยขั้นต่อไปในอนาคตได้

ภาควิชา ทันตกรรมประดิษฐ์ ลายมือชื่อนิสิต.....

สาขาวิชา ทันตกรรมประดิษฐ์ ลายมือชื่อ อ.ทีปรึกษาวิทยานิพนธ์หลัก.....

ปีการศึกษา 2554

5276138132 : MAJOR PROSTHODONTICS

KEYWORDS : CIGARETTE SMOKE/ COLOR STABILITY/ RESIN CEMENT/ SALIVA

SUTHEAN UMPRONSIRIRAT : THE EFFECTS OF ARTIFICIAL SALIVA CONTAMINATION AND CIGARETTE SMOKE ON COLOR STABILITY OF RESIN CEMENTS. ADVISOR : NIYOM THAMRONGANANSKUL, Ph.D., 71 pp.

The purpose of this in vitro study was to investigate the effects of artificial saliva contamination and cigarette smoke on color stability of resin cements. The tests were divided into two parts. In first part, Six resin cements (Nexus 3, Variolink Veneer, Superbond C&B, Clearfil SA Cement, Panavia F2.0 and Multilink Speed) were selected for this study. Each product of resin cements was divided into two groups; specimen group that was not contaminated with artificial saliva (N) and specimen group that was contaminated with artificial saliva (S) before polymerization of resin cements. Ten specimen disks of twelve groups were prepared using an acrylic mold. The specimen disks were subjected to accelerated aging for 120 hours. The color was measured before and after accelerated aging by using Spectrophotometer. The results of this part revealed that the artificial saliva contamination did not affect color stability of resin cements. Multilink Speed and Superbond C&B had the most obvious color change, respectively, while Variolink Veneer had the least color change. In second part, ten specimen disks of six resin cements were subjected to continuous smoke of twelve cigarettes at the rate of 1 cigarette/6 min for a total exposure time of 72 minutes. The specimen disks were cleaned with ultrasonic cleaner. The color was measured before smoke exposure (baseline), after smoke exposure, and after ultrasonic cleaning. Color changes were calculated between baseline and after smoke exposure measurements (ΔE_{12}), and between baseline and after ultrasonic cleaning measurements (ΔE_{13}). The results showed that after exposure to cigarette, Most resin cements had perceptible color changes ($\Delta E_{12} \geq 3.3$) except Clearfil SA Luting and Panavia F2.0. While ultrasonic cleaning could reduce stains from cigarette smoke attached on all tested resin cements ($p \leq 0.05$). The knowledge from this study can be a preliminary suggestion for selection of resin cements for esthetic dentistry, and may be used for further research in the future.

Department : Prosthodontics Student's Signature

Field of Study : Prosthodontics Advisor's Signature

Academic Year : 2011

กิตติกรรมประกาศ

วิทยานิพนธ์ฉบับนี้จะไม่สามารถสำเร็จลุล่วงไปได้เลย หากปราศจากการให้คำแนะนำและคำปรึกษาเป็นอย่างดีจาก ผศ. ดร.นิยม ร่วมอนันต์สกุล ผู้เป็นอาจารย์ที่ปรึกษาวิทยานิพนธ์ ผู้เขียนขอกราบขอบพระคุณอาจารย์เป็นอย่างยิ่งที่ได้สละเวลาอันมีค่าในการให้คำปรึกษาอันมีประโยชน์อย่างยิ่งต่องานวิจัย ทำให้ขึ้นตอนต่างๆ ในการดำเนินงานมีความราบรื่น และมีประสิทธิภาพ

ขอขอบพระคุณ อ.ไพบูลย์ พิทยานันท์ ให้ความรู้และคำปรึกษาทางด้านสติ๊กิ๊กในการวิจัย และขอกราบขอบพระคุณคณะกรรมการทุกท่าน ที่กรุณาให้คำแนะนำ และแก้ไขให้วิทยานิพนธ์เล่มนี้มีความสมบูรณ์ สำเร็จลุล่วงไปได้ด้วยดี

สารบัญ

	หน้า
บทคัดย่อภาษาไทย.....	๑
บทคัดย่อภาษาอังกฤษ.....	๑
กิตติกรรมประกาศ.....	๒
สารบัญ.....	๓
สารบัญตราสาร.....	๔
สารบัญภาพ.....	๕
บทที่ 1 บทนำ.....	1
1.1 ความเป็นมาและความสำคัญของปัญหา.....	1
1.2 คำถament งานวิจัย.....	2
1.3 วัตถุประสงค์ของการวิจัย.....	2
1.4 ขอบเขตของการวิจัย.....	3
1.5 ข้อตกลงเบื้องต้น.....	3
1.6 ข้อจำกัดของการวิจัย.....	3
1.7 คำสำคัญ.....	3
1.8 คำจำกัดความที่ใช้ในการวิจัย.....	3
1.9 สมมติฐานการวิจัย.....	4
1.10 ประโยชน์ที่คาดว่าจะได้รับ.....	4
1.11 รูปแบบการวิจัย.....	4
1.12 ลำดับขั้นตอนการปฏิบัติการวิจัย.....	5
บทที่ 2 เอกสารและงานวิจัยที่เกี่ยวข้อง.....	6
2.1 เรชินซีเมนต์.....	6
2.1.1 เรชินซีเมนต์ชนิดก่อตัวด้วยปฏิกิริยาเคมี หรือชนิดก่อตัวด้วยตัวเอง.....	6
2.1.2 เรชินซีเมนต์ชนิดก่อตัวด้วยแสง.....	7
2.1.3 เเรชินซีเมนต์ชนิดก่อตัวด้วยแสงร่วมกับปฏิกิริยาเคมี หรือชนิดก่อตัว	
ควบคู่.....	8

	หน้า
2.2 การเปลี่ยนสีของเรซินซีเมนต์.....	8
2.3 สี.....	10
2.3.1 ระบบสีมันเซล (Munsell).....	11
2.3.2 ระบบสีซีไอเอ (CIELAB system).....	11
2.4 บุหรี่.....	13
2.4.1 สารพิษในบุหรี่.....	13
2.4.2 บุหรี่กับโรคในช่องปาก.....	14
บทที่ 3 วิธีดำเนินการวิจัย.....	15
3.1 ประชากร.....	15
3.2 วัสดุที่ใช้ในการวิจัย.....	15
3.3 อุปกรณ์ที่ใช้ในการทดลอง.....	16
3.4 วิธีการดำเนินการวิจัย.....	18
3.4.1 ตอนที่หนึ่ง: การทดสอบเสถียรภาพของสีของเรซินซีเมนต์ จากผลของการปนเปื้อนน้ำลายเทียมก่อนการเกิดปฏิกิริยาการก่อตัว หลังผ่านการเร่งอายุ.....	18
3.4.2 ตอนที่สอง : การทดสอบเสถียรภาพของสีของเรซินซีเมนต์จากผลของการปนเปื้อนน้ำลาย.....	23
3.5 การวิเคราะห์ข้อมูล.....	26
บทที่ 4 ผลการวิเคราะห์ข้อมูล.....	28
4.1 ผลการทดสอบเสถียรภาพของสีของเรซินซีเมนต์ จากผลของการปนเปื้อนน้ำลายเทียมก่อนการเกิดปฏิกิริยาการก่อตัว หลังผ่านการเร่งอายุ.....	28
4.2 ผลการทดสอบเสถียรภาพของสีของเรซินซีเมนต์จากผลของการปนเปื้อนน้ำลาย.....	33
บทที่ 5 สรุปผลการวิจัย อภิปรายผล และข้อเสนอแนะ.....	39
5.1 อภิปรายระเบียบวิธีการวิจัย.....	39
5.2 อภิปรายผลการวิจัย.....	40

หน้า

5.2.1 อภิปรายการทดสอบเสถียรภาพของสีของเรซินซีเมนต์ จากผลของการปนเปื้อนน้ำลายเทียมก่อนการเกิดปฏิกิริยากรอกตัว หลังผ่านการเร่งอุ่น.....	40
5.2.2 อภิปรายการทดสอบเสถียรภาพของสีของเรซินซีเมนต์จากผลของควันบุหรี่.....	44
5.2.3 อภิปรายการทดสอบเสถียรภาพของสีของเรซินซีเมนต์จากการทดสอบต่อนที่หนึ่งและต่อนที่สอง.....	46
5.3 สรุปผลการวิจัย.....	47
5.4 ข้อเสนอแนะ.....	48
รายการข้างอิง.....	49
ภาคผนวก.....	56
ประวัติผู้เขียนวิทยานิพนธ์.....	71

สารบัญตาราง

	หน้า
ตารางที่ 1 แสดงขั้นตอนการปฏิบัติงานวิจัย.....	5
ตารางที่ 2 แสดงเรชินซีเมนต์จำนวน 6 ผลิตภัณฑ์ที่นำมาทำการทดสอบ.....	15
ตารางที่ 3 แสดงกลุ่มทดลองจำนวน 12 กลุ่มที่นำมาทดสอบในตอนที่หนึ่ง	18
ตารางที่ 4 แสดงค่า L^* , a^* และ b^* เฉลี่ยและส่วนเบี่ยงเบนมาตรฐานก่อนและหลังผ่านกระบวนการเร่งอายุในเรชินซีเมนต์จำนวน 12 กลุ่ม.....	28
ตารางที่ 5 แสดงผลการวิเคราะห์การเปรียบเทียบรายคู่ภายหลัง ชนิดแทนเขนส์ ที่ทุกของค่าผลต่างเฉลี่ยของสีหลังผ่านการเร่งอายุในเรชินซีเมนต์จำนวน 12 กลุ่ม.....	32
ตารางที่ 6 แสดงค่า L^* , a^* และ b^* เฉลี่ยก่อนการรวมค้วนบุหรี่ หลังการรวมค้วนบุหรี่ และหลังการทำความสะอาดคราบค้วนบุหรี่ในเรชินซีเมนต์แต่ละผลิตภัณฑ์.	34
ตารางที่ 7 แสดงผลการทดสอบความแตกต่างระหว่างค่าผลต่างเฉลี่ยของสีก่อนกับหลังการรวมค้วนบุหรี่ (ΔE_{12}) และผลต่างเฉลี่ยของสีก่อนการรวมค้วนบุหรี่กับหลังทำความสะอาดคราบค้วนบุหรี่ (ΔE_{13}) ในเรชินซีเมนต์แต่ละผลิตภัณฑ์ ด้วยวิธีการวิเคราะห์แบบรายคู่ภายหลังแบบแพร์แซมเบิล ทีเกสต์.....	38
ตารางที่ 8 แสดงการวิเคราะห์การกระจายของข้อมูลของค่าผลต่างเฉลี่ยของสีหลังผ่านการเร่งอายุในเรชินซีเมนต์จำนวน 12 กลุ่ม.....	57
ตารางที่ 9 แสดงการวิเคราะห์เปรียบเทียบอิทธิพลร่วมของการไม่เป็นเปี้ยนหรือปนเปี้ยนน้ำลายเที่ยมก่อนเกิดปฏิกิริยาการก่อตัว กับเรชินซีเมนต์ในแต่ละผลิตภัณฑ์ ต่อผลต่างเฉลี่ยของสีของเรชินซีเมนต์หลังผ่านการเร่งอายุ	60
ตารางที่ 10 แสดงการวิเคราะห์ความเหมือนของความแปรปรวน (Homogeneity of Variances) ด้วยการใช้การทดสอบแบบเลโวน (Levene's test) ค่าผลต่างเฉลี่ยของสีหลังผ่านการเร่งอายุในเรชินซีเมนต์จำนวน 12 กลุ่ม.....	60
ตารางที่ 11 แสดงการทดสอบค่าผลต่างเฉลี่ยของสีหลังผ่านการเร่งอายุในเรชินซีเมนต์จำนวน 12 กลุ่ม ด้วยวิธีการวิเคราะห์แบบทางเดียว (One-way ANOVA) และด้วยวิธีการของบราน์-ฟอร์ไซท์ (Brown-Forsythe test).....	61
ตารางที่ 12 แสดงการทดสอบค่าผลต่างเฉลี่ยของสีหลังผ่านการเร่งอายุในเรชินซีเมนต์จำนวน 12 กลุ่ม ด้วยวิธีการวิเคราะห์รายคู่ภายหลังแบบแทนเขนส์ ที่ทุก (Tamhane T2).....	62

หน้า	
ตารางที่ 13 แสดงการวิเคราะห์การกระจายของข้อมูลของค่าผลต่างเฉลี่ยของสีก่อนกับหลังการรวมคัวนบุหรี่ (ΔE_{12}) และผลต่างเฉลี่ยของสีก่อนการรวมคัวนบุหรี่กับหลังทำความสะอาดคราบคัวนบุหรี่ (ΔE_{13}) ในเรชินซีเมนต์จำนวน 6 ผลิตภัณฑ์.....	66
ตารางที่ 14 แสดงการวิเคราะห์ความเหมือนของความแปรปรวน (Homogeneity of Variances) ด้วยการใช้การทดสอบแบบเลโวน (Levene's test) ของค่าผลต่างเฉลี่ยของสีก่อนกับหลังการรวมคัวนบุหรี่ (ΔE_{12}) ในเรชินซีเมนต์จำนวน 6 ผลิตภัณฑ์.....	67
ตารางที่ 15 แสดงการทดสอบผลต่างเฉลี่ยของสีก่อนกับหลังการรวมคัวนบุหรี่ (ΔE_{12}) ในเรชินซีเมนต์จำนวน 6 ผลิตภัณฑ์ ด้วยวิธีการวิเคราะห์แบบทางเดียว (One-way ANOVA).....	68
ตารางที่ 16 แสดงการทดสอบผลต่างเฉลี่ยของสีก่อนกับหลังการรวมคัวนบุหรี่ (ΔE_{12}) ในเรชินซีเมนต์จำนวน 6 ผลิตภัณฑ์ ด้วยวิธีการวิเคราะห์รายคู่ภายหลังแบบ HSD ของ ทูเก็ย (Tukey's HSD test).....	68
ตารางที่ 17 แสดงการวิเคราะห์ความเหมือนของความแปรปรวน (Homogeneity of Variances) ด้วยการใช้การทดสอบแบบเลโวน (Levene's test) ของค่าผลต่างเฉลี่ยของสีก่อนการรวมคัวนบุหรี่กับหลังทำความสะอาดคราบคัวนบุหรี่ (ΔE_{13}) ในเรชินซีเมนต์จำนวน 6 ผลิตภัณฑ์.....	69
ตารางที่ 18 แสดงการทดสอบผลต่างเฉลี่ยของสีก่อนการรวมคัวนบุหรี่กับหลังทำความสะอาดคราบคัวนบุหรี่ (ΔE_{13}) ในเรชินซีเมนต์จำนวน 6 ผลิตภัณฑ์ ด้วยวิธีการวิเคราะห์แบบทางเดียว (One-way ANOVA).....	69
ตารางที่ 19 แสดงการทดสอบผลต่างเฉลี่ยของสีก่อนการรวมคัวนบุหรี่กับหลังทำความสะอาดคราบคัวนบุหรี่ (ΔE_{13}) ในเรชินซีเมนต์จำนวน 6 ผลิตภัณฑ์ ด้วยวิธีการวิเคราะห์รายคู่ภายหลังแบบ HSD ของ ทูเก็ย (Tukey's HSD test).....	70

สารบัญภาพ

	หน้า
ภาพที่ 1 แสดงขั้นตอนการเริ่มต้นของปฏิกริยาพอลิเมอไรเซ็น.....	7
ภาพที่ 2 แสดงสีในระบบมันเซล.....	11
ภาพที่ 3 แสดงสีในระบบระบบสีไอโอดี.....	12
ภาพที่ 4 แสดงเครื่องอัลตราโซนิก.....	16
ภาพที่ 5 แสดงเครื่องวัดสี.....	16
ภาพที่ 6 แสดงเครื่องทดสอบการเร่งอายุ.....	17
ภาพที่ 7 แสดงตู้ควบคุมอุณหภูมิ.....	17
ภาพที่ 8 แสดงจำนวนชิ้นตัวอย่างในแต่ละกลุ่มทดลองจำนวน 12 กลุ่มที่นำมาทดสอบ ในตอนที่หนึ่ง.....	19
ภาพที่ 9 แสดงขั้นตอนการทดสอบในตอนที่หนึ่ง.....	19
ภาพที่ 10 แสดงชิ้นตัวอย่างเรซินซีเมนต์.....	20
ภาพที่ 11 แสดงการเตรียมชิ้นตัวอย่าง.....	20
ภาพที่ 12 แสดงการทำสัญลักษณ์ไว้ที่ขอบของชิ้นตัวอย่าง.....	21
ภาพที่ 13 แสดงตำแหน่งชิ้นตัวอย่างที่วางแนบกับช่องวัดสีของเครื่องวัดสี.....	22
ภาพที่ 14 แสดงจำนวนชิ้นตัวอย่างในแต่ละกลุ่มทดลองจำนวน 6 กลุ่ม ที่นำมาทดสอบ ในตอนที่สอง.....	23
ภาพที่ 15 แสดงขั้นตอนการทดสอบในตอนที่สอง.....	24
ภาพที่ 16 แสดงกล่องสำหรับรวมค่านูนูหรี่และมอเตอร์ดูดอากาศ.....	25
ภาพที่ 17 แสดงการเปลี่ยนแปลงของค่า L^* , a^* และ b^* เฉลี่ยหลังผ่านการเร่งอายุใน เรซินซีเมนต์จำนวน 12 กลุ่ม.....	29
ภาพที่ 18 แสดงค่าผลต่างเฉลี่ยของสีหลังผ่านการเร่งอายุในเรซินซีเมนต์จำนวน 12 กลุ่ม.....	30
ภาพที่ 19 แสดงการเปลี่ยนแปลงของค่า L^* , a^* และ b^* เฉลี่ยหลังการรวมค่านูนูหรี่และ หลังทำความสะอาดคราบควนบุหรี่ เมื่อเปรียบเทียบกับก่อนการรวมควนบุหรี่..	34
ภาพที่ 20 แสดงค่าผลต่างเฉลี่ยของสีก่อนกับหลังการรวมควนบุหรี่ (ΔE_{12}).....	35
ภาพที่ 21 แสดงค่าผลต่างเฉลี่ยของสีก่อนการรวมควนบุหรี่ กับหลังทำความสะอาดคราบ ควนบุหรี่ (ΔE_{13}).....	36

หน้า	
ภาพที่ 22 แสดงผลต่างเฉลี่ยของสีก่อนกับหลังการรวมค่านู仇รี่ (ΔE_{12}) และผลต่างเฉลี่ยของสีก่อนการรวมค่านู仇รี่กับหลังทำความสะอาดครบค่านู仇รี่ (ΔE_{13}) ในเรซินซีเมนต์แต่ละผลิตภัณฑ์.....	37
ภาพที่ 23 แสดงชิ้นตัวอย่าง Multilink Speed ก่อนผ่านการเร่งอายุ.....	42
ภาพที่ 24 แสดงชิ้นตัวอย่าง Multilink Speed หลังผ่านการเร่งอายุ.....	42
ภาพที่ 25 แสดงขั้นตอนการเสื่อมสภาพของพอลิเมทธาคริเลต.....	43
ภาพที่ 26 แสดงการดูดซับ (Adsorption) และการดูดซึม (Absorption).....	45
ภาพที่ 27 แสดงทราบน้ำมันทาร์ที่ติดบริเวณท่อยางที่ดูดค่านู仇รี่และกล่องสำหรับรวมค่านู仇รี่.....	46

บทที่ 1

บทนำ

1.1 ความเป็นมาและความสำคัญของปัจจุบัน

ปัจจุบันงานทันตกรรมบูรณะได้มีการพัฒนาขึ้นมาก ซึ่งในการบูรณะนั้นนอกจากจะรักษาสภาพฟันให้กลับสู่สภาวะปกติเพื่อให้สามารถใช้งานได้อย่างมีประสิทธิภาพแล้ว ยังต้องให้ความสำคัญกับความสวยงามด้วย ผู้ป่วยจำนวนมากต้องการให้ทันตแพทย์บูรณะฟันด้วยวัสดุที่มีสีที่เหมือนกับสีของฟันธรรมชาติ ในด้านของความสวยงามนั้นวัสดุบูรณะฟันที่นิยมใช้กันอย่างแพร่หลาย ได้แก่ พอร์ซเลนและเรซินคอมโพสิต โดยไนว่าจะทำการบูรณะด้วยวัสดุชนิดใดก็ตาม พบว่าความสำเร็จเริ่มต้นด้านทันตกรรมสวยงามขึ้นกับสีที่เข้ากันได้ระหว่างฟันกับวัสดุบูรณะ ส่วนผลสำเร็จระยะยาวของงานด้านทันตกรรมสวยงามขึ้นกับเสถียรภาพของสีของวัสดุบูรณะและชีเมนต์ที่ใช้ในการยึด [1, 2]

การบูรณะฟันเพื่อให้เกิดความสวยงาม อาทิเช่น ครอบฟันชนิดกระเบื้องล้วน (all ceramic) ต้องอาศัยเรซินชีเมนต์เป็นสารเชื่อมในการยึดชิ้นตัวอย่างให้ติดกับฟันหลัก โดยเรซินชีเมนต์มีสมบัติที่เหนือกว่าชีเมนต์ชนิดดังเดิม คือ มีค่ากำลังแรงยึดและความแข็งแรงสูง [3] มีการละลายตัวในน้ำต่ำ [3, 4] มีการผนึกบริเวณขอบดีซึ่งช่วยลดการเกิดรอยร้าวบริเวณขอบ และมีสีที่หลากหลายให้เลือกใช้เพื่อความสวยงาม แต่มีข้อเสียที่สำคัญคือ บางผลิตภัณฑ์มีขั้นตอนในการยึดวัสดุบูรณะที่ยุ่งยาก (technique sensitive) [3]

ในปัจจุบันมีการนำเรซินชีเมนต์มาใช้ในงานทันตกรรมมากขึ้น โดยเฉพาะใช้ในการยึดชิ้นพอร์ซเลนหรือเรซินคอมโพสิตวีเนียร์กับตัวฟัน เริ่มแรกได้นำเรซินชีเมนต์ที่เกิดปฏิกิริยาการเกิดพอลิเมอร์ได้ด้วยตัวเองมาใช้เพื่อจุดประسีกนี้ แต่เนื่องจากมีข้อเสียคือระยะเวลาทำงานและระยะเวลาการก่อตัวที่นาน จึงมีการนำเรซินชีเมนต์ที่เกิดปฏิกิริยาการก่อตัวได้ด้วยแสงมาใช้ แต่มีการศึกษาพบว่าร้อยละของจำนวนพันธะคู่ระหว่างคาร์บอนกับคาร์บอนไปเป็นพันธะเดี่ยว (degree of conversion) มีค่าลดลงอย่างมีนัยสำคัญ [5-7] เนื่องจากแสงไม่สามารถทะลุผ่านชิ้นตัวอย่างได้ [8, 9] รวมทั้งการที่แสงไม่สามารถผ่านไปบริเวณใต้ขอบเหงือกได้ ดังนั้นจึงได้มีการผลิตเรซินชีเมนต์ชนิดก่อตัวด้วยแสงร่วมกับปฏิกิริยาเคมี (dual-cure) ที่เกิดทั้งปฏิกิริยาการก่อตัวได้ด้วยแสงและเกิดปฏิกิริยาการก่อตัวได้ด้วยตัวเอง

มีการศึกษาจำนวนมากเกี่ยวกับเสถียรภาพของสีของวัสดุที่ทำการบูรณะโดยเฉพาะชิ้นตัวอย่างเรซินคอมโพสิตที่พบว่ามีเสถียรภาพของสีที่ดีสามารถยอมรับได้ [10-14] แต่มีการศึกษาที่เน้นเฉพาะเตี้ยรากของสีของเรซินซีเมนต์จำนวนไม่มาก และผลการศึกษาเกี่ยงหาข้อสรุปไม่ได้ [1, 15-17] Noie และคณะ [17] ได้ศึกษาการเปลี่ยนสีของเรซินซีเมนต์หลังจากการรักษาของ Luis และ Powers [2] พบร่วมกันว่าเรซินซีเมนต์ที่ทำการทดสอบมีการเปลี่ยนสีส่วนสังเกตเห็นได้

เรซินซีเมนต์เป็นหนึ่งในปัจจัยสำคัญในงานทันตกรรมด้านความสวยงาม ถึงแม้ว่าเรซินซีเมนต์จะถูกปิดทับด้วยชิ้นวัสดุบูรณะ แต่เรซินซีเมนต์บริเวณขอบของชิ้นวัสดุบูรณะจะปรากฏออกมาระหว่างสีของปากและอาจเกิดการเปลี่ยนสีได้ [18] ในเรซินซีเมนต์ชนิดก่อตัวด้วยแสงและเรซินซีเมนต์ชนิดก่อตัวด้วยแสงร่วมกับปฏิกิริยาเคมี จะต้องทำการฉายแสงโดยครอบคลุมถึงบริเวณขอบของชิ้นวัสดุบูรณะที่ทำการรักษา ซึ่งบริเวณนี้อาจจะสัมผัสกับน้ำลายในช่องปากได้ แต่ยังไม่มีการศึกษาว่า ถ้าในเรซินซีเมนต์แต่ละผลิตภัณฑ์มีการสัมผัสน้ำลายก่อนเกิดการปฏิกิริยาการก่อตัว จะมีผลต่อการเปลี่ยนสีของเรซินซีเมนต์หรือไม่ รวมทั้งเรซินซีเมนต์ในแต่ละผลิตภัณฑ์จะเกิดการติดสีจากคราบครั้นบุหรี่แตกต่างกันหรือไม่ ดังนั้นในงานวิจัยนี้จึงทำการศึกษาเรื่องผลของการปนเปื้อนน้ำลายเทียมและครั้นบุหรี่ต่อเสถียรภาพของสีของเรซินซีเมนต์ โดยทดสอบเรซินซีเมนต์จำนวน 6 ผลิตภัณฑ์ซึ่งมีบางผลิตภัณฑ์ที่ยังไม่ได้มีการศึกษาสมบัติต่าง ๆ เนื่องจากบริษัทผู้ผลิตเริ่มออกนำมามาก่อนแล้ว

1.2 คำถามวิจัย

1.2.1 การปนเปื้อนน้ำลายเทียมก่อนเกิดปฏิกิริยาการก่อตัวจะมีผลต่อเสถียรภาพของสีของเรซินซีเมนต์ในแต่ละผลิตภัณฑ์หรือไม่ หลังผ่านการรักษา

1.2.2 ครั้นบุหรี่จะมีผลต่อเสถียรภาพของสีของเรซินซีเมนต์ในแต่ละผลิตภัณฑ์หรือไม่

1.3 วัตถุประสงค์ของการวิจัย

1.3.1 เพื่อประเมินผลของการปนเปื้อนน้ำลายเทียมก่อนเกิดปฏิกิริยาการก่อตัว ต่อเสถียรภาพของสีของเรซินซีเมนต์ในแต่ละผลิตภัณฑ์ หลังผ่านการรักษา

1.3.2 เพื่อประเมินผลของครั้นบุหรี่ ต่อเสถียรภาพของสีของเรซินซีเมนต์ในแต่ละผลิตภัณฑ์

1.4 ขอบเขตของการวิจัย

การศึกษานี้เป็นการศึกษาเชิงพัฒนาระบบที่เปลี่ยนสีของเรซินชีเมนต์ที่นำมาทดสอบเท่านั้น โดยไม่ได้ศึกษาถึงความแข็งแรงหรือการยึดติดของเรซินชีเมนต์

1.5 ข้อตกลงเบื้องต้น

ถึงแม้ว่าการวิจัยครั้งนี้เป็นการทดสอบเสถียรภาพของสีของเรซินชีเมนต์ แต่ชิ้นตัวอย่างเรซินชีเมนต์ที่นำมาใช้ในงานในคลินิก เนื่องจากถ้าทำชิ้นตัวอย่างที่มีความหนาใกล้เคียงกับความหนาของเรซินชีเมนต์ที่นำมาใช้ในงานในคลินิก น้ำหนักจะมีขนาดความหนามากกว่าความหนาของเรซินชีเมนต์ที่นำมาใช้ในงานในคลินิก ชิ้นตัวอย่างจะเปราะ และแตกหักได้ง่าย

สีของชิ้นตัวอย่างบูรณะที่นำมาใช้ติดในทางคลินิกจะมีปัจจัยหลายอย่างร่วมกัน เช่น สีของตัวฟัน สีของเรซินชีเมนต์ หรือสีของชิ้นตัวอย่างบูรณะที่นำมาใช้ติด แต่ในงานวิจัยนี้เป็นการทดสอบเสถียรภาพของสีของเรซินชีเมนต์เพียงปัจจัยเดียวเท่านั้น

1.6 ข้อจำกัดของการวิจัย

การวิจัยนี้เป็นการศึกษาในห้องปฏิบัติการ (*in vitro*) เท่านั้น โดยปฏิบัติการภายใต้ภาวะที่กำหนด โดยควบคุมปัจจัยบางอย่างให้ใกล้เคียงกับสภาพในช่องปาก ซึ่งไม่สามารถจำลองสภาพแวดล้อมให้เหมือนสภาพแวดล้อมในช่องปากได้ทุกประการ เช่น อุณหภูมิ ความชื้น ผลกระทบจากการปนเปื้อนน้ำลายจริง เป็นต้น ดังนั้นการตีความผลเพื่อนำไปประยุกต์ใช้ทางคลินิกอาจต้องมีการศึกษาเพิ่มเติม

1.7 คำสำคัญ

1.7.1 Cigarette smoke

1.7.2 Color stability

1.7.3 Resin cement

1.7.4 Saliva

1.8 คำจำกัดความที่ใช้ในการวิจัย

1.8.1 เสถียรภาพของสี (color stability) หมายถึง ความคงทนของวัสดุต่อการเปลี่ยนสี

1.8.2 การเปลี่ยนสี (color change) หมายถึง การที่วัสดุเปลี่ยนสี ในงานวิจัยนิยมวัดจากการเปลี่ยนสีจากเครื่องวัดสีซึ่งถ้าค่าผลต่างของสี (ΔE) มีค่ามากกว่าหรือเท่ากับ 3.3 หน่วย จะสามารถสังเกตเห็นการเปลี่ยนสีได้ด้วยตาปกติของมนุษย์

1.8.3 การเร่งอายุ (accelerated aging) หมายถึง กระบวนการเร่งสสารหรือวัสดุให้เหมือนผ่านการใช้งานมาเป็นระยะเวลานาน

1.9 สมมติฐานการวิจัย

1.9.1 การปนเปื้อนน้ำลายเทียมก่อนเกิดปฏิกิริยาการก่อตัว จะมีผลต่อเสถียรภาพของสีของเรซินซีเมนต์ผลิตภัณฑ์ต่างๆ หรือไม่ หลังผ่านการเร่งอายุ

สมมติฐานว่า: ผลต่างของสีก่อนและหลังการการเร่งอายุ ระหว่างการปนเปื้อน หรือไม่ปนเปื้อนน้ำลายเทียมก่อนเกิดปฏิกิริยาการก่อตัว ในเรซินซีเมนต์แต่ละผลิตภัณฑ์ ไม่แตกต่างกัน

สมมติฐานเช่นเดียวกัน: ผลต่างของสีก่อนและหลังการการเร่งอายุ ระหว่างการปนเปื้อน หรือไม่ปนเปื้อนน้ำลายเทียมก่อนเกิดปฏิกิริยาการก่อตัว ในเรซินซีเมนต์แต่ละผลิตภัณฑ์ แตกต่างกัน

1.9.2 ควันบุหรี่จะมีผลต่อเสถียรภาพของสีของเรซินซีเมนต์ผลิตภัณฑ์ต่างๆ หรือไม่

สมมติฐานว่า: ผลต่างของสีก่อนและหลังการรวมควันบุหรี่ ในเรซินซีเมนต์แต่ละผลิตภัณฑ์ ไม่แตกต่างกัน

สมมติฐานเช่นเดียวกัน: ผลต่างของสีก่อนและหลังการรวมควันบุหรี่ ในเรซินซีเมนต์แต่ละผลิตภัณฑ์ แตกต่างกัน

1.10 ประโยชน์ที่คาดว่าจะได้รับ

1.10.1 เพื่อทำให้มีแนวทางในการพิจารณาเลือกใช้ชนิดหรือประเภทของเรซินซีเมนต์ที่เหมาะสมในงานด้านทนต่อรวมสวยงาม

1.10.2 ผลการศึกษาที่ได้จากการวิจัยนี้อาจใช้เป็นพื้นฐานในการนำไปใช้ศึกษางานวิจัยขั้นต่อไปในอนาคต

1.11 รูปแบบการวิจัย

เป็นการวิจัยเชิงทดลอง (experimental research)

1.12 ลำดับขั้นตอนการปฏิบัติงานวิจัย

ตารางที่ 1 แสดงขั้นตอนการปฏิบัติงานวิจัย

ขั้นตอนการวิจัย	ระยะเวลา (เดือน)										
	1	2	3	4	5	6	7	8	9	10	11
กำหนดหัวข้อและตั้งสมมติฐาน											
ทบทวนวรรณกรรมที่เกี่ยวข้อง											
ทำการศึกษานำร่อง											
ดำเนินการวิจัย											
เก็บข้อมูล											
วิเคราะห์ สรุปผลและอภิปรายข้อมูล											
เตรียมรายงานและเสนอผลงานวิจัย											

บทที่ 2

เอกสารและงานวิจัยที่เกี่ยวข้อง

2.1 เรซินซีเมนต์

ปัจจุบันเรซินซีเมนต์ได้รับความนิยมอย่างแพร่หลายในทางทันตกรรม เนื่องจากข้อดีของเรซินซีเมนต์ที่เหนือกว่าซีเมนต์อื่น ๆ คือ เกิดการยึดติดกับฟันได้ด้วยพันธะเคมีและทางจุลภาคศาสตร์ ไม่ละลายเมื่ออุ่น ในสภาวะช่องปาก และมีสีใกล้เคียงกับเนื้อฟัน เรซินซีเมนต์นั้น พัฒนาต่อเนื่องมาจากการพัฒนาวัสดุเรซินคอมโพสิต ดังนั้นเรซินซีเมนต์โดยทั่วไปมีส่วนประกอบหลักคล้ายวัสดุบูรณะเรซินคอมโพสิต คือมีเรซินแมทริกซ์ (resin matrix) เป็นตัวประสาน และมีวัสดุอัดแทรกอนินทรีย์ที่ปรับปรุงผิวด้วยไซเลน (silane-treated inorganic filler) เพิ่มการยึดกันของหั้งสองส่วนประกอบ วัสดุอัดแทรกซึ่งส่งเสริมทำให้สมบัติทางกลดีขึ้น เช่น ความแข็งแรง และโมดูลัสของความยืดหยุ่น (modulus of elasticity) เป็นต้น รวมทั้งเพิ่มความต้านทานต่อการขัดสึก (abrasion resistance) [3]

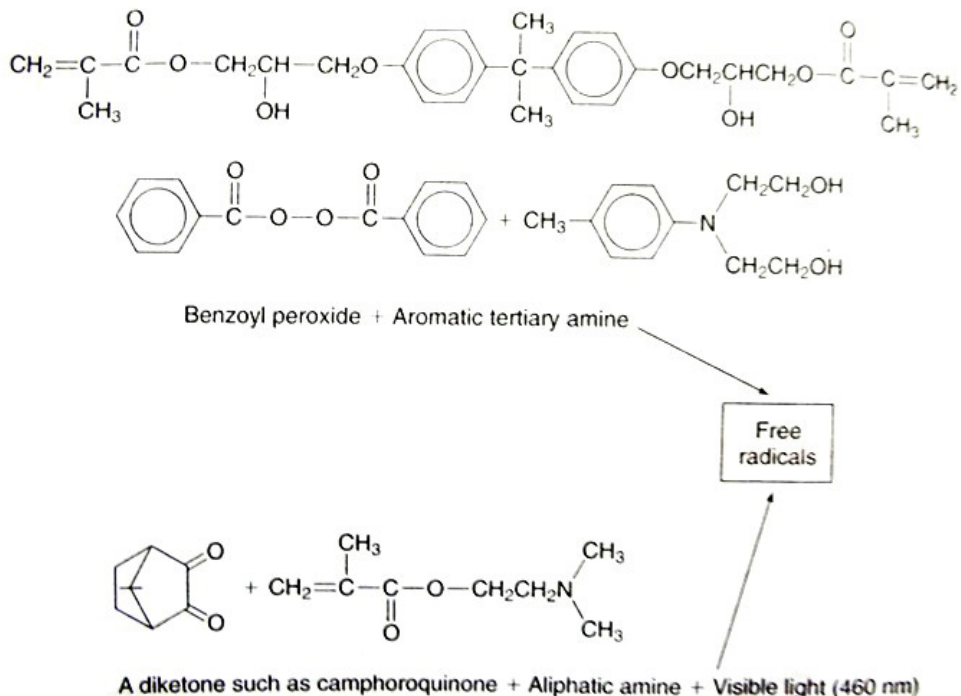
การจำแนกแบ่งเรซินซีเมนต์ตามกลไกการก่อตัวเป็นพอลิเมอร์ (polymerization) ได้ 3 ชนิด [3, 4, 19-22] คือ

1. ชนิดก่อตัวด้วยปฏิกิริยาเคมี หรือชนิดก่อตัวด้วยตัวเอง (chemical-cure or self-cure)
2. ชนิดก่อตัวด้วยแสง (light-cure)
3. ชนิดก่อตัวด้วยแสงร่วมกับปฏิกิริยาเคมี หรือชนิดก่อตัวควบคู่ (dual-cure)

2.1.1 เรซินซีเมนต์ชนิดก่อตัวด้วยปฏิกิริยาเคมี หรือชนิดก่อตัวด้วยตัวเอง

เรซินซีเมนต์ชนิดนี้ใช้เวลาการก่อตัวค่อนข้างคงที่ตามแต่ละที่ผลิตภัณฑ์กำหนดไว้ สามารถเกิดปฏิกิริยาการก่อตัวได้เกือบสมบูรณ์ โดยไม่ขึ้นกับความหนาของเซรามิกบูรณะฟัน [19] เหมาะกับชิ้นตัวอย่างที่มีโลหะเป็นองค์ประกอบซึ่งมีความทึบแสง เนื่องจากปฏิกิริยาการบ่มตัวเกิดขึ้นจากสารเคมีเป็นตัวกระตุ้น ไม่ต้องอาศัยพลังงานแสงในการเริ่มต้นปฏิกิริยา กลไกการก่อตัวของแต่ละบริษัทผู้ผลิตอาจแตกต่างกัน เช่น ใช้เพอร์ออกไซด์ (peroxide) เป็นตัวตั้งต้นปฏิกิริยา ร่วมกับเอมีนเป็นตัวเร่งปฏิกิริยา (amine accelerator) โดยเริ่งให้เพอร์ออกไซด์แตกตัวเป็นอนุมูลอิสระ (free radical) ดังแสดงในภาพที่ 1 ต่อมากอนุมูลอิสระก็ทำหน้าที่เปิดพันธะคู่ระหว่าง carbонกับ carbอนในส่วนของมอนโอมอร์ แล้วจับกันเป็นสายโซ่ที่ยาวขึ้น [3] บางผลิตภัณฑ์ เช่น ซูเปอร์บอนด์ซีแอนบี (Superbond C&B) ใช้ไตรเอ็นบิวทิลบอร์นในอะซิโตน (Tri-n butyl

borane/acetone) หรือทีบีบี (TBB) เป็นตัวตั้งต้นปฏิกิริยา ซึ่งจะถูกกระบวนการด้วยออกซิเจนเพื่อให้เกิดเป็นอนุนุลลิสระในการเกิดปฏิกิริยาพอลิเมอไวนิลชันต่อไป [23]



ภาพที่ 1 แสดงขั้นตอนการเริ่มต้นของปฏิกิริยาพอลิเมอไวนิลชัน

(ที่มา: Craig และ Power. Restorative dental materials. 11th ed. St. Louis:

The C.V. Mosby Company Inc, 2002: 152.)

2.1.2 เรซินซีเมนต์ชนิดก่อตัวด้วยแสง

มีตัวตั้งต้นปฏิกิริยาเป็นสารพากไดคิโตน (diketone) เช่น แคมฟโรควิโนน (camphoroquinone) ซึ่งจะถูกกระบวนการด้วยแสงสีฟ้าที่มีความยาวคลื่นประมาณ 460-480 นาโนเมตร โดยมีเอmine (amine) เป็นตัวตั้งต้นร่วม (co-initiator) ดังแสดงในภาพที่ 1 เรซินซีเมนต์ชนิดนี้เหมาะสมที่จะใช้ยึดชิ้นตัวอย่างที่ไม่มีโลหะเป็นโครง (non-metal substructure) ไม่ควรใช้กับชิ้นตัวอย่างที่หนาหรือมีสีเข้ม เพราะจะลดการส่องผ่านของแสง ทำให้การเกิดปฏิกิริยาการก่อตัวลดลงหรือไม่สมบูรณ์ เรซินซีเมนต์ชนิดก่อตัวด้วยแสงมีข้อดีที่ใช้สะดวก ไม่ต้องผสมส่วนเบสเข้ากับส่วนของแคทาลิสต์ (catalyst) มีเวลาการทำงานนานจนกระทั่งเริ่มขยายแสง และมีเสถียรภาพของสีสูงกว่าเรซินซีเมนต์ชนิดก่อตัวด้วยปฏิกิริยาเคมี

2.1.3 เเรชินซีเมนต์ชนิดก่อตัวด้วยแสงร่วมกับปฏิกิริยาเคมี หรือชนิดก่อตัวควบคู่

มีตัวตั้งต้นของเรชินซีเมนต์ทั้งชนิดกระตุ้นด้วยแสง และส่วนประกอบที่เป็นตัวกระตุ้นของเรชินซีเมนต์ชนิดที่ก่อตัวด้วยสารเคมี จึงได้สมบูรณ์ที่สุดของเรชินซีเมนต์ที่ก่อตัวหั้งสองชนิด ข้างตัน คือได้ทั้งเวลาที่เหมาะสม และการก่อตัวที่สมบูรณ์ภายใต้ชั้นตัวอย่างที่หนา มีสีเข้ม หรือค่อนข้างทึบแสง (opaque)

2.2 การเปลี่ยนสีของเรชินซีเมนต์

ในปัจจุบันเรชินซีเมนต์บางผลิตภัณฑ์มีสีให้เลือกใช้หลากหลาย จึงสามารถเลือกใช้ให้กลมกลืนกับสีของพื้นธรรมชาติและวัสดุบูรณะได้มากขึ้น แต่พบว่าวัสดุประเภทเรชินคอมโพสิต หรือเรชินซีเมนต์อาจจะมีการเปลี่ยนสีเมื่อผ่านการใช้งานไประยะเวลานึง ซึ่งการเปลี่ยนสีอาจเป็นสาเหตุนึงที่ทำให้ผู้ป่วยต้องการเปลี่ยนวัสดุบูรณะใหม่ [24] การเปลี่ยนสีอาจเกิดขึ้นตั้งแต่ช่วงหลังเกิดปฏิกิริยาการก่อตัว [22] แต่ส่วนใหญ่การเปลี่ยนสีมักจะเกิดหลังจากการใช้งาน

การเปลี่ยนสีของวัสดุประเภทเรชินคอมโพสิตหรือเรชินซีเมนต์เกิดจากสาเหตุหลัก 2 ประการ [10] คือ การเปลี่ยนสีจากปัจจัยภายนอก (extrinsic factor) และการเปลี่ยนสีจากปัจจัยภายใน (intrinsic factor)

1. การเปลี่ยนสีจากปัจจัยภายนอก ได้แก่ การติดสีจากอาหารหรือเครื่องดื่มที่มีสี หรือการติดสีจากคราบครัวบุหรี่ [25] เป็นต้น

2. การเปลี่ยนสีจากปัจจัยภายใน เป็นการเปลี่ยนสีภายในองค์ประกอบของวัสดุประเภทเรชินคอมโพสิตหรือเรชินซีเมนต์ ได้แก่ การเกิดปฏิกิริยาการก่อตัวไม่สมบูรณ์ ความไม่เสถียรในองค์ประกอบในวัสดุประเภทเรชินคอมโพสิตหรือเรชินซีเมนต์ หรือการได้รับพลังงานจากแหล่งพลังงานต่าง ๆ เช่น ความร้อนจากน้ำอุ่นภูมิ 60 องศาเซลเซียส [26, 27] รังสีอัลตราไวโอเลต หรือแสงจากหลอดซีนอน

การเปลี่ยนสีจากปัจจัยภายในของเรชินซีเมนต์ขึ้นกับองค์ประกอบในแต่ละชนิด [16] ขึ้นกับชนิดของเอมีนที่ใช้ ความแตกต่างในองค์ประกอบสามารถเป็นสาเหตุให้รูปแบบในการเปลี่ยนสีแตกต่างกันไปในเรชินซีเมนต์ รวมทั้งการเกิดรอยแตกและรอยร้าวที่อาจส่งผลต่อค่าของสีที่ทำการวัดได้ [2] ซึ่งสาเหตุหลักของการเปลี่ยนสีจากปัจจัยภายในเกิดจากการออกซิเดชัน (oxidation) ของเอมีนซึ่งเป็นตัวเร่งปฏิกิริยาในการเกิดปฏิกิริยาการก่อตัว โดยวัสดุประเภทเรชินชนิดก่อตัวด้วยแสงจะใช้อัลฟิติกเทอเทียรีเอมีน (aliphatic tertiary amine) ส่วนในวัสดุประเภทเรชินชนิดก่อตัวด้วยปฏิกิริยาเคมีจะใช้อารomatic tertiary amine) โดยที่օารomaticเทอเทียรีเอมีนจะเกิดการออกซิเดส์มากกว่าอัลฟิติกเทอเทียรีเอมีน

เพราฉะนันวัสดุประเททเรชินชนิดก่อตัวด้วยปฏิกิริยาเคมีจะมีแนวโน้มในการเปลี่ยนสีมากกว่า วัสดุประเททเรชินชนิดก่อตัวด้วยแสง [2, 22, 28]

มีการศึกษาพบว่าการเปลี่ยนสีจากปัจจัยภายนอกของวัสดุประเททเรชินคอมโพสิตชนิดก่อตัวด้วยปฏิกิริยาเคมีไม่ได้ขึ้นกับปริมาณของอะโรมาติกเทอเทียรีเอมีนที่อยู่ในองค์ประกอบ แต่ ขึ้นกับอัตราส่วนระหว่างเอมีนกับเบนโซโอลเพอร์ออกไซด์ (benzoyl peroxide) [28, 29] ส่วนใน วัสดุพากเรชินคอมโพสิตชนิดก่อตัวด้วยแสงจะไม่มีอะโรมาติกเทอเทียรีเอมีนอยู่ในองค์ประกอบจึง ลดการเปลี่ยนสีที่เกิดจากปัจจัยภายนอกได้ [28, 30]

Schulze และคณะ [31] ทำการศึกษาการเปลี่ยนของสีของเรชินคอมโพสิตชนิดก่อตัว ด้วยแสง และเรชินคอมโพสิตชนิดก่อตัวด้วยปฏิกิริยาเคมี โดยนำมาผ่านการเร่งอายุ พบร่วมกับ เช็นเดียวกับผลการศึกษาในหลายงานวิจัย [28, 32] และพบว่าคอมโพสิตที่มีวัสดุอุดแทรก (filler) น้อยที่สุดก็มีเสถียรภาพของสีด้อยไปด้วย [31, 33]

ในการศึกษาของ Koishi [18] พบร่วมกับการนำเรชินซีเมนต์ชนิดก่อตัวด้วยแสงร่วมกับ ปฏิกิริยาเคมีมาใช้ในรูปแบบการก่อตัวแบบด้วยแสงร่วมกับปฏิกิริยาเคมี จะมีการเปลี่ยนสีน้อย กว่าการใช้รูปแบบการก่อตัวด้วยปฏิกิริยาเคมีเพียงอย่างเดียวหลังจากนานาไปชั้นตัวอย่างไปแข่น้ำ กัดล้างที่อุณหภูมิ 37 องศาเซลเซียส เป็นเวลา 24 อาทิตย์ โดยที่การก่อตัวด้วยแสงในเรชินซีเมนต์ ชนิดก่อตัวด้วยแสงร่วมกับปฏิกิริยาเคมีจะเพิ่มปริมาณร้อยละของจำนวนพันธุ์ระหว่างคาร์บอน กับคาร์บอนไปเป็นพันธุ์เดี่ยว (degree of conversion) [34-36] และมีงานวิจัยพบว่าการเพิ่ม ปริมาณการเกิดปฏิกิริยาพอลิเมอไรเซชันทำให้มีเสถียรภาพของสีที่ดีด้วย [37] เพราฉะนันการ ฉายแสงจึงเป็นสิ่งจำเป็นสำหรับเสถียรภาพของสีของเรชินซีเมนต์ชนิดก่อตัวด้วยแสงร่วมกับ ปฏิกิริยาเคมี [18] แต่ก็มีปัจจัยอื่นที่ควรพิจารณาด้วย เช่น สีของซีเมนต์ซึ่งมีผลต่อสีของชิ้นวัสดุ บุรณะเชิงมิกที่จะทำการยึดติด [38] รวมทั้งองค์ประกอบในเรชินซีเมนต์ที่ใช้ด้วย

ส่วนในการศึกษาของ Raptis และคณะ [25] ได้ทำการทดสอบการเปลี่ยนสีของเรชิน คอมโพสิต 3 ผลิตภัณฑ์ จากผลของการวัดค่านูนหนรี และหลังจากทำการทำความสะอาดด้วยสารลดแรง ตึงผิว และทำการทดสอบด้วยเครื่องอัลตราโซนิก พบร่วมกับในเรชินคอมโพสิต 2 ผลิตภัณฑ์ที่เป็น ประเทททั่วไป (conventional composite) มีการเปลี่ยนแปลงของค่าตัวแปรของสี (color parameter) หลังการรวมค่านูนหนรี แต่เมื่อได้ทำการทดสอบแล้วก็มีค่าตัวแปรของสีใกล้เคียงกับ ก่อนการอบค่านูนหนรี ส่วนเรชินคอมโพสิตที่เป็นประเททไมโครฟิล์ (microfilled composite) มี ค่าตัวแปรของสีไม่แตกต่างกันอย่างมีนัยสำคัญไม่ว่าจะหลังการรวมค่านูนหนรีหรือหลังทำการ สะอาด

การทดสอบการเปลี่ยนสีของเรซิโนมโพลิเมต์ทำได้หลายวิธี ได้แก่

1. การแขวน้ำอุณหภูมิ 60 องศาเซลเซียส เป็นเวลา 1 เดือน โดยการศึกษาของ Asmussen [26] ในปี 1981 ได้ทดสอบสถิติสภาพของสีของเรซิโนมโพลิเมต์โดยนำไปแขวน้ำที่อุณหภูมิต่าง ๆ กัน พบร่วมกันว่าการทำให้เรซิโนมโพลิเมต์เปลี่ยนสีโดยการแขวน้ำในอุณหภูมิ 60 องศาเซลเซียส เป็นเวลา 1 เดือน เทียบเท่ากับนำเรซิโนมโพลิเมต์ที่แขวน้ำอุณหภูมิ 37 องศาเซลเซียส เป็นเวลา 12 เดือน

2. การทดสอบด้วยแสงจากหลอดซีน่อน โดยนำชิ้นตัวอย่างไปทดสอบในเครื่องทดสอบการเร่งอายุ โดยใช้แสงจากหลอดซีน่อน (xenon lamp) ส่องไปที่ชิ้นตัวอย่างที่จะทำการทดสอบ หลังจากนั้นนำชิ้นตัวอย่างที่ผ่านการเร่งอายุมาเปรียบเทียบการเปลี่ยนสีกับชิ้นตัวอย่างในกลุ่มควบคุมที่ไม่ได้ผ่านการเร่งอายุ (ISO 7491, 2000) [39] หรือเปรียบเทียบการเปลี่ยนสีระหว่างก่อนและหลังผ่านการเร่งอายุ

3. การนำชิ้นตัวอย่างมาแขวนอาหาร เครื่องดื่ม หรือสารละลายต่าง ๆ ที่มีสี เช่น ชา กาแฟ น้ำผลไม้ และไวน์ เป็นระยะเวลาต่างๆ กัน และนำค่าการเปลี่ยนสีมาเปรียบเทียบกับค่าสีของชิ้นตัวอย่างก่อนและหลังในสารละลาย [22, 27, 40, 41]

2.3 สี

การเลือกสีของการทำงานทางทันตกรรมให้เหมือนกับฟันธรรมชาตินั้นมีความสำคัญ โดยมีวิธีการเลือกสีพื้นที่น่าเชื่อถือมีส่วนช่วยให้สามารถเลือกสีที่ใกล้เคียงสีพื้นมากยิ่งขึ้น ซึ่งวิธีในการประเมินสีพื้นนั้นแบ่งออกเป็น 2 วิธีใหญ่ ๆ คือ การกำหนดสีด้วยตา (visual color determination) และการวิเคราะห์สีด้วยเครื่องมือ (instrumental color analysis)

ในระยะแรกการวัดการเปลี่ยนสีจะใช้ตามนุชญ์ในการสังเกต แต่การสังเกตด้วยตาเปล่ามักมีปัญหา เนื่องจากสายตาของมนุษย์แต่ละคนจะมีความสามารถในการสังเกตเห็นสีได้ไม่เท่ากัน โดยขึ้นกับปัจจัยต่าง ๆ เช่น ประสบการณ์ การฝึกฝนของแต่ละบุคคล หรือสภาพแวดล้อมต่าง ๆ ดังนั้นสายตาจึงไม่สามารถแยกความแตกต่างได้อย่างชัดเจน ความสามารถในการมองสีขึ้นกับแสงและมุมของสายตาที่มองวัตถุที่มีสี และตามนุชญ์ไม่สามารถบันทึกหรือบอกค่าที่แน่นอนว่าสีของตัวอย่างจะเปลี่ยนไปมากน้อยเพียงใด เมื่อเวลาผ่านไป ดังนั้นปัจจุบันจึงมีการใช้เครื่องวัดสี (Spectrophotometer) ซึ่งช่วยให้บอกรายละเอียดของสีได้ยิ่งขึ้น มีมาตรฐาน และสามารถบอกค่าของมาเป็นตัวเลขได้ [42] โดยปัจจุบันระบบสีที่นิยมในการวัดสี ได้แก่

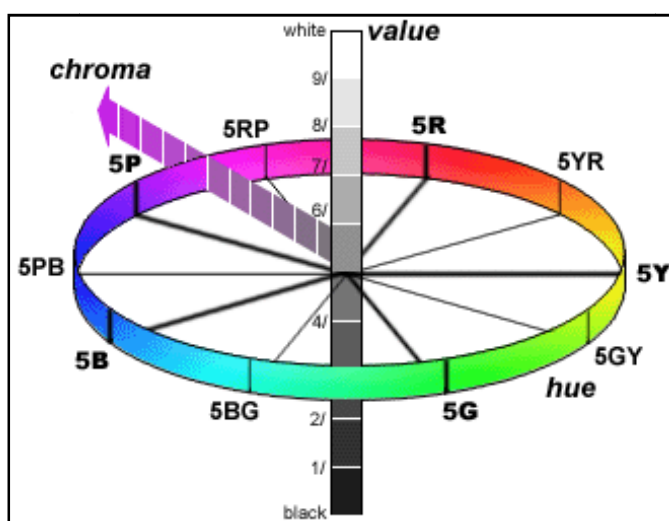
2.3.1 ระบบสีมนเซล (Munsell) [22, 43]

ระบบนี้ได้พัฒนาขึ้นมาโดย Albert H. Munsell ตั้งแต่ปี ค.ศ. 1905 ก่อนที่จะมีการนำเครื่องวัดสีมาใช้ในการวัดสี โดยวัดคุณสมบัติสี 3 ลักษณะดังนี้

Hue คือ สีต่าง ๆ ที่เราจำแนกแยกแยะได้เป็น แดง เหลือง น้ำเงิน

Value คือ ความสว่างของสี (lightness) ซึ่งเป็นปัจจัยที่สำคัญที่สุดในการเลือกสี

Chroma คือ ความเข้มของสี (color intensity) หรือความอิมตัวของสี โดย chroma จะแสดงปริมาณของ Hue ในสีนั้น ๆ



ภาพที่ 2 แสดงสีในระบบมันเซล

(ที่มา: [http://colorineverydaylife.wordpress.com/2011/04/28/munsell\[2011,Oct19\]](http://colorineverydaylife.wordpress.com/2011/04/28/munsell[2011,Oct19]))

2.3.2 ระบบสีซีไอเอ (CIELAB system) [11, 22, 41, 42]

เป็นระบบวิเคราะห์สีด้วยเครื่องมือระบบหนึ่งที่คิดค้นขึ้นในปี ค.ศ. 1931 โดยคณะกรรมการระหว่างชาติว่าด้วยแสงสว่าง (Commission Internationale de l'Eclairage, the French title of the international committee หรือ International Commission on illumination)

หลักการพื้นฐานของระบบนี้ พัฒนามาจากกระบวนการรับรู้สีของมนุษย์ซึ่งจะเกิดขึ้นได้ ต้องมีแหล่งกำเนิดแสง วัตถุมีสี และผู้สังเกต ระบบสีซีไอเอจะวัดสีออกมารูปตัวเลข ซึ่งย้อมมีข้อดี คือ ถึงแม้วัตถุนั้นสีจะเปลี่ยนไปเนื่องจากเวลาผ่านไปนานเพียงใดก็ตาม เรายังทราบได้ว่าสีเดิม เป็นอย่างไร และเนื่องจากเป็นระบบที่ไม่ขึ้นกับการสังเกตเห็นของแต่ละบุคคล จึงสามารถลด ปัญหาความเห็นสีที่ไม่ตรงกันได้

ระบบนี้จะแยกสีออกเป็น 3 องค์ประกอบโดยแสดงค่าที่วัดออกมารูปตัวเลขในรูปของ แกน 3 มิติของ CIE color space โดย

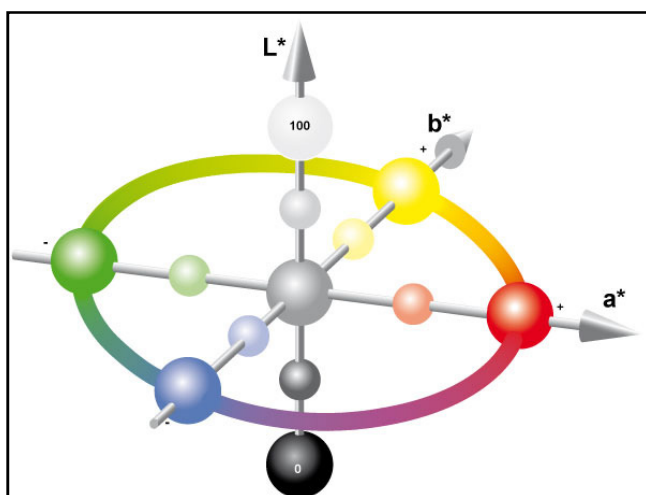
L^* เป็นแกนในแนวดิ่ง แทนค่าความสว่างของสี (lightness of color) มีค่าอยู่ระหว่าง 0 (มืด) กับ 100 (สว่าง)

a^*, b^* เป็นแกนในแนวราบตั้งจากกัน โดย

a^* แทนตัวแปรสีในแนวแกนแดง-เขียว หากค่า a เป็นบวก (+) สีจะค่อนไปทางสีแดง หาก a เป็นลบ (-) สีจะค่อนไปทางสีเขียว

b^* แทนตัวแปรสีในแนวแกนเหลือง-น้ำเงิน หากค่า b เป็นบวก (+) สีจะค่อนไปทางสีเหลือง หาก b เป็นลบ (-) สีจะค่อนไปทางสีน้ำเงิน

พบว่า ตัวแปร L^* ในระบบสี CIE จะเทียบได้กับความสว่างของสี (value) ในระบบสีมันเซลล์ สำหรับค่า a^*, b^* จะมีความสัมพันธ์กับ hue และ chroma



ภาพที่ 3 แสดงสีในระบบสีซีไอเอ

(ที่มา: [http://www.erx50.com/content/view/89/122/lang,en\[2011,Oct19\]](http://www.erx50.com/content/view/89/122/lang,en[2011,Oct19]))

ค่าที่ได้จากการบสี CIE สามารถนำมาคำนวณหาผลต่างของสี (ΔE) ระหว่างชิ้นตัวอย่าง เทียบกับตัวอย่างมาตรฐาน ได้ตามสูตร [2, 15, 17, 18, 26, 31]

$$\Delta E = [(L_{2}^{*} - L_{1}^{*})^2 + (a_{2}^{*} - a_{1}^{*})^2 + (b_{2}^{*} - b_{1}^{*})^2]^{1/2}$$

$L_{2}^{*}, a_{2}^{*}, b_{2}^{*}$ แทนค่า $L^*a^*b^*$ ที่วัดได้จากตัวอย่างมาตรฐาน

$L_{1}^{*}, a_{1}^{*}, b_{1}^{*}$ แทนค่า $L^*a^*b^*$ ที่วัดได้จากตัวอย่างที่ทำการทดสอบ

จากการศึกษาของ Seghi และคณะ [44] ถ้าผลต่างของสีมากกว่าหรือเท่ากับ 1 หน่วย พบว่ามีผู้สังเกตครึ่งหนึ่งจากจำนวนผู้สังเกตทั้งหมดสามารถเห็นการเปลี่ยนสีได้ ส่วน Ruyter และคณะ [45] ทำการศึกษาเรื่องคอมโพสิต พบร่วมกับถ้ามีการเปลี่ยนสีที่สังเกตเห็นได้ในทางคลินิกต้องมีผลต่างของสีมากกว่าหรือเท่ากับ 3.3 หน่วย

2.4 บุหรี่

บุหรี่เป็นสิ่งเสพติดที่มีพิษภัยสูง ก่อให้เกิดโรคร้ายแรงมากกว่า 25 ชนิด ในแต่ละปีการเสียชีวิตด้วยบุหรี่มีอัตราสูงกว่าจากโรคเอดส์ การดื่มสุรา ยาเสพติด อุบัติเหตุรถชน ฯ ฯ มากกว่า 30 ชนิด และการจากตัวตายรวมกัน อันตรายจากบุหรี่ขยายวงกว้างถึงคนทุกเพศทุกวัย และทุกเชื้อชาติ ทำอันตรายแก่เด็กทารกตั้งแต่ยังไม่เกิด เป็นภัยต่อทารก เด็กเล็ก วัยรุ่น ผู้ใหญ่ ตลอดจนผู้สูงอายุ การสูบบุหรี่เป็นสาเหตุหนึ่งของการเสียชีวิตที่ป้องกันได้ สิ่งที่เปลกอย่างหนึ่งคือ บุหรี่เป็นสารเสพติดร้ายแรงชนิดเดียวที่จำหน่ายและเสพได้โดยไม่ผิดกฎหมาย [46]

2.4.1 สารพิษในบุหรี่ [46, 47]

ในบุหรี่ 1 มวน เมื่อเกิดการเผาไหม้ จะทำให้เกิดสารเคมีมากกว่า 4,000 ชนิด สารหล่ายร้อยชนิดมีผลต่อการทำงานของอวัยวะต่าง ๆ ในร่างกาย และมีสารก่อมะเร็งมากกว่า 40 ชนิด สารพิษที่สำคัญในบุหรี่บางชนิดเป็นอันตรายที่สำคัญ คือ

1. นิโคติน (nicotine) เป็นสารที่มีลักษณะคล้ายน้ำมัน ไม่มีสี นิโคตินสามารถออกฤทธิ์โดยตรงที่สมอง ทำให้ผู้สูบมีความมุ่สึกที่เป็นสุข สบายใจ ติดบุหรี่และเลิกได้ยาก นิโคตินที่เข้าสู่ร่างกายส่วนใหญ่จะไปจับที่ปอด และบางส่วนถูกดูดซึมเข้ากระเพาะเลือด โดยจะไปมีผลต่อต่อมหมวกไต ทำให้เกิดการหลังอีพิเนฟริน ทำให้ความดันโลหิตสูงขึ้น หัวใจเต้นแรงเร็วกว่าปกติ และไม่เป็นจังหวะ และเส้นเลือดแดงหดตัว

2. ทาร์ (tar) เป็นละอองเหลวเหนียวสีน้ำตาลคล้ำยาน้ำนมดิน เกิดจากการเผาไหม้ของใบยาสูบ กระดาษมวน และส่วนประกอบอื่น ๆ ในบุหรี่ ทาร์ประกอบด้วยสารหล่ายชนิดผสมรวมกันร้อยละ 50 ของทาร์จะไปจับอยู่ที่ปอด และเมื่อทาร์รวมตัวกับฝุ่นต่าง ๆ ที่หายใจเข้าไปก็จะซึ่งอยู่ในถุงลมปอด ทำให้เกิดการระคายเคืองทางเดินหายใจ ทำให้อิริรักษ์รังและมีเสมหะ

3. คาร์บอนมอนอกไซด์ (carbon monoxide) เป็นก๊าซที่ไม่มีสี ไม่มีกลิ่น เกิดจากการเผาไหม้ใบยาสูบที่ไม่สมบูรณ์ ก๊าซนี้จะแบ่งจับกับฮีโมโกลบินในเม็ดเลือดแดงได้ดีกว่าก๊าซออกซิเจนประมาณ 200 เท่า ดังนั้นร่างกายของผู้ที่สูบบุหรี่จะได้รับออกซิเจนน้อยลง การลำเลียงออกซิเจนไปให้รับประทานต่างๆลดลง มีผลทำให้หัวใจทำงานหนักเพิ่มขึ้นเพื่อให้เลือดนำออกซิเจนไปเลี้ยงอวัยวะต่างๆได้เพียงพอ และถ้าได้รับก๊าซนี้จำนวนมาก จะทำให้เกิดอาการมึนงง คลื่นไส้ และเหนื่อยง่าย

4. ไนโตรเจนไดออกไซด์ (nitrogen dioxide) เป็นก๊าซพิษที่ทำลายเยื่อบุหลอดลมส่วนปลายและถุงลม ทำให้ผนังถุงลมโป่งพอง ถุงลมในปอดลดจำนวนลง ส่งผลให้การทำงานของปอดลดลง และเป็นสาเหตุของการเกิดโรคถุงลมโป่งพอง

5. ไฮโดรเจนไซยาไนด์ (hydrogen cyanide) เป็นก๊าซพิษที่ทำลายเยื่อบุผิวหลอดลมส่วนต้น ทำให้ไอเรื้อรัง มีเสมหะ และหลอดลมอักเสบเรื้อรัง
6. แอมโมเนีย (ammonia) เป็นก๊าซมีฤทธิ์ระคายเคืองเนื้อยื่อ ทำให้แสบตา แสบจมูก หลอดลมอักเสบ ไอมีเสมหะ
7. สารกัมมันตรังสี ในควันบุหรี่มีสารกัมมันตรังสีต่าง ๆ เช่น โพลอนีียม 210 (Polonium 210) ที่มีรังสีเอกพาราและเป็นสารก่อมะเร็ง เช่น ทำให้เกิดมะเร็งปอด

2.4.2 บุหรี่กับโรคในช่องปาก

บุหรี่เป็นปัจจัยสำคัญอย่างหนึ่งที่ทำให้เกิดโรคในช่องปากได้ เช่น เหงือกอักเสบ โรคปริทันต์ มะเร็ง การติดเชื้อราในช่องปาก รวมทั้งบุหรี่ยังมีผลกระทบต่อความสวยงาม โดยทำให้เกิดคราบบนตัวฟัน วัสดุอุดฟัน และฟันปลอม [48, 49] โดยพบว่าการสูบบุหรี่ทำให้เกิดคราบมากกว่าการดื่มชาและกาแฟ [50]

บทที่ 3

วิธีดำเนินการวิจัย

3.1 ประชากร

ชั้นตัวอย่างที่ทำการเรซิโนเม็นต์จำนวน 6 ผลิตภัณฑ์ ซึ่งขึ้นรูปเป็นแผ่นวงกลมขนาดเส้นผ่านศูนย์กลาง 12 มิลลิเมตร หนา 1 มิลลิเมตร โดยแบ่งทำการทดสอบเป็น 2 ตอน คือ

ตอนที่หนึ่ง ทำการทดสอบเสถียรภาพของสีของเรซิโนเม็นต์จากผลของการปนเปื้อนน้ำลายเที่ยมก่อนเกิดปฏิกิริยาการก่อตัว หลังผ่านการเร่งอุ่น จำนวน 12 กลุ่ม กลุ่มละ 10 ชิ้น รวมเป็น 120 ชิ้น

ตอนที่สอง ทำการทดสอบเสถียรภาพของสีของเรซิโนเม็นต์จากผลของควันบุหรี่ จำนวน 6 กลุ่ม กลุ่มละ 10 ชิ้น รวมเป็น 60 ชิ้น

3.2 วัสดุที่ใช้ในการวิจัย

3.2.1 เรซิโนเม็นต์จำนวน 6 ผลิตภัณฑ์ ดังแสดงตามตารางที่ 2

ตารางที่ 2 แสดงเรซิโนเม็นต์จำนวน 6 ผลิตภัณฑ์ที่นำมาทำการทดสอบ

ชื่อผลิตภัณฑ์	การก่อตัวเป็นพอลิเมอร์	สี	บริษัทผู้ผลิต
Nexus 3	light-cure mode	clear	Kerr USA, Orange, CA, USA
Variolink Veneer	light-cure	medium value 0	Ivoclar-Vivadent, Schaan, Liechtenstein
Superbond C&B	chemical-cure	clear	Sun Medical Co., Moriyama, Japan
Clearfil SA Luting	dual-cure	universal	Kuraray Medical Inc., Kurashiki, Okayama, Japan
Panavia F 2.0	dual-cure	light	Kuraray Medical Inc., Kurashiki, Okayama, Japan
Multilink Speed	dual-cure mode	transparent	Ivoclar-Vivadent, Schaan, Liechtenstein

- 3.2.2 แผ่นอะคริลิกขนาดความหนา 1 มิลลิเมตร
- 3.2.3 บุหรี่ทั้งหมด จำนวน 5 ซอง
- 3.2.4 น้ำประสาขาวาดอ่อน (deionized water)
- 3.2.5 น้ำลายเทียม จากภาควิชาเคมีชีวภาพ คณะทันตแพทยศาสตร์ จุฬาลงกรณ์มหาวิทยาลัย
- 3.2.6 พู่กัน
- 3.2.7 ที่หนีบกระดาษ

3.3 อุปกรณ์ที่ใช้ในการทดลอง

- 3.3.1 เครื่องฉายแสง (light curing unit; Curing light 2500, 3M ESPE, U.S.A)
- 3.3.2 เครื่องอัลตราโซนิก (Ultrasonic cleaner; Branson 5210, Bransonic, Germany)



ภาพที่ 4 แสดงเครื่องอัลตราโซนิก

- 3.3.3 เครื่องวัดสี (Spectrophotometer; UltraScan XE, The Color Management Company, Hunter Associates Laboratory, Inc.U.S.A.)



ภาพที่ 5 แสดงเครื่องวัดสี

3.3.4 เครื่องทดสอบการเร่งอายุ (CI3000+ Weather-Ometer, Atlas Electronic Devices Co., Chicago, IL, USA)



ภาพที่ 6 แสดงเครื่องทดสอบการเร่งอายุ

3.3.5 ตู้ควบคุมอุณหภูมิ (Incubator; Contherm 1200, CONTHERM SCIENTIFIC LTD, Lower Hutt, New Zealand)



ภาพที่ 7 แสดงตู้ควบคุมอุณหภูมิ

3.3.6 เครื่องวัดขนาดชนิดดิจิทัล (Digital caliper; Mitutoyo, Japan)

3.3.7 กล่องสำหรับรวมคัวนับบุหรี่

3.3.8 นาฬิกาดิจิตอลากาศ

3.3.9 ตู้ดูดควัน

3.3.10 ไมโครปีเปอร์

3.3.11 นาฬิกาจับเวลา

3.3.12 ใบมีดผ่าตัดเบอร์ 12

3.4 วิธีการดำเนินการวิจัย

3.4.1 ตอนที่หนึ่ง: การทดสอบเสถียรภาพของสีของเรซินชีเมนต์จากการผลของการป่นเปื้อนน้ำลายเทียมก่อนการเกิดปฏิกิริยาการก่อตัว หลังผ่านการเจงอายุ

เรซินชีเมนต์ 6 ผลิตภัณฑ์ โดยแต่ละผลิตภัณฑ์แบ่งออกเป็น 2 กลุ่มย่อยคือ กลุ่มเรซินชีเมนต์ที่ไม่ป่นเปื้อนน้ำลายเทียมก่อนการเกิดปฏิกิริยาการก่อตัว (N) และกลุ่มเรซินชีเมนต์ที่ป่นเปื้อนน้ำลายเทียมก่อนการเกิดปฏิกิริยาการก่อตัว (S) จึงแบ่งได้เป็น 12 กลุ่ม กลุ่มละ 10 ชิ้น รวมเป็น 120 ชิ้น ตามตารางที่ 3 และภาพที่ 8

ตารางที่ 3 แสดงกลุ่มทดลองจำนวน 12 กลุ่มที่นำมาทดสอบในตอนที่หนึ่ง

กลุ่มที่	กลุ่มทดลอง	สัมผัสน้ำลายเทียมก่อนทำการฉายแสงหรือก่อน เกิดปฏิกิริยาการก่อตัว
1	Nexus 3 (N)	
2	Nexus 3 (S)	/
3	Variolink Veneer (N)	
4	Variolink Veneer (S)	/
5	Superbond C&B (N)	
6	Superbond C&B (S)	/
7	Clearfil SACement (N)	
8	Clearfil SA Cement (S)	/
9	Panavia F 2.0 (N)	
10	Panavia F 2.0 (S)	/
11	Multilink Speed (N)	
12	Multilink Speed (S)	/

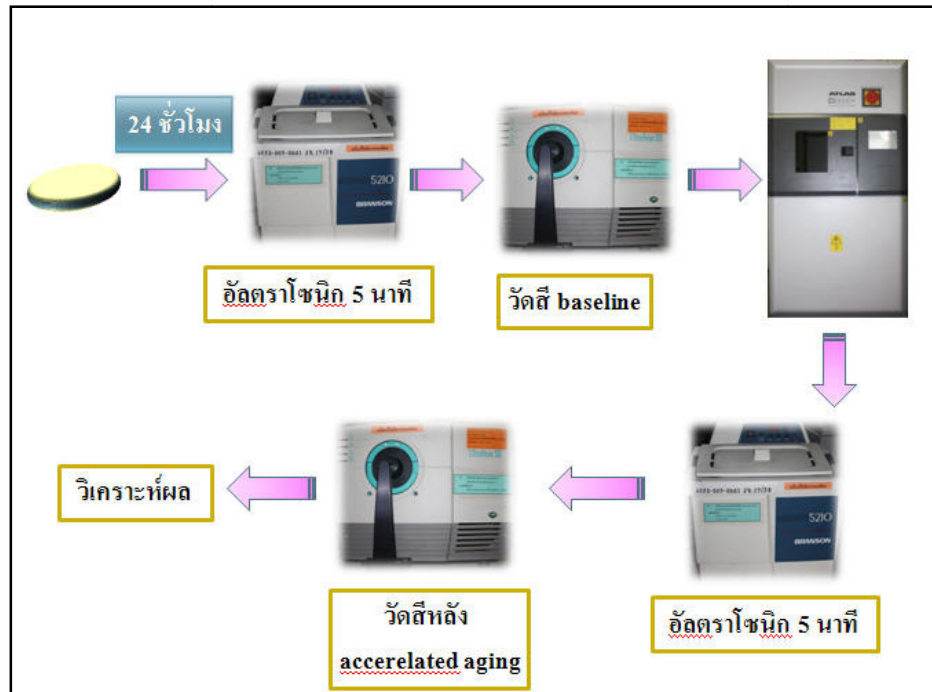
(N) แสดงถึงกลุ่มตัวอย่างเรซินชีเมนต์ที่ไม่ป่นเปื้อนน้ำลายเทียมก่อนเกิดปฏิกิริยาการก่อตัว

(S) แสดงถึงกลุ่มตัวอย่างเรซินชีเมนต์ที่ป่นเปื้อนน้ำลายเทียมก่อนเกิดปฏิกิริยาการก่อตัว

Nexus 3	{	กลุ่ม N จำนวน 10 ชิ้น	รวมทั้งหมด จำนวน 120 ชิ้น
		กลุ่ม S จำนวน 10 ชิ้น	
Variolink Veneer	{	กลุ่ม N จำนวน 10 ชิ้น	
		กลุ่ม S จำนวน 10 ชิ้น	
Superbond C&B	{	กลุ่ม N จำนวน 10 ชิ้น	
		กลุ่ม S จำนวน 10 ชิ้น	
Clearfil SA Luting	{	กลุ่ม N จำนวน 10 ชิ้น	
		กลุ่ม S จำนวน 10 ชิ้น	
Panavia F2.0	{	กลุ่ม N จำนวน 10 ชิ้น	
		กลุ่ม S จำนวน 10 ชิ้น	
Multilink Speed	{	กลุ่ม N จำนวน 10 ชิ้น	
		กลุ่ม S จำนวน 10 ชิ้น	

ภาพที่ 8 แสดงจำนวนชิ้นตัวอย่างในแต่ละกลุ่มทดลองจำนวน 12 กลุ่ม
ที่นำมาทดสอบในตอนที่หนึ่ง

ขั้นตอนการทดสอบในตอนที่หนึ่ง มีดังนี้ (แสดงดังภาพที่ 9)



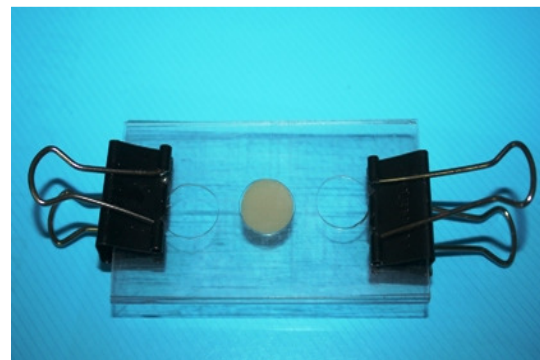
ภาพที่ 9 แสดงขั้นตอนการทดสอบในตอนที่หนึ่ง

3.4.1.1 การเตรียมชิ้นตัวอย่าง

เตรียมชิ้นตัวอย่างเรซินซีเมนต์เป็นรูปแผ่นวงกลมขนาดเส้นผ่านศูนย์กลาง 12 มิลลิเมตร หนา 1 มิลลิเมตร (ภาพที่ 10) โดยในกลุ่มเรซินซีเมนต์ที่ไม่ปนเปื้อนน้ำลายเที่ยมก่อนการเกิดปฏิกิริยาการก่อตัว (N) ทำการทดสอบเรซินซีเมนต์ตามวิธีการที่แต่ละผลิตภัณฑ์ระบุไว้ แล้วอัดลงในแม่แบบแผ่นอะคริลิกที่เจาะรูตรงกลางเป็นรูปแผ่นวงกลม มีเส้นผ่านศูนย์กลาง 12 มิลลิเมตร หนา 1 มิลลิเมตร และมีแผ่นอะคริลิกรองด้านล่าง เมื่ออัดเรซินซีเมนต์จนเต็มแม่แบบ นำแผ่นอะคริลิกอีก 1 แผ่นมาวางประกับด้านบนของแม่แบบให้สนิท จากนั้นยึดเข้ากับแม่แบบด้วยที่หนีบกระดาษ 2 อัน (ภาพที่ 11) แล้วทำการฉาวยแสงในเรซินซีเมนต์ชนิดก่อตัวด้วยแสงและชนิดก่อตัวด้วยแสงร่วมกับปฏิกิริยาเคมี ด้วยเครื่องฉาวยแสงที่ความเข้ม 500 มิลลิวัตต์ต่อตารางเซนติเมตร โดยให้ปลายท่อน้ำแสงของเครื่องฉาวยแสงแนบตั้งฉากกับแผ่นอะคริลิก แต่เนื่องจากชิ้นตัวอย่างมีขนาดเล็กกว่าปลายท่อน้ำแสง จึงทำการฉาวยแสงในแต่ละบริเวณครั้งละ 40 วินาที แล้วเลื่อนปลายท่อน้ำแสงเพื่อทำการฉาวยแสงจนครบทั้งพื้นที่ของชิ้นตัวอย่างเป็นจำนวน 3 ครั้ง โดยทำการฉาวยแสงทั้งสองด้านของชิ้นตัวอย่าง ส่วน Superbond C&B ที่เป็นกลุ่มเรซินซีเมนต์ชนิดก่อตัวด้วยปฏิกิริยาเคมี จะทำการทดสอบด้วยวิธีนำส่วนผสมและส่วนมอนโอมอร์ฟสมพร้อมกัน (bulk-mix technique) แล้วจึงใส่เรซินซีเมนต์จนเต็มแม่แบบดังวิธีการที่กล่าวมาแล้ว จากนั้นเก็บชิ้นตัวอย่างไว้ในภาชนะที่ไม่มีแสงเข้าที่อุณหภูมิห้องเป็นเวลา 30 นาทีเพื่อให้เกิดการก่อตัวอย่างสมบูรณ์



ภาพที่ 10 แสดงชิ้นตัวอย่างเรซินซีเมนต์



ภาพที่ 11 แสดงการเตรียมชิ้นตัวอย่าง

ส่วนการเตรียมชิ้นตัวอย่างกลุ่มเรซินซีเมนต์ที่ปนเปื้อนน้ำลายเที่ยมก่อนการเกิดปฏิกิริยาการก่อตัว (S) เริ่มจากการแม่แบบแผ่นอะคริลิกบนแผ่นอะคริลิกที่รองอยู่ด้านล่าง ใช้ไมโครปีเพตต์หยดน้ำลายเที่ยมเป็นบริ麻ตร 15 ไมโครลิตรบนแผ่นอะคริลิกที่รองอยู่ด้านล่าง แล้วทาให้ทั่วด้วยพูกัน แล้วทำการทดสอบเรซินซีเมนต์ตามวิธีการที่แต่ละผลิตภัณฑ์ระบุไว้ แล้วอัดลงในแม่แบบแผ่นอะคริลิก แล้วนำแผ่นอะคริลิกอีก 1 แผ่นที่จุ่มน้ำลายเที่ยมมาวางประกับด้านบนของแม่แบบ ทำ

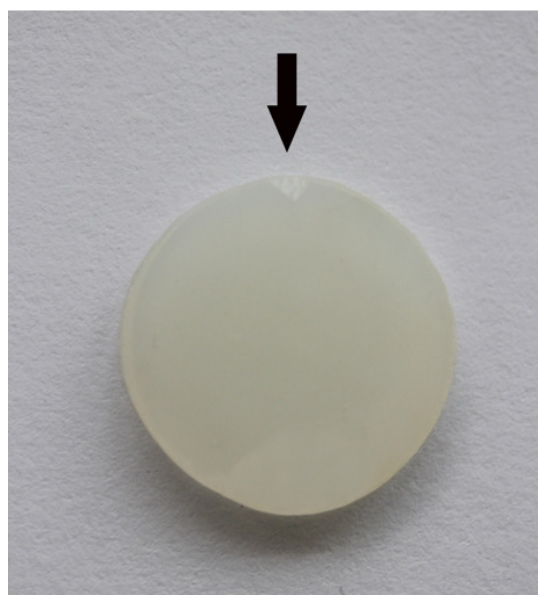
การฉายแสงด้วยเครื่องฉายแสงหรือทิงไวร์ให้เกิดการก่อตัวอย่างสมบูรณ์ตามวิธีการที่กล่าวไว้แล้ว ในแต่ละผลิตภัณฑ์ของเรซินชีเมนต์

หลังจากที่ชิ้นตัวอย่างในแต่ละกลุ่มเกิดการก่อตัวอย่างสมบูรณ์ จึงนำชิ้นตัวอย่างเรซินชีเมนต์ออกจากแม่แบบ ตรวจสอบความสมบูรณ์เรียบร้อยและทำการตัดแต่งขอบของชิ้นตัวอย่างด้วยใบมีดผ่าตัดเบอร์ 12 นำชิ้นตัวอย่างทั้งหมดมาแข็งประสาจากอุ่นในตู้ควบคุมอุณหภูมิที่อุณหภูมิ 37 ± 1 องศาเซลเซียส เป็นเวลา 24 ชั่วโมง ก่อนนำมาทำการวัดสีและผ่านการเร่งอายุ

3.4.1.2 ขั้นตอนการวัดสีก่อนผ่านการเร่งอายุ

กำหนดให้ชิ้นตัวอย่างที่ต้องการวัด มีขนาดใหญ่กว่าช่องรับแสง และมีผิวแบบเรียบ เพื่อให้ปิดช่องรับแสงที่ตอกกระสอบจากเครื่องวัดสีได้หมด โดยไม่ให้แสงลอดออกมากได้ ชิ้นตัวอย่างเรซินชีเมนต์มีขนาดเด่นผ่านศูนย์กลาง 12 มิลลิเมตร จึงสามารถครอบคลุมช่องรับแสงที่มีขนาดเด่นผ่านศูนย์กลาง 10 มิลลิเมตรได้ทั้งหมด กำหนดให้มีการเทียบสีกับสีมาตรฐานก่อนการวัดชิ้นตัวอย่างทุกครั้ง

ขั้นตอนการวัดสีเริ่มจากนำชิ้นตัวอย่างมาทำการวัดในน้ำประสาจากอุ่นด้วยเครื่องอัลตราโซนิกเป็นเวลา 5 นาที ซับชิ้นตัวอย่างให้แห้งด้วยกระดาษซับที่สะอาด แล้วนำชิ้นตัวอย่างมาทำการวัดสีด้วยเครื่องวัดสี โดยตำแหน่งที่วัดจะเป็นตำแหน่งเดิมทุกครั้งจากการทำสัญลักษณ์ไว้ที่ขอบของชิ้นตัวอย่าง (ภาพที่ 12 และ 13) นำชิ้นตัวอย่างวางแนบกับช่องวัดสีซึ่งจะทำการเปลี่ยนพื้นหลังของชิ้นตุดซับสีเป็นสีขาวสลับกับสีดำตามลำดับในการวัดแต่ละครั้ง ซึ่งในการวัดสี 1 ครั้ง เครื่องจะอ่านค่าสีให้ 5 ครั้ง และบันทึกค่าเฉลี่ยของค่า L^* , a^* และ b^* ในแต่ละชิ้นตัวอย่าง



ภาพที่ 12 แสดงการทำสัญลักษณ์ไว้ที่ขอบของชิ้นตัวอย่าง



ภาพที่ 13 แสดงตำแหน่งชิ้นตัวอย่างที่วางแนบกับช่องวัดสีของเครื่องวัดสี

3.4.1.3 ขั้นตอนนำชิ้นตัวอย่างมาผ่านการเร่งอายุ

นำชิ้นตัวอย่างทั้งหมดมาผ่านการเร่งอายุด้วยเครื่องทดสอบการเร่งอายุ โดยใช้หลอดแสงชีน่อนที่กรองผ่านแก้วบอร์โซลิกาต (borate borosilicate glass) ที่ให้แสงความยาวคลื่นหลัก 340 นาโนเมตร ความเข้มแสง 0.55 วัตต์/ตารางเมตร/นาโนเมตร ($W/m^2/nm$) การทดสอบใช้พลังงานรังสี 157.2 กิโลจูล/ตารางเมตร และใช้เวลารวมทั้งหมด 120 ชั่วโมง โดยใช้สภาวะการเร่งอายุต่าง ๆ [2, 12, 17] ดังนี้

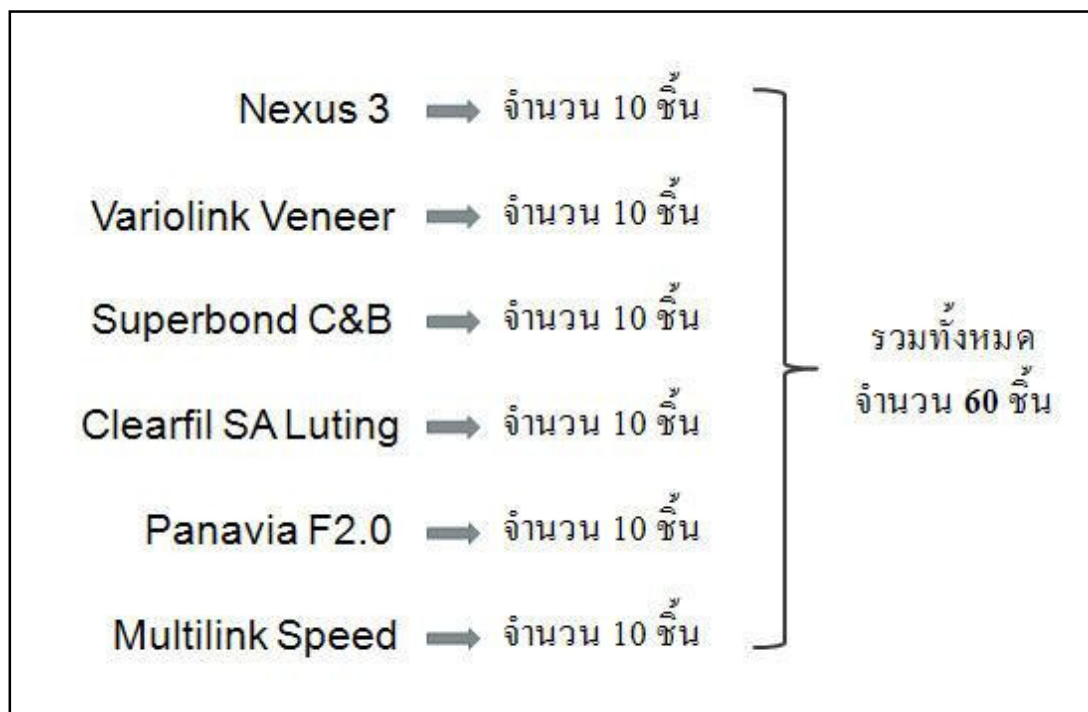
- ทำการทดสอบเป็นวงจร คือ ฉายแสงอย่างเดียวเป็นเวลา 40 นาที ฉายแสงและทำการสเปรย์น้ำบนผิวด้านหน้าของชิ้นตัวอย่าง เป็นเวลา 20 นาที ฉายแสงอย่างเดียวเป็นเวลา 60 นาที และอยู่ในสภาวะมืดและทำการสเปรย์น้ำบนผิวด้านหลังของชิ้นตัวอย่าง เป็นเวลา 60 นาที
- Dry bulb temperature : 47 องศาเซลเซียส (light) และ 38 องศาเซลเซียส (dark)
- ความชื้น : 50% (light) และ 95% (dark)
- Black panel temperature : 70 องศาเซลเซียส (light) และ 38 องศาเซลเซียส (dark)
- อุณหภูมิของน้ำ 50 องศาเซลเซียส

3.4.1.4 ขั้นตอนการวัดสีหลังผ่านการเร่งอายุ

เมื่อชิ้นตัวอย่างได้ผ่านการเร่งอายุเรียบร้อยแล้ว นำแต่ละชิ้นตัวอย่างมาทำความสะอาด ในน้ำประปาจากอุปกรณ์ด้วยเครื่องซัลฟาร่าใช้เวลา 5 นาที ขับชิ้นตัวอย่างให้แห้งด้วยกระดาษซับที่สะอาด และนำชิ้นตัวอย่างมาทำการวัดสีหลังผ่านการเร่งอายุโดยวางแนบชิ้นตัวอย่างให้อยู่ต่ำเท่านั้นเดียวกับการวัดสีก่อนผ่านการเร่งอายุ นำข้อมูลการวัดสีทั้ง 2 ครั้ง คือการวัดก่อนและหลังผ่านการเร่งอายุ มาเปรียบเทียบและคำนวณค่าผลต่างของสีโดยใช้สูตร $\Delta E = [(L^*_{\text{2}} - L^*_{\text{1}})^2 + (a^*_{\text{2}} - a^*_{\text{1}})^2 + (b^*_{\text{2}} - b^*_{\text{1}})^2]^{1/2}$ และคำนวณหาค่าเฉลี่ยในแต่ละกลุ่ม

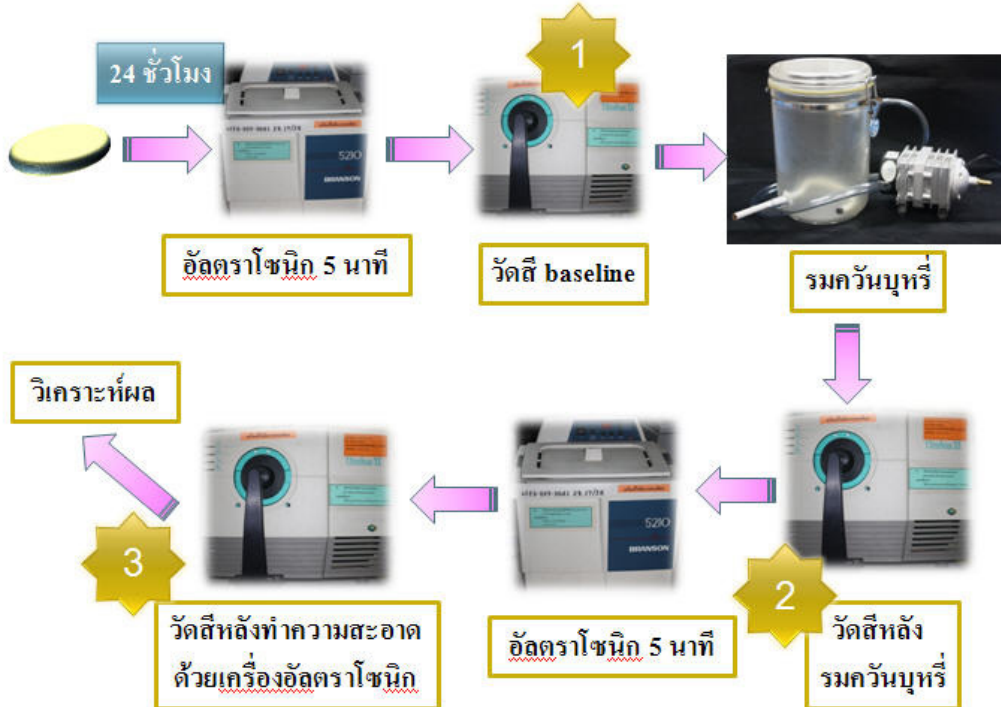
3.4.2 ตอนที่สอง : การทดสอบเสถียรภาพของสีของเรซินซีเมนต์จากผลของคันบันช์

ชิ้นตัวอย่างเรซินซีเมนต์ที่นำมาทำการทดสอบที่สองจะแบ่งได้เป็น 6 กลุ่มคือ Nexus 3, Variolink Veneer, Superbond C&B, Clearfil SA Cement, Panavia F2.0 และ Multilink Speed โดยมีชิ้นตัวอย่างกลุ่มละ 10 ชิ้น รวมเป็น 60 ชิ้น แสดงตามภาพที่ 14



ภาพที่ 14 แสดงจำนวนชิ้นตัวอย่างในแต่ละกลุ่มทดลองจำนวน 6 กลุ่ม
ที่นำมาทดสอบในตอนที่สอง

ขั้นตอนการทดสอบในตอนที่สอง มีดังนี้ (แสดงดังภาพที่ 15)



ภาพที่ 15 แสดงขั้นตอนการทดสอบในต่อที่สอง

3.4.2.1 การเตรียมชิ้นตัวอย่าง

เตรียมชิ้นตัวอย่างเรซินซีเมนต์เป็นรูปแผ่นวงกลมขนาดเส้นผ่านศูนย์กลาง 12 มิลลิเมตร หนา 1 มิลลิเมตร ทำการผสานเรซินซีเมนต์ตามวิธีการที่แต่ละผลิตภัณฑ์ระบุไว้ แล้วอัดลงในแม่แบบแผ่นอะคริลิกหนา 1 มิลลิเมตร ที่เจาะรูตรงกลางเป็นรูปวงกลม เส้นผ่านศูนย์กลาง 12 มิลลิเมตร และมีแผ่นอะคริลิกรองด้านล่าง เมื่อขัดเรซินซีเมนต์จนเต็มแม่แบบ นำแผ่นอะคริลิคออก 1 แผ่นมาวางประกอบด้านบนของแม่แบบให้สนิท จากนั้นยึดเข้ากับแม่แบบด้วยที่หนีบกระดาษ 2 อัน แล้วทำการจ่ายแสงด้วยเครื่องจ่ายแสงที่ความเข้ม 500 มิลลิวัตต์ต่อตารางเซนติเมตร หรือทิ้งไว้ให้เกิดการก่อตัวอย่างสมบูรณ์ตามวิธีการที่กล่าวไว้แล้วในหัวข้อ 3.4.1.1 แล้วจึงนำชิ้นตัวอย่างเรซินซีเมนต์ออกจากแม่แบบหลังจากที่ชิ้นตัวอย่างในแต่ละกลุ่มเกิดการก่อตัวอย่างสมบูรณ์ ตรวจดูความสมบูรณ์เรียบร้อยและทำการตัดแต่งขอบของชิ้นตัวอย่างด้วยใบมีดผ่าตัดเบอร์ 12 นำชิ้นตัวอย่างทั้งหมดมาเช่นน้ำปราศจากอิออนในตู้ควบคุมอุณหภูมิที่อุณหภูมิ 37 ± 1 องศาเซลเซียส เป็นเวลา 24 ชั่วโมง ก่อนนำมาทำการวัดสีและทำการรวมค่าน้ำหนัก

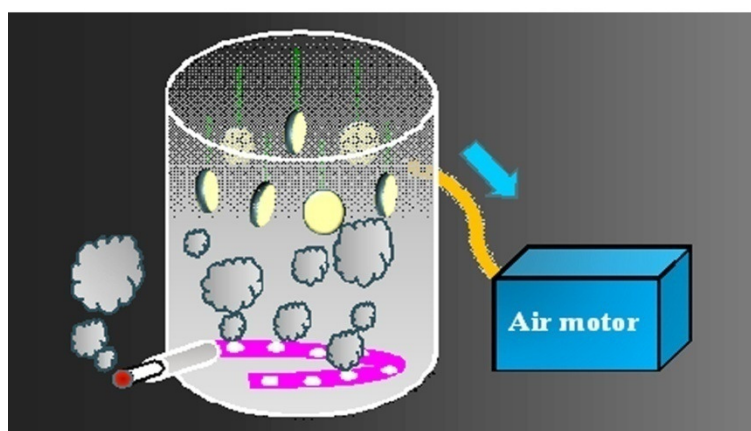
3.4.2.2 ขั้นตอนการวัดสีก่อนการรวมค่าน้ำหนัก

หลังจากทำการเตรียมและนำชิ้นตัวอย่างไปเช่นน้ำปราศจากอิออนเป็นเวลา 24 ชั่วโมง จึงนำชิ้นตัวอย่างทั้งหมดมาทำความสะอาดในน้ำปราศจากอิออนด้วยเครื่องทำความสะอาด

อัลตราโซนิกเป็นเวลา 5 นาที ซึ่งชั้นตัวอย่างให้แห้งด้วยกระดาษซับที่สะอาด แล้วนำชิ้นตัวอย่างมาทำการวัดสีก่อนการรวมควันบุหรี่ และบันทึกค่าเฉลี่ยของค่า L^* , a^* และ b^* ในแต่ละชิ้นตัวอย่าง

3.4.2.3 ขั้นตอนการเตรียมกล่องสำหรับรวมควันบุหรี่

กล่องสำหรับรวมควันบุหรี่ ซึ่งดัดแปลงจากการศึกษาของอกินันทร์และคณะ [51] ได้แสดงไว้ดังภาพที่ 16 โดยนำกล่องพลาสติกปิดผนึกมาเจาะรูด้านข้างของกล่องบริเวณมุมล่างของกล่องเพื่อต่อ กับท่ออย่างสำหรับไวนิลบุหรี่ครั้งละ 1 มวน และนำควันบุหรี่เข้าไปในกล่อง โดยท่ออย่างจะวางขดเป็นวงกลมที่กันกล่องและปิดส่วนปลายด้วยจุกพลาสติก เจาะรูที่ท่ออย่างจำนวน 6 รู เป็นระยะห่างเท่า ๆ กัน บริเวณด้านบนของกล่องจะต่อ กับท่ออย่างที่ต่อไปยังมอเตอร์ดูดอากาศเพื่อดูดควันบุหรี่ออก



ภาพที่ 16 แสดงกล่องสำหรับรวมควันบุหรี่และมอเตอร์ดูดอากาศ

3.4.2.4 ขั้นตอนการรวมควันบุหรี่

นำชิ้นตัวอย่างจำนวน 10 ชิ้นในแต่ละกลุ่ม แขวนไว้โดยใช้ตัวหนีบติดอยู่กับฝาของกล่องสำหรับรวมควันบุหรี่ โดยให้อุ่นระดับเดียวกับทางเข้าของควันบุหรี่ การจุดบุหรี่จะทำครั้งละ 1 มวน

โดยมีอัตราการเผล้ใน 50 -70 วินาทีต่อวน รวมวันในกล่องนาน 6 นาที จุดต่อเนื่องทั้งหมด 12 วน ดังนั้นในการรวมค้วนบุหรี่ 1 รอบจะใช้เวลารวม 72 นาที

3.4.2.5 ขั้นตอนการวัดสีหลังการรวมค้วนบุหรี่

ปล่อยชิ้นตัวอย่างไว้ที่อุณหภูมิห้องเป็นเวลา 1 ชั่วโมงหลังจากทำการรวมค้วนบุหรี่ แล้วนำชิ้นตัวอย่างมาทำการวัดสีหลังการรวมค้วนบุหรี่ และบันทึกค่าเฉลี่ยของค่า L^* , a^* และ b^* ของแต่ละชิ้นตัวอย่าง

3.4.2.6 ขั้นตอนการทำความสะอาดชิ้นตัวอย่าง และการวัดสีหลังทำความสะอาดคราบค้วนบุหรี่ด้วยเครื่องอัลตราโซนิก

นำชิ้นตัวอย่างมาทำการทำความสะอาดคราบค้วนบุหรี่ในน้ำปราศจากอิオンด้วยเครื่องอัลตราโซนิกเป็นเวลา 5 นาที ซับชิ้นตัวอย่างให้แห้งด้วยกระดาษซับที่สะอาด แล้วนำชิ้นตัวอย่างมาทำการวัดสีหลังทำความสะอาดคราบค้วนบุหรี่ และบันทึกค่าเฉลี่ยของค่า L^* , a^* และ b^*

ในแต่ละชิ้นตัวอย่างจะทำการวัดสีจำนวน 3 ครั้งคือ การวัดสีก่อนการรวมค้วนบุหรี่ การวัดสีหลังการรวมค้วนบุหรี่ และการวัดสีหลังทำความสะอาดคราบค้วนบุหรี่ แล้วจึงคำนวณผลต่างของสีโดยเบรียบเทียบระหว่างการวัด 2 ครั้ง แล้วนำค่าผลต่างของสีที่ได้มาคำนวณหาค่าเฉลี่ยในแต่ละกลุ่ม และเบรียบเทียบโดยแยกเป็น 2 หัวข้อ คือ

1. ผลต่างเฉลี่ยของสีก่อนกับหลังการรวมค้วนบุหรี่ (ΔE_{12})
2. ผลต่างเฉลี่ยของสีก่อนการรวมค้วนบุหรี่กับหลังทำความสะอาดคราบค้วนบุหรี่ (ΔE_{13})

3.5 การวิเคราะห์ข้อมูล

นำข้อมูลที่ได้มาวิเคราะห์เชิงพรรณนา และทางสถิติโดยใช้โปรแกรมเอสพีเอส เอกอร์ชัน 17.0 (Statistic Package for the Social Science version 17.0) และโปรแกรมซิกมา สเตท เวอร์ชัน 2.03 (Sigma Stat 2.03) ที่ระดับความเชื่อมั่นร้อยละ 95 โดยแบ่งการวิเคราะห์ข้อมูลตามกำหนดขอบเขตเป็น 2 ตอน คือ

3.5.1 ตอนที่หนึ่ง: การทดสอบเดลี่ยวพาของสีของเวชินเม็นต์จากการปนเปื้อนน้ำลายเทียมก่อนการเกิดปฏิกิริยาการก่อตัว หลังผ่านการเจริญอายุ

3.5.1.1 วิเคราะห์เชิงพรรณนา สำหรับค่า L^* , a^* และ b^* เฉลี่ยก่อนและหลังผ่านการเจริญอายุ และใช้การทดสอบสถิติผลต่างค่าเฉลี่ยแบบจับคู่ (Paired t-test) สำหรับวิเคราะห์การเปลี่ยนแปลงของค่า L^* , a^* และ b^* เฉลี่ยในแต่ละกลุ่ม ระหว่างก่อนผ่านการเจริญอายุกับหลังผ่านการเจริญอายุ

3.5.1.2 วิเคราะห์ค่าผลต่างของสีระหว่างก่อนผ่านการเร่งอายุกับหลังผ่านการเร่งอายุ ด้วยการวิเคราะห์สถิติความแปรปรวนแบบ 2 ทาง (Two-way ANOVA) การวิเคราะห์ความแปรปรวนแบบทางเดียว (One-way ANOVA) และวิเคราะห์เปรียบเทียบรายคู่ภายหลัง (post-hoc analysis) ร่วมกับการวิเคราะห์เชิงพารณนา สำหรับวิเคราะห์เปรียบเทียบ 2 ปัจจัย คือ การปั่นเบื้องหรือไม่ปั่นเบื้องน้ำลายเทียมของชนิดตัวอย่าง และเรซินซีเมนต์ในแต่ละผลิตภัณฑ์

3.5.2 ตอนที่สอง : การทดสอบเสถียรภาพของสีของเรซินซีเมนต์จากผลของควันบุหรี่

3.5.2.1 วิเคราะห์เชิงพารณนา สำหรับค่า L^* , a^* และ b^* เฉลี่ยก่อนการรวมควันบุหรี่ หลังการรวมควันบุหรี่ และหลังการทำความสะอาดด้วยเครื่องขัดตราโชนิก และใช้การวิเคราะห์ความแปรปรวนแบบทางเดียวเมื่อมีการวัดซ้ำ (One-way repeated measures ANOVA) สำหรับวิเคราะห์การเปลี่ยนแปลงของค่า L^* , a^* และ b^* เฉลี่ยในแต่ละกลุ่ม หลังการรวมควันบุหรี่และหลังทำความสะอาดคราบควันบุหรี่ เมื่อเปรียบเทียบกับก่อนการรวมควันบุหรี่

3.5.2.2 วิเคราะห์ผลต่างของสี ด้วยการวิเคราะห์สถิติความแปรปรวนแบบทางเดียว และวิเคราะห์เปรียบเทียบรายคู่ภายหลัง ร่วมกับการวิเคราะห์เชิงพารณนา โดยเปรียบเทียบแยกเป็น 2 หัวข้อ คือ

3.5.2.2.1 ผลต่างเฉลี่ยของสีก่อนกับหลังการรวมควันบุหรี่ (ΔE_{12})

3.5.2.2.2 ผลต่างเฉลี่ยของสีก่อนการรวมควันบุหรี่กับหลังทำความสะอาดคราบควันบุหรี่ (ΔE_{13})

3.5.2.3 ทดสอบความแตกต่างระหว่างผลต่างเฉลี่ยของสีก่อนกับหลังการรวมควันบุหรี่ (ΔE_{12}) และผลต่างเฉลี่ยของสีก่อนการรวมควันบุหรี่กับหลังทำความสะอาดคราบควันบุหรี่ (ΔE_{13}) ในเรซินซีเมนต์แต่ละผลิตภัณฑ์ โดยใช้การทดสอบสถิติผลต่างค่าเฉลี่ยแบบจับคู่

บทที่ 4

ผลการวิเคราะห์ข้อมูล

(รายละเอียดการวิเคราะห์ข้อมูลทางสถิติแสดงไว้ในภาคผนวก)

4.1 ผลการทดสอบสถิติร相伴ของสีของเรซินซีเมนต์ จากผลของการปนเปื้อนน้ำลายเทียมก่อนการเกิดปฏิกิริยาการก่อตัว หลังผ่านการเร่งอายุ

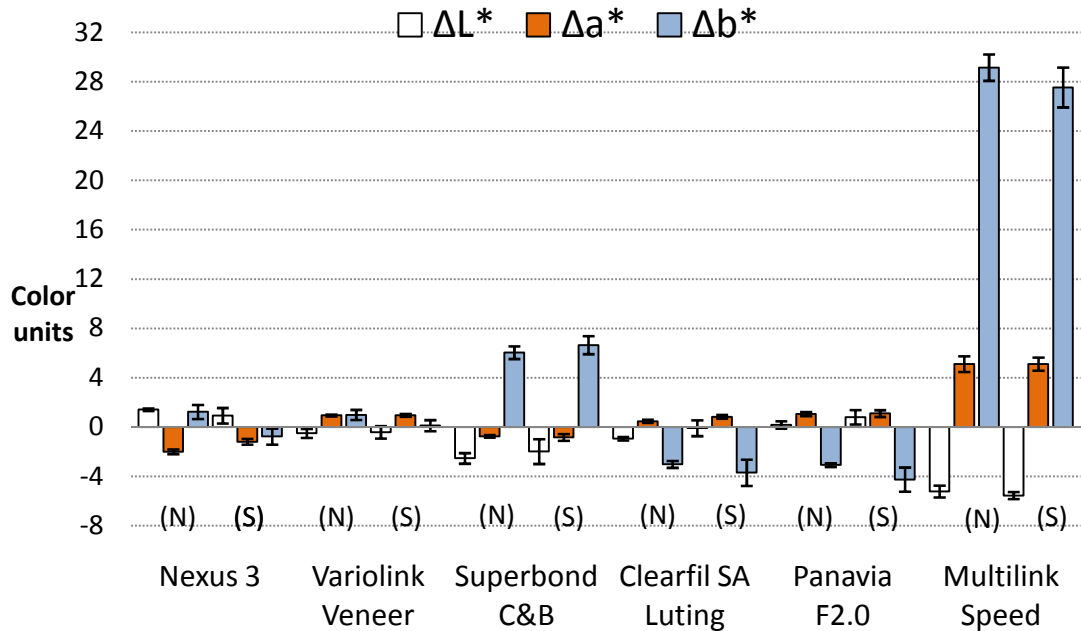
4.1.1 ค่า L^* , a^* และ b^* เฉลี่ยก่อนและหลังผ่านการเร่งอายุในเรซินซีเมนต์จำนวน 12 กลุ่ม

ค่า L^* , a^* และ b^* เฉลี่ยและส่วนเบี่ยงเบนมาตรฐานก่อนและหลังผ่านการเร่งอายุ และแนวโน้มการเปลี่ยนแปลงของค่า L^* , a^* และ b^* เฉลี่ยหลังผ่านการเร่งอายุในเรซินซีเมนต์จำนวน 12 กลุ่ม ได้แสดงไว้ดังตารางที่ 4 และภาพที่ 17 ตามลำดับ

ตารางที่ 4 แสดงค่า L^* , a^* และ b^* เฉลี่ยและส่วนเบี่ยงเบนมาตรฐานก่อนและหลังผ่านการเร่งอายุ ในเรซินซีเมนต์จำนวน 12 กลุ่ม

กลุ่มของ เรซินซีเมนต์	ค่าของการวัดสีในแต่ละครั้ง		กลุ่มของ เรซินซีเมนต์	ค่าของการวัดสีในแต่ละครั้ง		
	ก่อน	หลัง		ก่อน	หลัง	
1) Nexus 3 (N)	L^*	77.92 (0.60)	79.33 (0.56)	7) Clearfil SA Luting (N)	L^* 83.80 (0.27)	82.85 (0.23)
	a^*	-2.63 (0.15)	-4.63 (0.14)		a^* 0.33 (0.18)	0.80 (0.13)
	b^*	11.10 (0.52)	12.33 (0.50)		b^* 25.94 (0.52)	22.91 (0.58)
2) Nexus 3 (S)	L^*	77.32 (0.29)	78.24 (0.66)	8) Clearfil SA Luting (S)	L^* 85.13 (0.33)	<u>85.03 (0.60)</u>
	a^*	-2.80 (0.03)	-3.99 (0.24)		a^* 0.96 (0.19)	1.80 (0.11)
	b^*	11.52 (0.19)	10.75 (0.63)		b^* 24.38 (1.23)	20.67 (0.92)
3) Variolink Veneer (N)	L^*	83.73 (0.46)	83.22 (0.29)	9) Panavia F2.0 (N)	L^* 82.64 (0.45)	<u>82.81 (0.33)</u>
	a^*	-2.32 (0.07)	-1.39 (0.08)		a^* 1.18 (0.16)	2.23 (0.14)
	b^*	6.66 (0.31)	7.64 (0.24)		b^* 23.37 (0.21)	20.29 (0.20)
4) Variolink Veneer (S)	L^*	83.20 (0.52)	82.77 (0.72)	10) Panavia F2.0 (S)	L^* 84.38 (0.38)	85.17 (0.64)
	a^*	-3.17 (0.34)	-2.22 (0.40)		a^* 1.18 (0.13)	2.27 (0.24)
	b	6.20 (0.90)	<u>6.31 (0.70)</u>		b 21.21 (0.98)	16.94 (1.09)
5) Superbond C&B (N)	L^*	91.28 (0.36)	88.73 (0.60)	11) Multilink Speed (N)	L^* 82.54 (0.54)	77.31 (0.57)
	a^*	-1.32 (0.06)	-2.07 (0.08)		a^* -0.41 (0.22)	4.69 (0.76)
	b^*	2.27 (0.19)	8.30 (0.53)		b^* 11.14 (0.31)	40.28 (1.09)
6) Superbond C&B (S)	L^*	82.26 (2.76)	80.27 (2.79)	12) Multilink Speed (S)	L^* 83.86 (0.44)	78.31 (0.45)
	a^*	-1.10 (0.35)	-1.95 (0.22)		a^* -0.45 (0.22)	4.65 (0.57)
	b^*	2.82 (0.36)	9.46 (0.60)		b^* 12.00 (0.26)	39.53 (1.70)

แสดงถึงไม่มีความแตกต่างอย่างมีนัยสำคัญทางสถิติระหว่างก่อนกับหลังผ่านการเร่งอายุ



(N) แสดงถึงกลุ่มตัวอย่างเรซิโนนเม็นต์ที่ไม่ปนเปื้อนน้ำลายเทียมก่อนเกิดปฏิกิริยาการก่อตัว
 (S) แสดงถึงกลุ่มตัวอย่างเรซิโนนเม็นต์ที่ปนเปื้อนน้ำลายเทียมก่อนเกิดปฏิกิริยาการก่อตัว

ภาพที่ 17 แสดงการเปลี่ยนแปลงของค่า L^* , a^* และ b^* เฉลี่ยหลังผ่านการเร่งอายุ
 ในเรซิโนนเม็นต์จำนวน 12 กลุ่ม

จากตารางที่ 4 พบร่ว่าค่า L^* เฉลี่ยของ Superbond C&B มีค่า L^* เฉลี่ยสูงที่สุด ส่วน Nexus 3 มีค่า L^* เฉลี่ยน้อยที่สุด และเมื่อนำค่า L^* เฉลี่ยมาเปรียบเทียบระหว่างก่อนกับหลังผ่านการเร่งอายุ พบร่ว่ากลุ่ม Clearfil SA Luting (S) และกลุ่ม Panavia F2.0 (N) มีความแตกต่างกันอย่างไม่มีนัยสำคัญทางสถิติ ในขณะที่กลุ่ม Nexus 3 และ Panavia F2.0 (S) จะมีค่า L^* เฉลี่ยมากขึ้น ส่วนกลุ่มของเรซิโนนเม็นต์ที่เหลือจะมีค่า L^* เฉลี่ยลดลงเล็กน้อยประมาณ 0.51-2.55 หน่วย ยกเว้นกลุ่มของ Multilink Speed (N) และ Multilink Speed (S) ที่มีค่า L^* เฉลี่ยลดลงประมาณ 5.23 และ 5.55 หน่วย ตามลำดับ

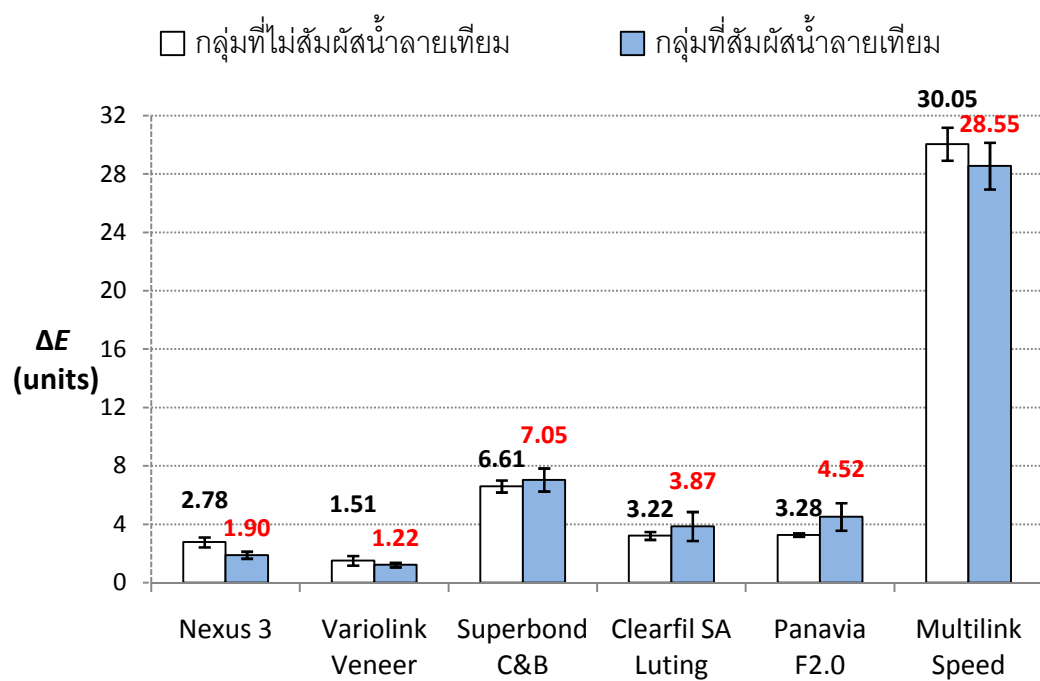
เมื่อเปรียบเทียบค่า a^* เฉลี่ยระหว่างก่อนกับหลังผ่านการเร่งอายุของกลุ่มเรซิโนนเม็นต์ (ตารางที่ 4) พบร่ว่าค่า a^* เฉลี่ยของกลุ่ม Nexus 3 และ Superbond C&B ลดลงประมาณ 0.75-2 หน่วย ส่วนกลุ่ม Variolink Veneer, Clearfil SA Luting และ Panavia F2.0 จะมีค่า a^* เฉลี่ยมากขึ้นเล็กน้อยประมาณ 0.51-2.55 หน่วย ยกเว้นกลุ่มของ Multilink Speed ที่มีค่า a^* เฉลี่ยมากขึ้นประมาณ 5.1 หน่วย

เมื่อเปรียบเทียบค่า b^* เฉลี่ย (ตารางที่ 4) พบร่ว่า Clearfil SA Luting และ Panavia F2.0 มีค่า b^* เฉลี่ยมากกว่ากลุ่มอื่น และภายหลังนำไปผ่านการเร่งอายุ พบร่ว่าค่า b^* เฉลี่ยของ Clearfil SA Luting , Panavia F2.0 และ Nexus 3 (S) มีค่าลดลง ส่วนค่า b^* เฉลี่ยของ Nexus 3 (N),

Variolink Veneer (S) และ Superbond C&B มีค่ามากขึ้นประมาณ 0.98-6.64 หน่วย ในขณะที่ Multilink Speed (N) และ Multilink Speed (S) มีค่า b^* เฉลี่ยมากขึ้นอย่างมากประมาณ 29.14 และ 27.53 หน่วย ตามลำดับ

4.1.2 ผลต่างเฉลี่ยของสีหลังผ่านการเร่งอายุในเรซินชีเมนต์จำนวน 12 กลุ่ม

จากภาพที่ 18 พบว่าค่าผลต่างเฉลี่ยของสีของกลุ่มเรซินชีเมนต์ที่ไม่เป็นเปื้อนน้ำลายเทียม ก่อนการเกิดปฏิกิริยาการก่อตัว (ΔE_N) หลังผ่านการเร่งอายุของ Nexus 3, Variolink Veneer, Superbond C&B, Clearfil SA Luting, Panavia F2.0 และ Multilink Speed มีค่า 2.78 ± 0.34 , 1.51 ± 0.33 , 6.61 ± 0.41 , 3.22 ± 0.27 , 3.28 ± 0.12 และ 30.05 ± 1.13 หน่วย ตามลำดับ ส่วนค่า ผลต่างเฉลี่ยของสีของกลุ่มเรซินชีเมนต์ที่ปนเปื้อนน้ำลายเทียมก่อนการเกิดปฏิกิริยาการก่อตัว (ΔE_S) หลังผ่านการเร่งอายุของ Nexus 3, Variolink Veneer, Superbond C&B, Clearfil SA Luting, Panavia F2.0 และ Multilink Speed มีค่า 1.90 ± 0.24 , 1.22 ± 0.16 , 7.05 ± 0.79 , 3.87 ± 0.99 , 4.52 ± 0.94 และ 28.55 ± 1.60 หน่วย ตามลำดับ



ภาพที่ 18 แสดงค่าผลต่างเฉลี่ยของสีหลังผ่านการเร่งอายุในเรซินชีเมนต์จำนวน 12 กลุ่ม

4.1.3 เปรียบเทียบค่าทิพลร่วมของการไม่ปนเปื้อนหรือปนเปื้อนน้ำลายเที่ยมก่อนเกิดปฏิกิริยาการก่อตัว กับเรซินซีเมนต์ในแต่ละผลิตภัณฑ์ ต่อผลต่างเฉลี่ยของสีหลังผ่านการเร่งอายุ

การวิเคราะห์ทางสถิติพบว่า การกระจายของข้อมูลผลต่างเฉลี่ยของสีเป็นการกระจายแบบปกติ ($p > 0.05$) ในทุกกลุ่ม สถิติที่ใช้ในการวิเคราะห์ข้อมูลจึงใช้สถิติพารามեตริกซ์ ชนิดความแปรปรวนแบบ 2 ทาง ได้ผลการวิเคราะห์ดังนี้

- มีความแตกต่างของค่าผลต่างเฉลี่ยของสีหลังผ่านการเร่งอายุ ระหว่างเรซินซีเมนต์ต่างผลิตภัณฑ์อย่างน้อย 2 กลุ่มอย่างมีนัยสำคัญทางสถิติ ($p < 0.0001$)

- มีความแตกต่างของค่าผลต่างเฉลี่ยของสีหลังผ่านการเร่งอายุ ระหว่างการไม่ปนเปื้อน หรือปนเปื้อนน้ำลายเที่ยมก่อนเกิดปฏิกิริยาการก่อตัวอย่างไม่มีนัยสำคัญทางสถิติ ($p = 0.693$)

- มีอัทธิพลดร่วมของการไม่ปนเปื้อนหรือปนเปื้อนน้ำลายเที่ยมก่อนเกิดปฏิกิริยาการก่อตัว กับเรซินซีเมนต์ในแต่ละผลิตภัณฑ์ ต่อค่าผลต่างเฉลี่ยของสีหลังผ่านการเร่งอายุ ($p < 0.0001$)

เมื่อพบว่ามีอัทธิพลดร่วมของการไม่ปนเปื้อนหรือปนเปื้อนน้ำลายเที่ยมก่อนเกิดปฏิกิริยาการก่อตัว กับเรซินซีเมนต์ในแต่ละผลิตภัณฑ์ ต่อค่าผลต่างเฉลี่ยของสีหลังผ่านการเร่งอายุ จึงนำ กลุ่มตัวอย่างทั้ง 12 กลุ่มมาวิเคราะห์ด้วยสถิติความแปรปรวนทางเดียว แต่เนื่องจากค่าความแปรปรวนในแต่ละกลุ่มไม่เท่ากัน ซึ่งอาจทำให้เกิดความคลาดเคลื่อนของผลการวิเคราะห์ความแปรปรวนได้ จึงทำการทดสอบเพิ่มเติม เพื่อรองรับผลความแตกต่างของค่าเฉลี่ยด้วยวิธีการของบราวน์-ฟอร์ไซท์ (Brown-Forsythe test) พบว่า มีค่าผลต่างเฉลี่ยของสีหลังผ่านการเร่งอายุ แตกต่างกันอย่างน้อย 2 กลุ่ม ($p < 0.0001$) จากนั้นทำการวิเคราะห์ต่อโดยการเปรียบเทียบรายคู่ ภายหลัง ชนิดแทนเงนส์ ทีทู (Tamhane T2) ดังตารางที่ 5 พบว่า

- ในกลุ่มตัวอย่างของเรซินซีเมนต์ที่ไม่ปนเปื้อนน้ำลายเที่ยมก่อนเกิดปฏิกิริยาการก่อตัว พ布ว่ามีค่าผลต่างเฉลี่ยของสี (ΔE_N) ของ Multilink Speed > Superbond C&B > Panavia F2.0, Clearfil SA Luting และ Nexus 3 > Variolink Veneer อย่างมีนัยสำคัญทางสถิติ ($p > 0.05$)

- ในกลุ่มตัวอย่างของเรซินซีเมนต์ที่ปนเปื้อนน้ำลายเที่ยมก่อนเกิดปฏิกิริยาการก่อตัว พ布ว่ามีค่าผลต่างเฉลี่ยของสี (ΔE_S) ของ Multilink Speed > Superbond C&B > Panavia F2.0 และ Clearfil SA Luting > Nexus 3 > Variolink Veneer อย่างมีนัยสำคัญทางสถิติ ($p > 0.05$)

- ในการเปรียบเทียบความแตกต่างของผลต่างเฉลี่ยของสีของกลุ่มเรซินซีเมนต์ที่ไม่ปนเปื้อนน้ำลายเที่ยมก่อนการเกิดปฏิกิริยาการก่อตัว (ΔE_N) และผลต่างเฉลี่ยของสีของกลุ่มเรซินซีเมนต์ที่ปนเปื้อนน้ำลายเที่ยมก่อนการเกิดปฏิกิริยาการก่อตัว (ΔE_S) ในเรซินซีเมนต์แต่ละผลิตภัณฑ์ พ布ว่าเรซินซีเมนต์ที่นำมาตรฐานทดสอบมีค่า ΔE_N และ ΔE_S แตกต่างกันอย่างไม่มีนัยสำคัญทางสถิติ ($p > 0.05$) ยกเว้น Nexus 3

ตารางที่ 5 แสดงผลการวิเคราะห์การเปรียบเทียบรายคู่ภายหลัง ชนิดแทมເ xenst ที่ทู ของค่าผลต่างเฉลี่ยของสีหลังผ่านการเว่งอายุในเรซินซีเมนต์จำนวน 12 กลุ่ม

กลุ่ม	จำนวน	Subset for alpha = 0.05					
		1	2	3	4	5	6
Variolink Veneer (S)	10	1.22 ± 0.16					
Variolink Veneer (N)	10	1.51 ± 0.33	1.51 ± 0.33				
Nexus 3 (S)	10		1.90 ± 0.24				
Nexus 3 (N)	10			2.78 ± 0.34			
Clearfil SA Luting (N)	10			3.22 ± 0.27			
Panavia F2.0 (N)	10			3.28 ± 0.12	3.28 ± 0.12		
Clearfil SA Luting (S)	10			3.87 ± 0.99	3.87 ± 0.99		
Panavia F2.0 (S)	10				4.52 ± 0.94		
Superbond C&B (N)	10					6.61 ± 0.41	
Superbond C&B (S)	10					7.05 ± 0.79	
Multilink Speed (S)	10						28.55 ± 1.60
Multilink Speed (N)	10						30.05 ± 1.13

(N) แสดงถึงกลุ่มตัวอย่างเรซินซีเมนต์ที่ไม่ปนเปื้อนน้ำลายที่ยังก่อนเกิดปฏิกิริยาการก่อตัว

(S) แสดงถึงกลุ่มตัวอย่างเรซินซีเมนต์ที่ปนเปื้อนน้ำลายที่ยังก่อนเกิดปฏิกิริยาการก่อตัว

4.2 ผลการทดสอบสีของภาพของสีของเรซินซีเมนต์จากผลของค้วนบุหรี่

4.2.1 ค่า L^* , a^* และ b^* เฉลี่ยจากผลของค้วนบุหรี่และหลังทำการทดสอบค่าวันบุหรี่ ของเรซินซีเมนต์จำนวน 6 ผลิตภัณฑ์

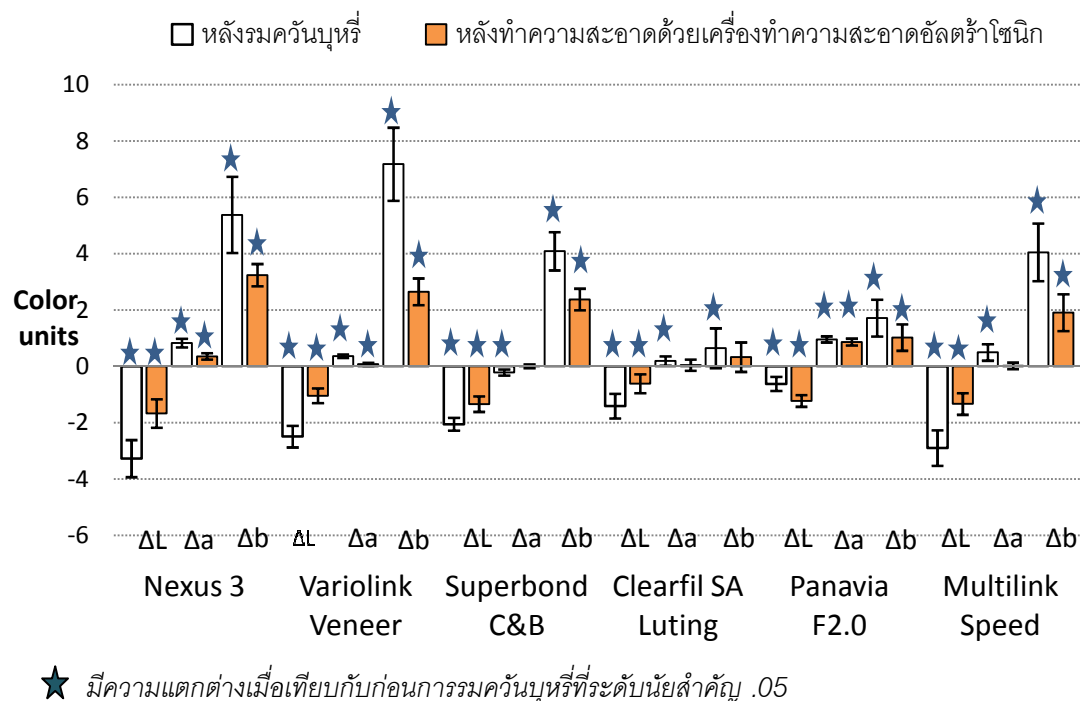
ค่า L^* , a^* และ b^* เฉลี่ยและส่วนเบี่ยงเบนมาตรฐานของเรซินซีเมนต์จำนวน 6 ผลิตภัณฑ์ในการวัดจำนวน 3 ครั้ง คือ ก่อนการรวมค้วนบุหรี่ หลังการรวมค้วนบุหรี่ และหลังทำการทำความสะอาดค่าวันบุหรี่ ได้แสดงไว้ดังตารางที่ 6

ตารางที่ 6 แสดงค่า L^* , a^* และ b^* เฉลี่ยก่อนการรวมค้วนบุหรี่ หลังการรวมค้วนบุหรี่ และหลังทำการทำความสะอาดค่าวันบุหรี่ในเรซินซีเมนต์แต่ละผลิตภัณฑ์

เรซินซีเมนต์	ค่าของ การวัดสีในแต่ละครั้ง		
	ก่อนการรวมค้วนบุหรี่	หลังการรวมค้วนบุหรี่	หลังการทำความสะอาด
Nexus 3	L^* 78.31 (0.86)	75.04 (0.84)	76.64 (0.77)
	a^* -2.49 (0.35)	-1.66 (0.27)	-2.13 (0.28)
	b^* 8.79 (0.52)	14.17 (1.24)	12.03 (0.60)
Variolink Veneer	L^* 83.68 (0.20)	81.19 (0.48)	82.64 (0.33)
	a^* -2.21 (0.07)	-1.85 (0.11)	-2.14 (0.07)
	b^* 5.84 (0.18)	13.02 (1.32)	8.49 (0.46)
Superbond C&B	L^* 91.91 (0.38)	89.86 (0.40)	90.58 (0.36)
	a^* -1.09 (0.05)	-1.30 (0.08)	-1.08 (0.04)
	b^* 1.96 (0.17)	6.05 (0.79)	4.34 (0.53)
Clearfil SA Luting	L^* 78.95 (0.34)	77.55 (0.59)	78.34 (0.42)
	a^* 5.16 (0.17)	5.35 (0.27)	5.20 (0.33)
	b^* 28.39 (0.49)	29.03 (0.81)	28.72 (0.75)
Panavia F2.0	L^* 81.67 (0.51)	81.05 (0.56)	80.45 (0.53)
	a^* 1.49 (0.19)	2.45 (0.19)	2.36 (0.23)
	b^* 24.56 (0.25)	26.27 (0.64)	25.58 (0.46)
Multilink Speed	L^* 82.37 (0.60)	79.47 (0.87)	81.03 (0.75)
	a^* -0.34 (0.31)	0.16 (0.42)	-0.32 (0.29)
	b^* 11.35 (0.16)	15.40 (0.94)	13.26 (0.56)

จากตารางที่ 6 พบว่าค่า L^* เฉลี่ยก่อนรวมค้วนบุหรี่ของ Superbond C&B มีค่า L^* เฉลี่ยสูงที่สุด โดยเมื่อนำชิ้นตัวอย่างมาทำการรวมค้วนบุหรี่ ค่า L^* เฉลี่ยของเรซินซีเมนต์ทั้ง 6 ผลิตภัณฑ์

ลดลงอย่างมีนัยสำคัญทางสถิติ ($p \leq 0.05$) ต่อมานำมาเป็นขั้นตอนต่อไปที่ผ่านการรวมค่าวัณบุหรี่มาทำความสะอาดด้วยเครื่องอัลตราโซนิก พบว่าเรซินซีเมนต์ทุกผลิตภัณฑ์ยกเว้น Panavia F2.0 จะมีค่า L^* เฉลี่ยเพิ่มขึ้น แต่ยังคงมีค่า L^* เฉลี่ยหลังทำความสะอาดคราบค้วนบุหรี่น้อยกว่าก่อนการรวมค้วนบุหรี่อย่างมีนัยสำคัญทางสถิติ ($p \leq 0.05$) ดังแสดงไว้จากภาพที่ 19



★ มีความแตกต่างเมื่อเทียบกับก่อนการรวมค้วนบุหรี่ที่ระดับนัยสำคัญ .05

ภาพที่ 19 แสดงการเปลี่ยนแปลงของค่า L^* , a^* และ b^* เฉลี่ยหลังการรวมค้วนบุหรี่และหลังทำความสะอาดคราบค้วนบุหรี่ เมื่อเปรียบเทียบกับก่อนการรวมค้วนบุหรี่

เมื่อเปรียบเทียบค่า a^* เฉลี่ยของเรซินซีเมนต์จำนวน 6 ผลิตภัณฑ์ (ตารางที่ 6) พบว่า Clearfil SA Luting มีค่า a^* เฉลี่ยก่อนรวมค้วนบุหรี่สูงที่สุด โดยภายหลังการรวมค้วนบุหรี่และภายหลังนำชิ้นตัวอย่างมาทำความสะอาดคราบค้วนบุหรี่ ค่า a^* เฉลี่ยของเรซินซีเมนต์จำนวน 6 ผลิตภัณฑ์ในการเปลี่ยนแปลงค่อนข้างน้อยเมื่อเทียบกับ L^* หรือ b^* (ภาพที่ 19)

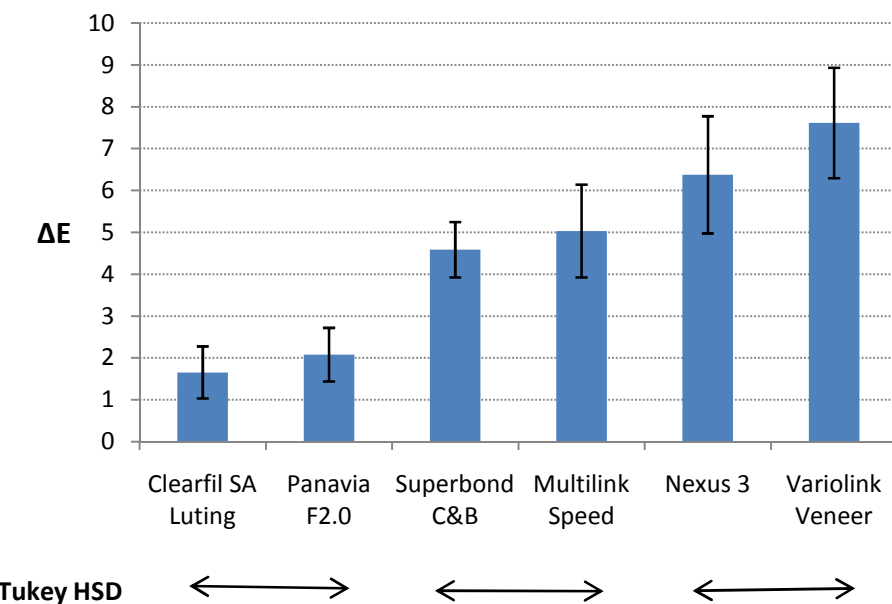
เมื่อเปรียบเทียบค่า b^* เฉลี่ยของเรซินซีเมนต์จำนวน 6 ผลิตภัณฑ์ (ตารางที่ 6) พบว่า Clearfil SA Luting และ Panavia F2.0 มีค่า b^* เฉลี่ยสูงกว่ากว่าผลิตภัณฑ์อื่น โดยเมื่อนำชิ้นตัวอย่างมาทำความสะอาดคราบค้วนบุหรี่ พบว่าค่า b^* เฉลี่ยของเรซินซีเมนต์ทั้ง 6 ผลิตภัณฑ์เพิ่มขึ้นอย่างมีนัยสำคัญทางสถิติ ($p \leq 0.05$) โดย Clearfil SA Luting และ Panavia F2.0 มีค่า b^* เฉลี่ยเพิ่มขึ้นเพียงเล็กน้อยเมื่อเทียบกับเรซินซีเมนต์ผลิตภัณฑ์อื่น ๆ ต่อมามีนำชิ้นตัวอย่างที่ผ่านการรวมค้วนบุหรี่มาทำความสะอาดด้วยเครื่องอัลตราโซนิก พบว่าเรซินซีเมนต์ทั้ง 6 ผลิตภัณฑ์มีค่า b^* เฉลี่ย

ลดลง แต่บังคับมีค่า b^* เฉลี่ยหลังทำการรวมคร่าวันบุหรี่มากกว่าค่า b^* เฉลี่ยก่อนการรวมคร่าวันบุหรี่อย่างมีนัยสำคัญทางสถิติ ($p \leq 0.05$) ยกเว้น Clearfil SA Luting (ภาพที่ 19)

4.2.2 ผลต่างของสีจากผลของคร่าวันบุหรี่และหลังทำการรวมคร่าวันบุหรี่ในเรซินชีเมนต์จำนวน 6 ผลิตภัณฑ์

ค่าผลต่างเฉลี่ยของสีก่อนกับหลังการรวมคร่าวันบุหรี่ (ΔE_{12}) ของ Nexus 3, Variolink Veneer, Superbond C&B, Clearfil SA Luting, Panavia F2.0 และ Multilink Speed มีค่า 6.38 ± 1.40 , 7.62 ± 1.32 , 4.59 ± 0.66 , 1.65 ± 0.62 , 2.08 ± 0.64 และ 5.03 ± 1.11 หน่วย ตามลำดับ และเมื่อนำค่าผลต่างเฉลี่ยของสีก่อนกับหลังการรวมคร่าวันบุหรี่ (ΔE_{12}) ของแต่ละผลิตภัณฑ์ของเรซินชีเมนต์ไปทดสอบการกระจายของข้อมูล พบว่าการกระจายของข้อมูลเป็นการกระจายแบบปกติ ($p > 0.05$) ในทุกผลิตภัณฑ์ สถิติที่ใช้ในการวิเคราะห์ข้อมูลจึงใช้สถิติพารามեตริก

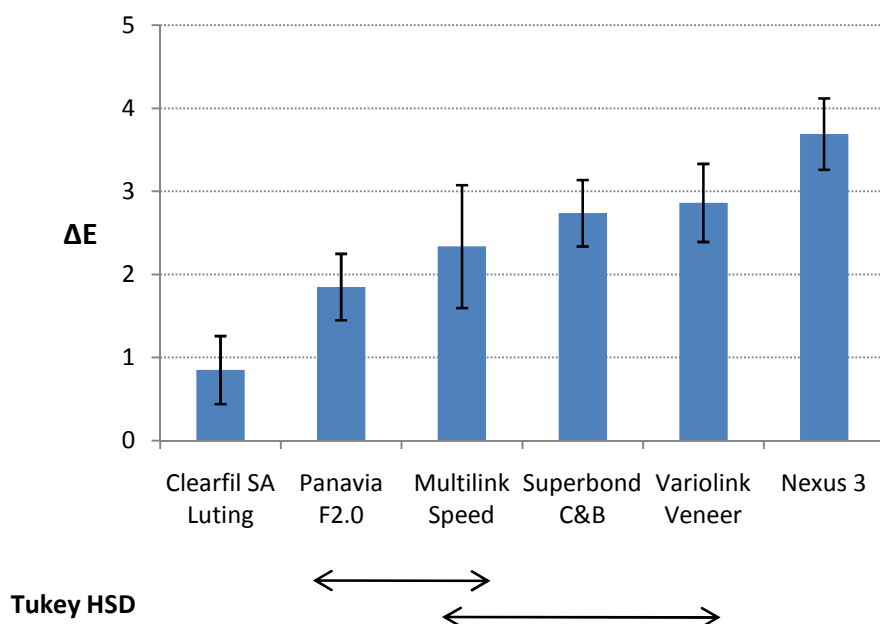
เมื่อนำค่าผลต่างเฉลี่ยของสีก่อนกับหลังการรวมคร่าวันบุหรี่ (ΔE_{12}) มาวิเคราะห์ด้วยสถิติกิริวิเคราะห์ความแปรปรวนทางเดียว พบว่ามีค่าผลต่างเฉลี่ยของสีแตกต่างกันอย่างน้อย 2 กลุ่ม ($p < 0.0001$) จึงทำการวิเคราะห์เปรียบเทียบรายคู่ภายหลังด้วยการทดสอบแบบ HSD ของทู基 (Tukey's HSD test) พบว่า Superbond C&B และ Multilink Speed มีค่าผลต่างเฉลี่ยของสีน้อยกว่า Nexus 3 และ Variolink Veneer แต่มีค่าผลต่างเฉลี่ยของสีมากกว่า Clearfil SA Luting และ Panavia F2.0 อย่างมีนัยสำคัญทางสถิติ ($p \leq 0.05$) ดังแสดงในภาพที่ 20



ภาพที่ 20 แสดงค่าผลต่างเฉลี่ยของสีก่อนกับหลังการรวมคร่าวันบุหรี่ (ΔE_{12})

ต่อมามีค่าเฉลี่ยที่น้ำหนักตัวอย่างมาทำความสะอาดคราบคริสตัลในกระบวนการคริสตัลหัวฟันหรือ พบร่วมกับหัวฟันทำความสะอาดคราบคริสตัลหัวฟันหรือ (ΔE_{13}) ของ Nexus 3, Variolink Veneer, Superbond C&B, Clearfil SA Luting, Panavia F2.0 และ Multilink Speed มีค่า 3.69 ± 0.43 , 2.86 ± 0.47 , 2.74 ± 0.40 , 0.85 ± 0.41 , 1.85 ± 0.40 และ 2.34 ± 0.74 หน่วย ตามลำดับ แสดงดังตารางที่ 2 และเมื่อนำค่าผลต่างเฉลี่ยของสีก่อนการรวมคริสตัลหัวฟันทำความสะอาดคราบคริสตัลหัวฟันหรือ (ΔE_{13}) ของแต่ละผลิตภัณฑ์ของเรซินซีเมนต์ไปทดสอบการกระจายของข้อมูล พบร่วมกับการกระจายของข้อมูลเป็นการกระจายแบบปกติ ($p > 0.05$) ในทุกผลิตภัณฑ์ สถิติที่ใช้ในการวิเคราะห์ข้อมูลจึงใช้สถิติพารามิตริกซ์

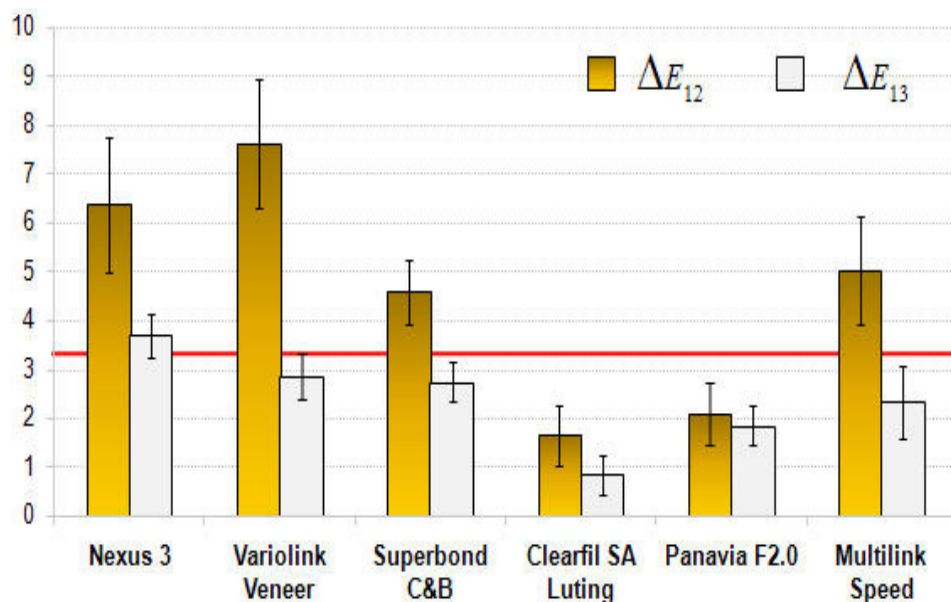
เมื่อนำค่าผลต่างเฉลี่ยของสีก่อนการรวมคริสตัลหัวฟันทำความสะอาดคราบคริสตัลหัวฟันหรือ (ΔE_{13}) มาวิเคราะห์ด้วยสถิติการวิเคราะห์ความแปรปรวนทางเดียว พบร่วมมีค่าผลต่างเฉลี่ยของสีของเรซินซีเมนต์แตกต่างกันอย่างน้อย 2 กลุ่ม ($p < 0.0001$) จึงทำการวิเคราะห์เบรียบเทียบรายคู่ ภายหลังด้วยการทดสอบแบบ HSD ของทู基 พบร่วมว่า Nexus 3 มีค่าผลต่างเฉลี่ยของสีมากกว่าเรซินซีเมนต์ผลิตภัณฑ์อื่น ๆ และ Clearfil SA Luting มีค่าผลต่างเฉลี่ยของสีน้อยกว่าเรซินซีเมนต์ผลิตภัณฑ์อื่นอย่างมีนัยสำคัญทางสถิติ ($p \leq 0.05$) ดังแสดงในภาพที่ 21



ภาพที่ 21 แสดงค่าผลต่างเฉลี่ยของสีระหว่างก่อนการรวมคริสตัลหัวฟันหรือ กับหัวฟันทำความสะอาดคราบคริสตัลหัวฟันหรือ (ΔE_{13})

4.2.3 การทดสอบความแตกต่างระหว่างค่าผลต่างเฉลี่ยของสีก่อนกับหลังการรวมครามบุหรี่ (ΔE_{12}) และค่าผลต่างเฉลี่ยของสีก่อนการรวมครามบุหรี่กับหลังทำความสะอาดคราบครามบุหรี่ (ΔE_{13}) ในเรซินซีเมนต์แต่ละผลิตภัณฑ์

จากภาพที่ 22 และตารางที่ 7 พบร่วมกันว่าค่าผลต่างเฉลี่ยของสีก่อนกับหลังการรวมครามบุหรี่ (ΔE_{12}) ในเรซินซีเมนต์ทุกผลิตภัณฑ์มีค่ามากกว่าค่าผลต่างเฉลี่ยของสีก่อนการรวมครามบุหรี่กับหลังทำความสะอาดคราบครามบุหรี่ (ΔE_{13}) อย่างมีนัยสำคัญทางสถิติ ($p \leq 0.05$)



ภาพที่ 22 แสดงผลต่างเฉลี่ยของสีก่อนกับหลังการรวมครามบุหรี่ (ΔE_{12}) และผลต่างเฉลี่ยของสีก่อนการรวมครามบุหรี่กับหลังทำความสะอาดคราบครามบุหรี่ (ΔE_{13}) ในเรซินซีเมนต์แต่ละผลิตภัณฑ์

ตารางที่ 7 แสดงผลการทดสอบความแตกต่างระหว่างค่าผลต่างเฉลี่ยของสีก่อนกับหลังการรวมคัณบุหรี่ (ΔE_{12}) และผลต่างเฉลี่ยของสีก่อนการรวมคัณบุหรี่กับหลังทำการลดความร้าบคัณบุหรี่ (ΔE_{13}) ในเรซินซีเมนต์เต็ลลิฟลิกัลท์ ด้วยวิธีการวิเคราะห์แบบรายคู่ภายหลังแบบแพร์เซมนเปิด ที-test

Paired Samples Test

Cement	Paired Differences			t	df	Sig. (2-tailed)	
	Mean	Std. Deviation	Std. Error Mean				
Nexus 3	Pair $\Delta E_{12} - \Delta E_{13}$	2.684277626	1.119896778	.354142456	7.580	9	.000
Variolink Veneer	Pair $\Delta E_{12} - \Delta E_{13}$	4.752167112	1.107471551	.350213255	13.569	9	.000
Superbond C&B	Pair $\Delta E_{12} - \Delta E_{13}$	1.847054888	.475288064	.150299283	12.289	9	.000
Clearfil SA	Pair $\Delta E_{12} - \Delta E_{13}$.804341318	.728363596	.230328793	3.492	9	.007
Panavia F2.0	Pair $\Delta E_{12} - \Delta E_{13}$.234837134	.318361085	.100674615	2.333	9	.045
Multilink Speed	Pair $\Delta E_{12} - \Delta E_{13}$	2.695312738	.983615789	.311046624	8.665	9	.000

บทที่ 5

สรุปผลการวิจัย อภิปรายผล และข้อเสนอแนะ

5.1 อภิปรายระเบียบวิธีการวิจัย

เรซินซีเมนต์แต่ละผลิตภัณฑ์ที่เลือกนำมาทดสอบในงานวิจัย เป็นเรซินซีเมนต์ที่วางจำหน่ายในประเทศไทย โดยบางผลิตภัณฑ์ยังไม่ได้มีการศึกษาสมบัติต่าง ๆ เนื่องจากบริษัทผู้ผลิตเริ่มน้ำว้างจำหน่ายได้ไม่นาน ส่วนในการเลือกสีของเรซินซีเมนต์ที่นำมาทดสอบ ผู้วิจัยได้เลือกนำสีที่มีความ似มากที่สุดของเรซินซีเมนต์ในแต่ละผลิตภัณฑ์ซึ่งสามารถเปลี่ยนสีได้ง่ายกว่าสีอื่น ๆ ของเรซินซีเมนต์ [17, 52] แต่พบว่าสีของ Clearfil SA Luting และ Panavia F2.0 มีค่า b^* มากกว่าเรซินซีเมนต์ผลิตภัณฑ์อื่น ๆ ส่งผลให้มีความเป็นสีเหลืองมากกว่า ขณะที่ Superbond C&B มีความสว่างสูงที่สุดและมีความเป็นสีเหลืองที่น้อยที่สุด ซึ่งอาจส่งผลต่อค่าของสีที่ทำการวัดได้

ในงานวิจัยนี้ใช้ชิ้นตัวอย่างเรซินซีเมนต์ที่มีความหนา 1 มิลลิเมตร มาทำการทดสอบ แต่ในทางคลินิกเรซินซีเมนต์ที่นำมาใช้ยึดชิ้นตัวอย่างจะมีความหนาประมาณ 150 นาโนเมตร [9] ดังนั้นความหนาที่น้อยกว่าของเรซินซีเมนต์ในทางคลินิก อาจส่งผลให้มีการเปลี่ยนสีที่น้อยกว่าชิ้นตัวอย่างเรซินซีเมนต์ที่นำมาทดสอบได้ [2] รวมทั้งการทดสอบนี้เป็นการวัดการเปลี่ยนสีของเรซินซีเมนต์เพียงองค์ประกอบเดียวเท่านั้น ซึ่งเมื่อนำเรซินซีเมนต์มาใช้งานในทางคลินิก เรซินซีเมนต์จะถูกปิดทับด้วยชิ้นวัสดุบุรณะที่มีความทึบแสงที่แตกต่างกันไป ชิ้นวัสดุบุรณะอาจสามารถปิดบังการเปลี่ยนสีของเรซินซีเมนต์ที่ถูกปิดทับได้ จึงทำให้การเปลี่ยนสีของเรซินซีเมนต์อาจมีผลกระทบน้อยลงต่อความสวยงามโดยรวมของวัสดุบุรณะฟัน [17]

ชิ้นตัวอย่างเรซินซีเมนต์ที่นำมาทดสอบหลังจากก่อตัวอย่างสมบูรณ์แล้ว จะถูกนำมาวัดสี และผ่านการทดสอบโดยไม่ผ่านการขัดแต่ง เนื่องจากผู้วิจัยต้องการให้มีสภาพใกล้เคียงกับในทางคลินิก ซึ่งเมื่อนำเรซินซีเมนต์มาใช้งาน เรซินซีเมนต์จะอยู่ใต้และตามขอบของวัสดุบุรณะ โดยจะมีเพียงการกำจัดเรซินซีเมนต์ส่วนเกินออก โดยไม่ได้มีการขัดแต่ง และเพื่อให้สภาพของชิ้นตัวอย่างเรซินซีเมนต์ใกล้เคียงกันมากที่สุด ซึ่งเทคนิคการขัดแต่งอาจจะทำให้มีการเปลี่ยนแปลงของผิวน้ำขึ้นชิ้นตัวอย่าง [53] ซึ่งอาจส่งผลของการวัดสีได้

การใช้เครื่องวัดสีสามารถวัดการเปลี่ยนสีที่เปลี่ยนแปลงเพียงเล็กน้อยได้ดีกว่าการสังเกตด้วยสายตาตามนุชช์ย์ [17] ดังนั้นจึงนิยมใช้เครื่องวัดสีในการวัดค่าของสีที่แสดงเป็นตัวเลขสี [15] ซึ่งในหลักการศึกษาใช้ค่าผลต่างของสีที่น้อยกว่า 3.3 หน่วย แสดงถึงสายตามนุชช์ย์ไม่สามารถสังเกตเห็นถึงการเปลี่ยนสีได้ [1, 12, 41, 45, 54]

ในการทดสอบเสถียรภาพของสีของเรซินชีเม็นต์จากการทดลองการปูนเปื้อนน้ำลายเที่ยมก่อนการเกิดปฏิกิริยาการก่อตัว หลังผ่านการเร่งอายุ จะใช้เหล็กพลังงานแสงชีนอนของเครื่องทดสอบการเร่งอายุ โดยหลอดไฟที่ให้แสงชีนอนจะมีการกระจายให้พลังงานที่ใกล้เคียงกับกับแสงในธรรมชาติในช่วงฤดูร้อนของแสงแดดตอนเที่ยงที่เมืองชิคาโก รัฐ אילลินอยส์ (Chicago, Illinois) โดยทางบริษัทผู้ผลิตของเครื่องทดสอบการเร่งอายุได้คำนวณเวลาในการเร่งอายุเป็นเวลา 300 ชั่วโมง เทียบเท่ากับเวลาในทางคลินิกเป็นเวลา 1 ปี [55]

ในการทดสอบเสถียรภาพของสีของเรซินชีเม็นต์จากการทดลองควนบุหรี่ ได้ใช้กล่องปิดผนึกสำหรับในการรวมควนบุหรี่เพื่อควบคุมปริมาณของควนบุหรี่ให้สม่ำเสมอและให้ทั่วถึงกันทั้งกล่อง ซึ่งปริมาณควนที่เข้ามากล่องตามมาตรฐานที่อย่างจะใกล้เคียงกัน โดยใช้มอเตอร์ดูดอากาศเครื่องเดียวกัน และมีอัตราการเผาไหม้ของบุหรี่ 50 - 70 วินาทีต่อวน รวมควนในกล่องนาน 6 นาที จุดบุหรี่ต่อเนื่องทั้งหมด 12 วน ซึ่งมีจำนวนมวนบุหรี่ใกล้เคียงกับการสำรวจปริมาณการสูบบุหรี่ของประชากรไทยคือเฉลี่ยประมาณ 10.6 มวนต่อวัน (รายงานการสำรวจสุขภาพประชาชนไทยโดยการตรวจร่างกายครั้งที่ 4 พ.ศ. 2551 – 2 สำนักงานสำรวจสุขภาพประชาชนไทย สถาบันวิจัยระบบสาธารณสุข)

การเปลี่ยนสีของเรซินชีเม็นต์จากการทดลองควนบุหรี่จะเป็นการทดสอบการเปลี่ยนสีที่เกิดจากปัจจัยภายนอก โดยหลังจากการเตรียมมีчинตัวอย่างเป็นเวลา 24 ชั่วโมงและทำการวัดสีครั้งแรก ผู้วิจัยเริ่มทำการรวมควนบุหรี่ให้กับชิ้นตัวอย่างและทำการทดสอบความสะอาดคราบควนบุหรี่ด้วยเครื่องอัลตราโซนิกตามลำดับขั้นตอนทันที เพื่อเป็นการลดปัจจัยของการเปลี่ยนสีจากปัจจัยภายนอกของเรซินชีเม็นต์ที่อาจจะเกิดขึ้นได้

5.2 อภิปรายผลการวิจัย

5.2.1 อภิปรายการทดสอบเสถียรภาพของสีของเรซินชีเม็นต์ จากผลของการปูนเปื้อนน้ำลายเที่ยมก่อนการเกิดปฏิกิริยาการก่อตัว หลังผ่านการเร่งอายุ

หลังผ่านการเร่งอายุพบว่า Variolink Veneer ซึ่งเป็นเรซินชีเม็นต์ชนิดก่อตัวด้วยแสงที่ใช้แคมโพโรควินเป็นตัวเริ่มต้นของปฏิกิริยาและมีอะลิฟาติกเทอเทียรีโอมีนเป็นตัวเริ่มต้นปฏิกิริยา รวม จะมีการเปลี่ยนสีที่น้อยกว่า Clearfil SA Luting, Panavia F2.0 และ Multilink Speed ซึ่งเป็นเรซินชีเม็นต์ชนิดก่อตัวด้วยแสงร่วมกับปฏิกิริยาเคมี จะมีทั้งอะลิฟาติกเทอเทียรีโอมีนและอะโรมาติกเทอเทียรีโอมีนเพื่อใช้ในการเกิดปฏิกิริยาการก่อตัว โดยที่อะโรมาติกเทอเทียรีโอมีนที่หลงเหลืออยู่ในเรซินชีเม็นต์จะเกิดการออกซิไดส์และทำให้เกิดการเปลี่ยนสีได้มากกว่าอะลิฟาติกเทอเทียรีโอมีน เพราะฉะนั้นเรซินชีเม็นต์ชนิดก่อตัวด้วยปฏิกิริยาเคมีและเรซินชีเม็นต์ชนิดก่อตัวด้วยแสงร่วมกับปฏิกิริยาเคมี จะมีแนวโน้มในการเปลี่ยนสีมากกว่าเรซินชีเม็นต์ชนิดก่อตัวด้วยแสง

[2, 22] ซึ่งได้ผลใกล้เคียงกับการศึกษาของ Hekimoglu และคณะ [1] ที่พบว่าหลังจากผ่านการเร่งอายุ เรซินชีเมนต์ที่เป็นชนิดก่อตัวด้วยแสงมีเสถียรภาพของสีที่ดีกว่าเรซินชีเมนต์ชนิดก่อตัวด้วยแสงร่วมกับปฏิกิริยาเคมีและเรซินชีเมนต์ชนิดก่อตัวด้วยปฏิกิริยาเคมี ส่วน Noie และคณะ [17] พบร่างการเปลี่ยนสีหลังผ่านการเร่งอายุระหว่างเรซินชีเมนต์ชนิดก่อตัวด้วยแสงและชนิดก่อตัวด้วยแสงร่วมกับปฏิกิริยาเคมีมีความแตกต่างกันอย่างมีนัยสำคัญ แต่สายตามนุชย์ไม่สามารถสังเกตเห็นถึงการเปลี่ยนสีของเรซินชีเมนต์ทั้งสองชนิดได้

Nexus 3 เป็นเรซินชีเมนต์ที่มีทั้งระบบสองหลอดที่เป็นชนิดก่อตัวด้วยแสงร่วมกับปฏิกิริยาเคมี (dual-syringe dual-cure) ซึ่งประกอบด้วยหลอดที่เป็นสารตั้งต้นและหลอดที่เป็นสารเร่งปฏิกิริยา และระบบหลอดเดียวที่เป็นชนิดก่อตัวด้วยแสง (single-syringe light cure) ซึ่งมีเฉพาะสารตั้งต้นเท่านั้น ทางบริษัทผู้ผลิตได้ให้ข้อมูลว่า Nexus 3 มีเสถียรภาพของสีในระยะยาวที่ดีเนื่องจาก Nexus 3 ใช้ระบบการเกิดปฏิกิริยาเริดอกซ์ระบบใหม่ในการเริ่มปฏิกิริยาการก่อตัวแทนการใช้ระบบการเกิดปฏิกิริยาเริดอกซ์ที่ใช้เบนโซโอลเปอร์ออกไซด์และเอมีนในการเริ่มปฏิกิริยาการก่อตัว (BPO-free/amine-free redox initiator system) ซึ่งจากการวิจัยนี้ได้นำ Nexus 3 ชนิดก่อตัวด้วยแสงมาทำการทดสอบพบว่ามีการเปลี่ยนสีที่สายตามนุชย์ไม่สามารถสังเกตเห็นได้

Multilink เป็นเรซินชีเมนต์ชนิดก่อตัวด้วยปฏิกิริยาเคมี หมายความว่าเป็นเรซินที่มีโลหะเป็นองค์ประกอบซึ่งมีความทึบแสง หรือซึ่นตัวอย่างชนิดกระเบื้องล้วนที่แสงไม่สามารถผ่านได้หรือผ่านได้น้อย ต่อมามาผู้ผลิตได้พัฒนาผลิตภัณฑ์เป็น Multilink Speed ซึ่งคล้ายกับ Multilink คือเป็นเรซินชีเมนต์ชนิดก่อตัวด้วยปฏิกิริยาเคมี แต่สามารถใช้แสงเป็นทางเลือกในการก่อตัวของเรซินชีเมนต์ให้เร็วขึ้น (the fast self-cure dental resin cement with light curing option) Multilink Speed จึงสามารถเป็นได้ทั้งชนิดก่อตัวด้วยปฏิกิริยาเคมีหรือชนิดก่อตัวด้วยแสงร่วมกับปฏิกิริยาเคมี ทำให้ Multilink Speed มีอะโรมาติกเทอเทียรีเอมีนเป็นองค์ประกอบหลักที่สำคัญในการเร่งปฏิกิริยาการก่อตัว ดังนั้นอะโรมาติกเทอเทียรีเอมีนที่หลงเหลืออยู่มากจึงเกิดการออกซิไดส์และทำให้เกิดการเปลี่ยนสีที่สังเกตเห็นได้ชัดเป็นอย่างมาก ($\Delta E_N = 30.05$, $\Delta E_S = 28.55$) หลังผ่านการเร่งอายุ ดังแสดงในภาพที่ 23 และ 24

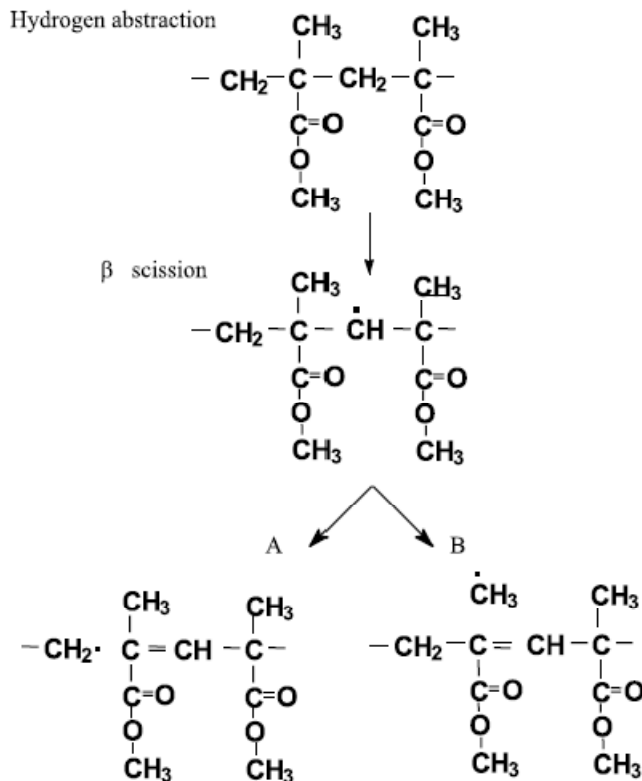


ภาพที่ 23 แสดงขั้นตอนการเร่งอายุ
ก่อนผ่านการเร่งอายุ



ภาพที่ 24 แสดงขั้นตอนการเร่งอายุ
หลังผ่านการเร่งอายุ

โดยส่วนมากเรซินซีเมนต์ชนิดก่อตัวด้วยปฏิกิริยาเคมีหรือเรซินซีเมนต์ชนิดก่อตัวด้วยแสงร่วมกับปฏิกิริยาเคมี จำพวกเทอเทียรีเอมีนเป็นตัวเริ่มปฏิกิริยาร่วมหรือเป็นตัวเร่งปฏิกิริยา แต่ Superbond C&B เป็นอะคริลิคเรซินซีเมนต์ชนิดก่อตัวด้วยปฏิกิริยาเคมีโดยมีเมทธิคซ์เป็นพอลิเมธิลเมทาคริเลต (poly methyl methacrylate) ซึ่งใช้ไตรเอ็นบิวทิลบอร์เอนในอะซิโติน (Tri-n-butyl borane/acetone) หรือทีบีบี (TBB) เป็นตัวตั้งต้นปฏิกิริยา ซึ่งจะถูกกระตุ้นด้วยออกซิเจนเพื่อให้เกิดเป็นอนุมูลอิสระในการเกิดปฏิกิริยาพอลิเมธิลเมทาคริเลต Superbond C&B จึงไม่มีเอมีนเป็นองค์ประกอบที่เป็นสาเหตุให้เกิดการเปลี่ยนสีของเรซินซีเมนต์ได้ โดยการทดสอบของ Tanoue และคณะ [56] พบว่า Superbond C&B มีค่าผลต่างของสีประมาณ 1.3-1.8 หน่วยหลังจากนำไปแข็งตัวแล้วเป็นเวลา 24 ชั่วโมงที่อุณหภูมิ 37 องศาเซลเซียส แต่จากการทดสอบนี้พบว่า Superbond C&B ทั้งกลุ่มที่ไม่ป่นเปื้อนและป่นเปื้อนน้ำลายเทียมก่อนการเกิดปฏิกิริยาการก่อตัว มีการเปลี่ยนสีที่สายตามนุชัยสามารถสังเกตเห็นได้ ($\Delta E_N = 6.61$, $\Delta E_S = 7.05$) อาจเนื่องมาจากการเสื่อมสลายของพอลิเมธิลเมทาคริเลตในเมทธิคซ์ของ Superbond C&B โดยมีการศึกษาพบว่าเมื่อพอลิเมธิลเมทาคริเลตผ่านการเร่งอายุจากแสงซึ่งอนหรือรังสีอัลตราไวโอเลต จะเกิดการเสื่อมสลายของพอลิเมธิลเมทาคริเลต โดยที่ไฮโดรเจนจะหลุดออกจากสายโซ่พอลิเมธิลเมทาคริเลต (hydrogen abstraction) ทำให้เกิดอนุมูลอิสระ (free radical) ในสายโซ่พอลิเมธิลเมทาคริเลต ต่อมาก็เกิดการแยกกันของสายโซ่โมเลกุล (chain breaking) หรือเกิดการตัดหมู่เมทธิล (methyl group scission) ซึ่งการเสื่อมสลายที่เกิดขึ้นทำให้ส่งผลกระทบต่อคุณสมบัติของพอลิเมธิลเมทาคริเลตได้ [57, 58] ดังแสดงในภาพที่ 20 ส่วน Ahmed [59] พบว่าหลังจากได้รับรังสีอัลตราไวโอเลต ส่วนของพอลิเมธิลเมทาคริเลตก็เกิดกระบวนการกำจัดกลุ่มข้าง (side chain elimination) และทำให้พอลิเมธิลเมทาคริเลตมีค่าดัชนีการหักเหแสง (refractive index) ที่เปลี่ยนแปลงไป ซึ่งการเสื่อมสลายของพอลิเมธิลเมทาคริเลตอาจเป็นสาเหตุให้ Superbond C&B มีการเปลี่ยนสีไปได้



ภาพที่ 20 แสดงขั้นตอนการเสื่อมสภาพของพอลิเมทิลเมทาคริเลต
(ที่มา: Colom และคณะ. Properties of PMMA artificially aged.

Journal of Non-Crystalline Solids. 287 (2001): 308-312.)

ในงานวิจัยนี้พบว่า Superbond C&B และ Multilink Speed มีการเปลี่ยนสีอย่างเห็นได้ชัด ($\Delta E > 6$) หลังจากผ่านการเร่งอายุ โดยการเปลี่ยนสีเป็นผลจากการเปลี่ยนแปลงของค่า b^* ที่มากกว่าการเปลี่ยนแปลงของ L^* และ a^* ซึ่งมีแนวโน้มใกล้เคียงกับการศึกษาการเปลี่ยนสีของเรซินคอมโพสิตหลังจากผ่านการเร่งอายุ [14] และใกล้เคียงกับการศึกษาการเปลี่ยนสีของเรซินซีเมนต์ของ Noie และคณะ [17] ในขณะที่การศึกษาของ Setz และ Engel [11] ที่พบว่าวีเนียร์เรซินคอมโพสิตที่นำทดสอบมีการเปลี่ยนแปลงของค่า b^* และค่าผลต่างของสีอย่างมีนัยสำคัญหลังการทดสอบเป็นเวลา 1 ปี และมีการเปลี่ยนแปลงของค่า L^* และ a^* อย่างไม่มีนัยสำคัญหลังการทดสอบเป็นเวลา 2 ปี ส่วนการศึกษาอื่น ๆ พบว่าเรซินคอมโพสิตมีความสว่างลดลง แต่ความเข้มและความทึบแสงมีค่าสูงขึ้น [55, 60]

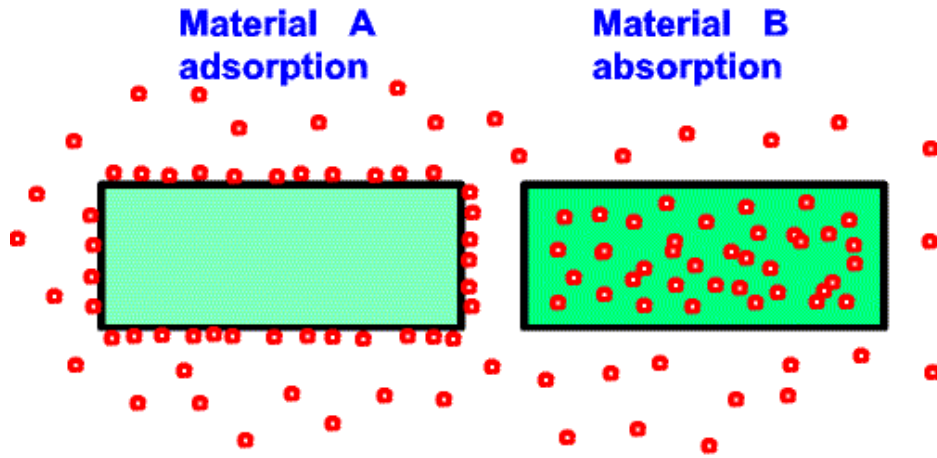
ดึงแม้ว่าสุดปะเกทเรซินคอมโพสิตและเรซินซีเมนต์จะมีส่วนประกอบที่คล้ายคลึงกัน คือมีเรซินเมทริกซ์ และวัสดุอัดแทรกอนินทรีย์ แต่เรซินซีเมนต์จะมีปริมาณเรซินเมทริกซ์ต่อปริมาตรวัสดุอัดแทรกอนินทรีย์ที่มากกว่าสุดปะเกทเรซินคอมโพสิต ดังนั้นเรซินซีเมนต์อาจจะมีการเปลี่ยนสีมากกว่าเรซินคอมโพสิต เนื่องจากมีปริมาณของเรซินเมทริกซ์ที่มากกว่า

มีหลายการศึกษาพบว่าการเปลี่ยนสีของวัสดุประเภทเรซินมีสาเหตุจากการแย่ร้า [26, 27, 45] โดยน้ำเป็นสาเหตุสำคัญที่ทำให้เกิดการย่อยสลายทางเคมี (chemical degradation) ของวัสดุประเภทเรซิน ซึ่งส่งผลให้เกิดทั้งปฏิกิริยาไฮโดรไลติก (hydrolytic reaction) และการบูรณาการดูดซึมของน้ำ (water absorption) จะส่งผลต่อการเปลี่ยนสีของเรซินซีเมนต์ที่ทำการทดสอบหลังการยึดติดเป็นเวลา 3 วัน เนื่องจากการดูดซึมของน้ำอาจทำให้มีการเปลี่ยนแปลงค่าดัชนีหักเหของเรซินซีเมนต์ได้ ในขณะที่ Satou และคณะ [29] พบร่วมกันว่าเมื่อวัสดุที่มีการเปลี่ยนแปลงไปของค่าดัชนีหักเห จะทำให้เกิดการกระจายแสง (light scattering) ที่มากขึ้น ซึ่งส่งให้วัสดุจะมีความใสลดลง โดยในงานวิจัยนี้พบว่าชิ้นตัวอย่างได้แซมน้ำปราศจากออกอน รวมทั้งชิ้นตัวอย่างได้สัมผัสน้ำและความชื้นระหว่างการทดสอบในการเร่งอายุ จึงอาจส่งผลต่อเสถียรภาพของสีของเรซินซีเมนต์ได้เช่นกัน

จากการศึกษาผลกราฟบทบന្លឹមกับการปนเปื้อนน้ำลาย พบร่วมกันว่าส่วนใหญ่ส่งผลให้การยึดติดของเรซินซีเมนต์กับเนื้อฟันลดน้อยลงอย่างมีนัยสำคัญ [63] ส่วนผลการทดสอบนี้พบว่าการปนเปื้อนน้ำลายเทียมอาจส่งผลให้เรซินซีเมนต์มีสีที่เปลี่ยนแปลงไปเล็กน้อยเมื่อเทียบชิ้นตัวอย่างที่ไม่ได้ปนเปื้อนน้ำลายเทียม และพบว่าการปนเปื้อนน้ำลายเทียมไม่ส่งผลกระทบต่อเสถียรภาพของสีในระยะยาวของเรซินซีเมนต์ แต่ไม่สามารถตรวจสอบได้ว่าการปนเปื้อนน้ำลายเทียมจะมีผลกระทบต่อกลไกการก่อตัวเป็นพอลิเมอร์ของเรซินซีเมนต์หรือไม่

5.2.2 อภิปรายการทดสอบเสถียรภาพของสีของเรซินซีเมนต์จากผลของควันบุหรี่

ในการนำเรซินซีเมนต์มาใช้งานในทางคลินิก ถึงแม้ว่าเรซินซีเมนต์จะถูกปิดทับด้วยชิ้นวัสดุบุราวนะ แต่เรซินซีเมนต์บุราวนะขอบของชิ้นวัสดุบุราวนะจะปรากฏออกมารีดสัมผัสกับสภาวะในช่องปาก และสามารถเกิดการเปลี่ยนสีได้ [2] Um และ Ruyter [64] ได้ศึกษาการติดสีของวัสดุประเภทเรซิน เมื่อแซมน้ำชา กาแฟจากการกรอง (filtered coffee) หรือกาแฟจากการต้ม (boiled coffee) พบร่วมกันว่าชิ้นตัวอย่างติดสีกากกาแฟกว่าน้ำชา โดยที่คราบสีจากน้ำชาเกิดจากการดูดซับ (adsorption) เฉพาะบุราวนะพื้นผิวของเรซิน ส่วนคราบสีจากการกาแฟเกิดการติดสีทั้งจากการดูดซับบุราวนะพื้นผิวและเกิดการดูดซึม (absorption) แทรกเข้าไปในเรซินได้ (การดูดซับและการดูดซึมได้แสดงไว้ดังภาพที่ 23) เนื่องจากกาแฟมีสมบัติความเป็นขันน้อยกว่าน้ำชา ซึ่งส่งผลให้คราบสีจากกาแฟสามารถเข้ากันได้กับเมทริกซ์พอลิเมอร์ของเรซินได้ ดังนั้นสีจากคราบควันบุหรี่อาจจะแทรกซึมไปในเรซินซีเมนต์ที่บุราวนะขอบของวัสดุบุราวนะได้เช่นกัน เนื่องจากสมบัติความไม่มีขันของน้ำมันทาร์ในบุหรี่ซึ่งเป็นสารที่ทำให้เกิดการติดสีสามารถเกิดการดูดซับบุราวนะพื้นผิวและเกิดการดูดซึมแทรกเข้าไปในเรซินซีเมนต์ได้เช่นกัน



ภาพที่ 26 แสดงการดูดซึบ (Adsorption) และการดูดซึม (Absorption)

Burrow และ Makinson [65] ได้ศึกษาทดสอบเรซินคอมโพสิตชนิดก่อตัวด้วยแสง เมื่อออยู่ในสภาพแวดล้อมต่าง ๆ และสรุปว่าการเปลี่ยนสีของเรซินคอมโพสิตชนิดก่อตัวด้วยแสงเกิดจาก การติดสีของสิ่งที่รับประทานไปมากกว่าการเปลี่ยนแปลงของปัจจัยภายในองค์ประกอบเรซินคอมโพสิตจากการอยู่ในสภาพแวดล้อมต่าง ๆ

ในการศึกษานี้พบว่าค่าผลต่างเฉลี่ยของสีก่อนกับหลังการรวมครั้งบุหรี่ (ΔE_{12}) ของเรซินชีเมนต์ที่นำมาทำการทดสอบยกเว้น Clearfil SA Luting และ Panavia F2.0 มีค่ามากกว่า 3.3 หน่วย แสดงว่าคราบของครั้งบุหรี่ส่งผลให้เกิดการเปลี่ยนสีที่สายตามนุษย์สามารถสังเกตเห็นได้ ในขณะที่ Wasilewski และคณะ [52] ได้ทำการทดสอบเรซินคอมโพสิตโดยผ่านการรวมครั้งบุหรี่ ยี่ห้อ Marlboro จำนวน 20 มวนเป็นเวลาทั้งหมด 40 นาที พบร่ว่าเรซินคอมโพสิตมีค่าผลต่างของสีประมาณ 7.0-18.0 หน่วย ในกรณีนี้พบว่าครั้งบุหรี่มีผลทำให้มีค่า b^* เฉลี่ยสูงขึ้นและมีค่า L^* เฉลี่ยลดลง แต่มีผลต่อค่า a^* เฉลี่ยค่อนข้างน้อย ทำให้ขึ้นตัวอย่างเรซินชีเมนต์มีความสว่างลดลง และความเป็นสีเหลืองมากขึ้น ซึ่งใกล้เคียงกับการศึกษาอื่น ๆ ที่ทดสอบการติดสีจากคราบครั้งบุหรี่ในเรซินคอมโพสิต [66, 67] ในขณะที่ Mathias และคณะ [68] สรุปว่าเรซินคอมโพสิตที่นำมาทดสอบการติดสีร่วมกันระหว่างครั้งบุหรี่กับเครื่องดื่มต่าง ๆ จะมีความสว่างลดลง และมีความเป็นสีแดงมากขึ้น

Clearfil SA Luting และ Panavia F2.0 มีค่าผลต่างเฉลี่ยของสีก่อนกับหลังการรวมครั้งบุหรี่ (ΔE_{12}) น้อยกว่า 3.3 หน่วย ซึ่งไม่สามารถสังเกตเห็นถึงการเปลี่ยนสีของเรซินชีเมนต์หลังรวมครั้งบุหรี่ด้วยสายตามนุษย์ได้ สาเหตุประการหนึ่งเกิดจากคราบครั้งบุหรี่ส่งผลให้ค่า b^* เฉลี่ยของ Clearfil SA Luting และ Panavia F2.0 สูงขึ้นเพียงเล็กน้อยเมื่อเทียบกับเรซินชีเมนต์ผลิตภัณฑ์อื่น เพราสีของ Clearfil SA Luting และ Panavia F2.0 ที่เลือกนำมาทดสอบมีความเป็นสีเหลืองมากกว่าเรซินชีเมนต์ผลิตภัณฑ์อื่น ดังนั้นสีของเรซินชีเมนต์ในแต่ละผลิตภัณฑ์ที่นำมาเลือกใช้จึงอาจเป็นปัจจัยหนึ่งในการเปลี่ยนสีด้วย

หลังจากนำชิ้นตัวอย่างมาทำความสะอาดคราบครั้งบุหรี่ด้วยเครื่องอัดตราโซนิก พบว่า เรซินชีเมนต์ที่นำมาทดสอบมีการเปลี่ยนสีที่น้อยกว่า 3.3 หน่วยเมื่อเปรียบเทียบกับก่อนการ รวมครั้งบุหรี่ ซึ่งสายตามนุษย์ไม่สามารถเห็นการเปลี่ยนสีได้ ยกเว้น Nexus 3 ที่มีการเปลี่ยนสีเพียงเล็กน้อย ($\Delta E_{13}=3.69$) และจากการทดสอบพบว่าการทำความสะอาดคราบครั้งบุหรี่ด้วย เครื่องอัดตราโซนิก ทำให้คราบครั้งบุหรี่ที่ติดอยู่กับชิ้นตัวอย่างลดน้อยลงอย่างมีนัยสำคัญ ในเรซินชีเมนต์ทั้งหมดที่นำมาทำการทดสอบ ซึ่งส่งผลให้ชิ้นตัวอย่างมีความสว่างมากขึ้น และมีความเป็น สีเหลืองลดน้อยลง

น้ำมันทาร์เป็นองค์ประกอบหลักในบุหรี่ที่ทำให้เกิดการติดสีจากคราบครั้งบุหรี่ได้ โดย น้ำมันทาร์มีลักษณะเป็นละอองเหลวเหนียวสีน้ำตาลคล้ำยาน้ำมันดิน เกิดจากการเผาไหม้ของใบ ยาสูบ กระดาษมวน และสิ่งแปรรูปломอื่นๆ ในบุหรี่ หลังจากการทดสอบรวมครั้งบุหรี่จะพบว่า คราบทาร์ส่วนหนึ่งจะติดอยู่บริเวณท่ออย่างที่ดูดครั้งบุหรี่และบริเวณด้านในของกล่องสำหรับ รวมครั้งบุหรี่ (ภาพที่ 27) ซึ่งอาจส่งผลให้มีการติดสีบนชิ้นตัวอย่างเรซินชีเมนต์น้อยลงกว่าในสภาพ ทางคลินิกที่เกิดขึ้นจริงได้



ภาพที่ 27 แสดงคราบน้ำมันทาร์ที่ติดบริเวณท่ออย่างที่ดูดครั้งบุหรี่และกล่องสำหรับรวมครั้งบุหรี่

5.2.3 อภิปรายการทดสอบเสถียรภาพของสีของเรซินชีเมนต์จากการทดสอบตอนที่หนึ่ง และตอนที่สอง

ในงานวิจัยนี้จะแบ่งการทดสอบออกเป็นสองตอน โดยการทดสอบตอนที่หนึ่งซึ่งทดสอบ เสถียรภาพของสีของเรซินชีเมนต์จากผลของการป่นเปื้อนน้ำลายเทียมเป็นการทดสอบการเปลี่ยน สีจากปัจจัยภายใน ส่วนการทดสอบตอนที่สองซึ่งทดสอบเสถียรภาพของสีของเรซินชีเมนต์จากผล ของครั้งบุหรี่เป็นการทดสอบสีจากปัจจัยภายนอก

เมื่อพิจารณาจากการทดสอบที่ที่นี่และตอนที่สอง จะพบว่า Clearfil SA Luting และ Panavia F2.0 เป็นเรซินซีเมนต์ที่เหมาะสมในการนำมาพิจารณาเลือกใช้ เนื่องจากมี เลลี่ยรภาพของสีที่ดีจากผลการทดสอบทั้งสองตอน

5.3 สรุปผลการวิจัย

5.3.1 ตอนที่หนึ่ง: การทดสอบเสถียรภาพของสีของเรซินซีเมนต์ จากผลของการ ปนเปื้อนน้ำลายเทียมก่อนการเกิดปฏิกิริยาการก่อตัว หลังผ่านการเร่งอายุ

1. กลุ่มเรซินซีเมนต์ชนิดก่อตัวด้วยแสงมีการเปลี่ยนสีที่น้อยกว่ากลุ่มเรซินซีเมนต์ ชนิดก่อตัวด้วยแสงร่วมกับปฏิกิริยาเคมี และกลุ่มเรซินซีเมนต์ชนิดก่อตัวด้วย ปฏิกิริยาเคมี
2. หลังจากนำมาผ่านการเร่งอายุ Superbond C&B และ Multilink Speed มีการ เปลี่ยนสีอย่างเห็นได้ชัด โดยการเปลี่ยนสีเป็นผลจากการเปลี่ยนแปลงของค่า b^* ที่มากกว่าการเปลี่ยนแปลงของ L^* และ a^*
3. การปนเปื้อนน้ำลายเทียมไม่มีผลกระทบต่อเสถียรภาพของสีของเรซินซีเมนต์

5.3.2 ตอนที่สอง : การทดสอบเสถียรภาพของสีของเรซินซีเมนต์จากผลของครัวนบุหรี่

1. หลังจากผ่านการรวมครัวนบุหรี่ พบร่วมกันที่สามารถสังเกตเห็นถึงการเปลี่ยนสีของเรซิน ซีเมนต์ด้วยสายตามนุชย์ได้ ($\Delta E_{12} \geq 3.3$) ยกเว้น Clearfil SA Luting และ Panavia F2.0
2. หลังจากผ่านการทำความสะอาดคราบครัวนบุหรี่ด้วยเครื่องอัลตราโซนิก พบร่วมกันที่ สามารถสังเกตเห็นถึงการเปลี่ยนสีของเรซินซีเมนต์ด้วยสายตามนุชย์ได้ เมื่อ เปรียบเทียบกับก่อนการรวมครัวนบุหรี่ ยกเว้น Nexus 3 ที่มีการเปลี่ยนสีเพียง เล็กน้อย
3. คราบครัวนบุหรี่มีผลต่อเสถียรภาพของสีของเรซินซีเมนต์ที่นำมาทดสอบ โดยมีผล ทำให้ค่า b^* เนลี่ยสูงขึ้นและค่า L^* เนลี่ยลดลง ซึ่งทำให้เรซินซีเมนต์มีความเป็นสี เหลืองมากขึ้น และมีความสว่างลดลง
4. การทำความสะอาดด้วยเครื่องอัลตราโซนิก สามารถลดการติดสีของคราบครัวนบุหรี่ในเรซินซีเมนต์ที่นำมาทดสอบได้

5.4 ข้อเสนอแนะ

ถ้าชิ้นตัวอย่างเรซินซีเมนต์ที่ผ่านการรวมคwanบุหรี่ได้รับการทำความสะอาดด้วยเวลาที่มากขึ้น หรือโดยการทำความสะอาดด้วยวิธีอื่น ๆ ครบจากคwanบุหรี่ที่ติดอยู่ที่ชิ้นตัวอย่างอาจจะลดน้อยลง ดังนั้นควรจะมีการศึกษาเพิ่มเติมจากผลของการรวมคwanบุหรี่ที่มากขึ้น หรือการทำความสะอาดครบจากคwanบุหรี่ด้วยวิธีอื่น ๆ เช่น การเบรงฟัน การใช้น้ำยาบ้วนปาก หรือการขัดครบสี

รายการอ้างอิง

- [1] Hekimoglu, C., Anil, N. and Etikan, I. Effect of accelerated aging on the color stability of cemented laminate veneers. Int J Prosthodont. 13 (Jan-Feb 2000): 29-33.
- [2] Lu, H. and Powers, J.M. Color stability of resin cements after accelerated aging. Am J Dent. 17 (Oct 2004): 354-8.
- [3] Anusavice, K.J. Phillips' Science of dental materials. 11th ed. Philadelphia: Saunder Company, 2003.
- [4] McComb, D. Adhesive luting cements--classes, criteria, and usage. Compend Contin Educ Dent. 17 (Aug 1996): 759-62,764.
- [5] Cook, W.D. Factors affecting the depth of cure of UV-polymerized composites. J Dent Res. 59 (May 1980): 800-8.
- [6] Rueggeberg, F.A. and Craig, R.G. Correlation of parameters used to estimate monomer conversion in a light-cured composite. J Dent Res. 67 (Jun 1988): 932-7.
- [7] Ruyter, I.E. and Oysaed, H. Conversion in different depths of ultraviolet and visible light activated composite materials. Acta Odontol Scand. 40 (1982): 179-92.
- [8] Breeding, L.C., Dixon, D.L. and Caughman, W.F. The curing potential of light-activated composite resin luting agents. J Prosthet Dent. 65 (Apr 1991): 512-8.
- [9] O'Keefe, K.L., Pease, P.L. and Herrin, H.K. Variables affecting the spectral transmittance of light through porcelain veneer samples. J Prosthet Dent. 66 (Oct 1991): 434-8.
- [10] Inokoshi, S., Burrow, M.F., Kataumi, M., Yamada, T. and Takatsu, T. Opacity and color changes of tooth-colored restorative materials. Oper Dent. 21 (Mar-Apr 1996): 73-80.

- [11] Setz, J. and Engel, E. In vivo color stability of resin-veneered telescopic dentures: a double blind pilot study. J Prosthet Dent. 77 (May 1997): 486-91.
- [12] Douglas, R.D. Color stability of new-generation indirect resins for prosthodontic application. J Prosthet Dent. 83 (Feb 2000): 166-70.
- [13] Lee, Y.K., El Zawahry, M., Noaman, K.M. and Powers, J.M. Effect of mouthwash and accelerated aging on the color stability of esthetic restorative materials. Am J Dent. 13 (Jun 2000): 159-61.
- [14] Lee, Y.K. and Powers, J.M. Color and optical properties of resin-based composites for bleached teeth after polymerization and accelerated aging. Am J Dent. 14 (Dec 2001): 349-54.
- [15] Balderamos, L.P., O'Keefe, K.L. and Powers, J.M. Color accuracy of resin cements and try-in pastes. Int J Prosthodont. 10 (Mar-Apr 1997): 111-5.
- [16] Nathanson, D. and Banasr, F. Color stability of resin cements--an in vitro study. Pract Proced Aesthet Dent. 14 (Aug 2002): 449-55.
- [17] Noie, F., O'Keefe, K.L. and Powers, J.M. Color stability of resin cements after accelerated aging. Int J Prosthodont. 8 (Jan-Feb 1995): 51-5.
- [18] Koishi, Y., Tanoue, N., Atsuta, M. and Matsumura, H. Influence of visible-light exposure on colour stability of current dual-curable luting composites. J Oral Rehabil. 29 (Apr 2002): 387-93.
- [19] Braga, R.R., Ballester, R.Y. and Carrilho, M.R. Pilot study on the early shear strength of porcelain-dentin bonding using dual-cure cements. J Prosthet Dent. 81 (Mar 1999): 285-9.
- [20] Burke, F.J. and McCaughey, A.D. Resin luting materials: the current status. Dent Update. 20 (Apr 1993): 109-10,112-5.

- [21] El-Mowafy, O.M., Rubo, M.H. and el-Badrawy, W.A. Hardening of new resin cements cured through a ceramic inlay. Oper Dent. 24 (Jan-Feb 1999): 38-44.
- [22] Craig, R.G. and Power, J.M. restorative dental materials. 11th ed. St. Louis: The C.V. Mosby Company, Inc, 2002.
- [23] Nakabayashi, N. and Pashley, D.H. Hybridization of dental hard tissues. Tokyo: Quintessence books, 1998.
- [24] Wilson, N.H., Burke, F.J. and Mjor, I.A. Reasons for placement and replacement of restorations of direct restorative materials by a selected group of practitioners in the United Kingdom. Quintessence Int. 28 (Apr 1997): 245-8.
- [25] Raptis, C.N., Powers, J.M., Fan, P.L. and Yu, R. Staining of composite resins by cigarette smoke. J Oral Rehabil. 9 (Jul 1982): 367-71.
- [26] Asmussen, E. An accelerated test for color stability of restorative resins. Acta Odontol Scand. 39 (1981): 329-32.
- [27] Brauer, G.M. Color changes of composites on exposure to various energy sources. Dent Mater. 4 (Apr 1988): 55-9.
- [28] Asmussen, E. Factors affecting the color stability of restorative resins. Acta Odontol Scand. 41 (1983): 11-8.
- [29] Satou, N., Khan, A.M., Matsumae, I., Satou, J. and Shintani, H. In vitro color change of composite-based resins. Dent Mater. 5 (Nov 1989): 384-7.
- [30] Douglas, W.H. and Craig, R.G. Resistance to extrinsic strains by hydrophobic composite resin systems. J Dent Res. 61 (Jan 1982): 41-3.
- [31] Schulze, K.A., Marshall, S.J., Gansky, S.A. and Marshall, G.W. Color stability and hardness in dental composites after accelerated aging. Dent Mater. 19 (Nov 2003): 612-9.

- [32] Leinfelder, K.F., Sluder, T.B., Sockwell, C.L., Strickland, W.D. and Wall, J.T. Clinical evaluation of composite resins as anterior and posterior restorative materials. J Prosthet Dent. 33 (Apr 1975): 407-16.
- [33] Eldiwany, M., Friedl, K.H. and Powers, J.M. Color stability of light-cured and post-cured composites. Am J Dent. 8 (Aug 1995): 179-81.
- [34] Darr, A.H. and Jacobsen, P.H. Conversion of dual cure luting cements. J Oral Rehabil. 22 (Jan 1995): 43-7.
- [35] Peutzfeldt, A. Dual-cure resin cements: in vitro wear and effect of quantity of remaining double bonds, filler volume, and light curing. Acta Odontol Scand. 53 (Feb 1995): 29-34.
- [36] Rueggeberg, F.A. and Caughman, W.F. The influence of light exposure on polymerization of dual-cure resin cements. Oper Dent. 18 (Mar-Apr 1993): 48-55.
- [37] Imazato, S., Tarumi, H., Kobayashi, K., Hiraguri, H., Oda, K. and Tsuchitani, Y. Relationship between the degree of conversion and internal discoloration of light-activated composite. Dent Mater J. 14 (Jun 1995): 23-30.
- [38] Rosenstiel, S.F., Porter, S.S. and Johnston, W.M. Colour measurements of all ceramic crown systems. J Oral Rehabil. 16 (Sep 1989): 491-501.
- [39] Dental materials - determination of color stability of dental resin materials, Draft International Standard ISO/DIS 7491(
- [40] Abu-Bakr, N., Han, L., Okamoto, A. and Iwaku, M. Color stability of compomer after immersion in various media. J Esthet Dent. 12 (2000): 258-63.
- [41] Stober, T., Gilde, H. and Lenz, P. Color stability of highly filled composite resin materials for facings. Dent Mater. 17 (Jan 2001): 87-94.
- [42] Yap, A.U., Sim, C.P., Loh, W.L. and Teo, J.H. Human-eye versus computerized color matching. Oper Dent. 24 (Nov-Dec 1999): 358-63.

- [43] Kuehni, R.F. Color : an introduction to practice and principles. 2 th ed. New Jersy: Wiley-Interscience, 2005.
- [44] Seghi, R.R., Hewlett, E.R. and Kim, J. Visual and instrumental colorimetric assessments of small color differences on translucent dental porcelain. J Dent Res. 68 (Dec 1989): 1760-4.
- [45] Ruyter, I.E., Nilner, K. and Moller, B. Color stability of dental composite resin materials for crown and bridge veneers. Dent Mater. 3 (Oct 1987): 246-51.
- [46] สมเกียรติ วัฒนศิริชัยกุลและคณะอื่นๆ. ตำราวิชาการสุขภาพ การควบคุมการบริโภคยาสูบ สำหรับบุคลากรและนักศึกษาวิชาชีพด้านสุขภาพ. พิมพ์ครั้งที่ 1. กรุงเทพมหานคร: เครือข่ายวิชาชีพสุขภาพเพื่อสังคมไทยปลดบุหรี่, 2550.
- [47] ทันตแพทย์สภา. การพัฒนาศักยภาพทันตบุคลากร เพื่อให้ความช่วยเหลือผู้ต้องการเลิกบุหรี่. นนทบุรี: ทันตแพทย์สภา, 2549.
- [48] Asmussen, E. and Hansen, E.K. Surface discoloration of restorative resins in relation to surface softening and oral hygiene. Scand J Dent Res. 94 (Apr 1986): 174-7.
- [49] Murray, I.D., McCabe, J.F. and Storer, R. The relationship between the abrasivity and cleaning power of the dentifrice-type denture cleaners. Br Dent J. 161 (Sep 20 1986): 205-8.
- [50] Ness, L., Rosekrans Dde, L. and Welford, J.F. An epidemiologic study of factors affecting extrinsic staining of teeth in an English population. Community Dent Oral Epidemiol. 5 (Jan 1977): 55-60.
- [51] Apinan, R., Pleumsamran, N., Kodkeaw, P. and Phankosol, P. The effect of cigarette smoke and denture cleansers on the surface hardness and color of acrylic resin glaze. CU Dent J. 33 (2010): 77-88.

- [52] Wasilewski Mde, S., Takahashi, M.K., Kirsten, G.A. and de Souza, E.M. Effect of cigarette smoke and whiskey on the color stability of dental composites. Am J Dent. 23 (Feb 2010): 4-8.
- [53] Vichi, A., Ferrari, M. and Davidson, C.L. Color and opacity variations in three different resin-based composite products after water aging. Dent Mater. 20 (Jul 2004): 530-4.
- [54] Davis, B.A., Friedl, K.H. and Powers, J.M. Color stability of hybrid ionomers after accelerated aging. J Prosthodont. 4 (Jun 1995): 111-5.
- [55] Powers, J.M., Dennison, J.B. and Koran, A. Color stability of restorative resins under accelerated aging. J Dent Res. 57 (Nov-Dec 1978): 964-70.
- [56] Tanoue, N., Koishi, Y., Yanagida, H., Atsuta, M., Shimada, K. and Matsumura, H. Color stability of acrylic resin adhesives with different initiation modes. Dent Mater J. 23 (Sep 2004): 368-72.
- [57] Colom, X., Garcia, T., Sunol, J.J., Saurina, J. and Carrasco, F. Properties of PMMA artificially aged. Journal of Non-Crystalline Solids. 287 (2001): 308-312.
- [58] Scheirs, J. Compositional and failure analysis of polymers: a practical approach. 1st ed. New York: John Wiley & Sons, Ltd, 2000.
- [59] Ahmed, R.M. Optical Study on Poly(methyl methacrylate)/Poly(vinyl acetate) Blends. International Journal of Photoenergy. 2009 (2009).
- [60] Powers, J.M., Fan, P.L. and Raptis, C.N. Color stability of new composite restorative materials under accelerated aging. J Dent Res. 59 (Dec 1980): 2071-4.
- [61] Geurtsen, W. Substances released from dental resin composites and glass ionomer cements. Eur J Oral Sci. 106 (Apr 1998): 687-95.

- [62] Karaagaclioglu, L. and Yilmaz, B. Influence of cement shade and water storage on the final color of leucite-reinforced ceramics. *Oper Dent.* 33 (Jul-Aug 2008): 386-91.
- [63] Chung, C.W., Yiu, C.K., King, N.M., Hiraishi, N. and Tay, F.R. Effect of saliva contamination on bond strength of resin luting cements to dentin. *J Dent.* 37 (Dec 2009): 923-31.
- [64] Um, C.M. and Ruyter, I.E. Staining of resin-based veneering materials with coffee and tea. *Quintessence Int.* 22 (May 1991): 377-86.
- [65] Burrow, M.F. and Makinson, O.F. Color change in light-cured resins exposed to daylight. *Quintessence Int.* 22 (Jun 1991): 447-52.
- [66] Mathias, P., Costa, L., Saraiva, L.O., Rossi, T.A., Cavalcanti, A.N. and da Rocha Nogueira-Filho, G. Morphologic texture characterization allied to cigarette smoke increase pigmentation in composite resin restorations. *J Esthet Restor Dent.* 22 (Aug 2010): 252-9.
- [67] Mathias, P. et al. Effect of surface sealant and repolishing procedures on the color of composite resin exposed to cigarette smoke. *Gen Dent.* 58 (Jul-Aug 2010): 331-5.
- [68] Mathias, P., Rossi, T.A., Cavalcanti, A.N., Lima, M.J., Fontes, C.M. and Nogueira-Filho, R. Cigarette smoke combined with staining beverages decreases luminosity and increases pigmentation in composite resin restorations. *Compend Contin Educ Dent.* 32 (Mar 2011): 66-70.

ภาคผนวก

ตารางที่ 8 แสดงการวิเคราะห์การกระจายของข้อมูลของค่าผลต่างเฉลี่ยของสีหลังผ่านการเจริญอายุในเรซินซีเมนต์จำนวน 12 กลุ่ม

One-Sample Kolmogorov-Smirnov Test

cement	saliva		ΔE
Nexus 3	non-saliva	N	10
		Normal Parameters ^{a,b}	
		Mean	2.77730455
		Std. Deviation	.335293273
		Most Extreme Differences	
		Absolute	.159
		Positive	.134
		Negative	-.159
		Kolmogorov-Smirnov Z	.503
		Asymp. Sig. (2-tailed)	.962
	saliva	N	10
		Normal Parameters ^{a,b}	
		Mean	1.89664983
		Std. Deviation	.238768680
		Most Extreme Differences	
		Absolute	.215
		Positive	.189
		Negative	-.215
		Kolmogorov-Smirnov Z	.681
		Asymp. Sig. (2-tailed)	.743
Variolink veneer	non-saliva	N	10
		Normal Parameters ^{a,b}	
		Mean	1.51032955
		Std. Deviation	.330310688
		Most Extreme Differences	
		Absolute	.147
		Positive	.147
		Negative	-.124
		Kolmogorov-Smirnov Z	.464
		Asymp. Sig. (2-tailed)	.983
	saliva	N	10
		Normal Parameters ^{a,b}	
		Mean	1.22240902
		Std. Deviation	.161679308
		Most Extreme Differences	
		Absolute	.155
		Positive	.155
		Negative	-.130
		Kolmogorov-Smirnov Z	.490
		Asymp. Sig. (2-tailed)	.970

cement	saliva		ΔE
Superbond C&B	non-saliva	N	10
		Normal Parameters ^{a,,b}	
		Mean	6.60732264
		Std. Deviation	.408326560
		Most Extreme Differences	
		Absolute	.132
		Positive	.132
		Negative	-.119
		Kolmogorov-Smirnov Z	.419
		Asymp. Sig. (2-tailed)	.995
	saliva	N	10
		Normal Parameters ^{a,,b}	
		Mean	7.04883149
		Std. Deviation	.790242279
		Most Extreme Differences	
		Absolute	.134
		Positive	.118
		Negative	-.134
		Kolmogorov-Smirnov Z	.424
		Asymp. Sig. (2-tailed)	.994
Clearfil SA Luting	non-saliva	N	10
		Normal Parameters ^{a,,b}	
		Mean	3.21517339
		Std. Deviation	.268473211
		Most Extreme Differences	
		Absolute	.224
		Positive	.169
		Negative	-.224
		Kolmogorov-Smirnov Z	.710
		Asymp. Sig. (2-tailed)	.695
	saliva	N	10
		Normal Parameters ^{a,,b}	
		Mean	3.86921945
		Std. Deviation	.988798862
		Most Extreme Differences	
		Absolute	.154
		Positive	.117
		Negative	-.154
		Kolmogorov-Smirnov Z	.488
		Asymp. Sig. (2-tailed)	.971
Panavia F2.0	non-saliva	N	10
		Normal Parameters ^{a,,b}	
		Mean	3.27624157
		Std. Deviation	.117668024
		Most Extreme Differences	
		Absolute	.144
		Positive	.101
		Negative	-.144
		Kolmogorov-Smirnov Z	.455
		Asymp. Sig. (2-tailed)	.986

cement	saliva		ΔE
	saliva	N	10
		Normal Parameters ^{a,,b}	
		Mean	4.52165083
		Std. Deviation	.938405148
		Most Extreme Differences	
		Absolute	.200
		Positive	.119
		Negative	-.200
		Kolmogorov-Smirnov Z	.633
		Asymp. Sig. (2-tailed)	.818
Multilink Speed	non-saliva	N	10
		Normal Parameters ^{a,,b}	
		Mean	30.05096484
		Std. Deviation	1.128136264
		Most Extreme Differences	
		Absolute	.160
		Positive	.121
		Negative	-.160
		Kolmogorov-Smirnov Z	.505
		Asymp. Sig. (2-tailed)	.960
	saliva	N	10
		Normal Parameters ^{a,,b}	
		Mean	28.55109925
		Std. Deviation	1.590056454
		Most Extreme Differences	
		Absolute	.210
		Positive	.107
		Negative	-.210
		Kolmogorov-Smirnov Z	.665
		Asymp. Sig. (2-tailed)	.768

a. Test distribution is Normal.

b. Calculated from data.

ตารางที่ 9 แสดงการวิเคราะห์เปรียบเทียบอิทธิพลร่วมของการไม่ปนเปื้อนหรือปนเปื้อนน้ำลาย เที่ยมก่อนเกิดปฏิกิริยาการกรอกตัวว่า กับเรซินซีเมนต์ในแต่ละผลิตภัณฑ์ ต่อผลต่างเฉลี่ยของสีของเรซินซีเมนต์หลังผ่านการเร่งอายุ

Tests of Between-Subjects Effects

Dependent Variable: ΔE

Source	Type III Sum of Squares	df	Mean Square	F	Sig.
Corrected Model	11382.108 ^a	11	1034.737	1815.033	.000
Intercept	7449.310	1	7449.310	13066.839	.000
cement	11355.699	5	2271.140	3983.808	.000
saliva	.089	1	.089	.157	.693
cement * saliva	26.320	5	5.264	9.233	.000
Error	61.570	108	.570		
Total	18892.989	120			
Corrected Total	11443.678	119			

a. R Squared = .995 (Adjusted R Squared = .994)

ตารางที่ 10 แสดงการวิเคราะห์ความเหมือนของความแปรปรวน (Homogeneity of Variances)

ด้วยการใช้การทดสอบแบบเลโวน (Levene's test) ค่าผลต่างเฉลี่ยของสีหลังผ่าน การเร่งอายุในเรซินซีเมนต์จำนวน 12 กลุ่ม

Test of Homogeneity of Variances

ΔE

Levene Statistic	df1	df2	Sig.
8.163	11	108	.000

ตารางที่ 11 แสดงการทดสอบค่าผลต่างเฉลี่ยของสีหลังผ่านการเร่งความในเรซิโนเมนต์จำนวน 12 กลุ่ม ด้วยวิธีการวิเคราะห์แบบทางเดียว (One-way ANOVA) และด้วยวิธีการของบราน์-ฟอร์ช์ (Brown-Forsythe test)

ANOVA

ΔE

	Sum of Squares	df	Mean Square	F	Sig.
Between Groups	11382.108	11	1034.737	1815.033	.000
Within Groups	61.570	108	.570		
Total	11443.678	119			

Robust Tests of Equality of Means

ΔE

	Statistic ^a	df1	df2	Sig.
Brown-Forsythe	1815.033	11	41.315	.000

a. Asymptotically F distributed.

ตารางที่ 12 แสดงการทดสอบค่าผลต่างเฉลี่ยของสีหลังผ่านการร่วงอายุในเรซิโนเมนต์จำพวก 12 กลุ่ม ด้วยวิธีการวิเคราะห์รายคู่ภายหลังแบบแทนเนนส์ ทีทู (Tamhane T2)

Multiple Comparisons

Tamhane

(I) GROUP	(J) GROUP	Mean Difference (I-J)	Std. Error	Sig.	95% Confidence Interval	
					Lower Bound	Upper Bound
Nexus 3	Nexus 3+saliva	.880654726*	.130166071	.000	.34429482	1.41701464
	Variolink Veneer	1.266974998*	.148837740	.000	.66638938	1.86756062
	Variolink Veneer+saliva	1.554895529*	.117712267	.000	1.04169347	2.06809758
	Superbond C&B	-3.830018088E0	.167078472	.000	-4.50918321	-3.15085297
	Superbond C&B+saliva	-4.271526941E0	.271459838	.000	-5.47840412	-3.06464976
	Clearfil SA Luting	-.437868836	.135830573	.279	-.99109230	.11535463
	Clearfil SA Luting+saliva	-1.091914894	.330173404	.369	-2.60556597	.42173618
	Panavia F2.0	-.498937015	.112368743	.061	-1.01186220	.01398817
	Panavia F2.0+saliva	-1.744346274E0	.315123119	.011	-3.17944621	-.30924634
	Multilink Speed	-2.727366029E1	.372171064	.000	-29.00585469	-25.54146588
Nexus 3+saliva	Multilink Speed+saliva	-2.577379470E1	.513877525	.000	-28.23565100	-23.31193840
	Nexus 3	-.880654726*	.130166071	.000	-1.41701464	-.34429482
	Variolink Veneer	.386320272	.128885854	.425	-.14386259	.91650314
	Variolink Veneer+saliva	.674240803*	.091186995	.000	.29619403	1.05228758
	Superbond C&B	-4.710672814E0	.149579765	.000	-5.34364081	-4.07770481
	Superbond C&B+saliva	-5.152181667E0	.261054274	.000	-6.36506498	-3.93929835
	Clearfil SA Luting	-1.318523562E0	.113617053	.000	-1.77818790	-.85885923
	Clearfil SA Luting+saliva	-1.972569620E0	.321672764	.007	-3.49873802	-.44640122
	Panavia F2.0	-1.379591741E0	.084176152	.000	-1.74533840	-1.01384508
	Panavia F2.0+saliva	-2.625001000E0	.306204948	.000	-4.07152420	-1.17847780
Variolink Veneer	Multilink Speed	-2.815431501E1	.364650780	.000	-29.90084865	-26.40778138
	Multilink Speed+saliva	-2.665444942E1	.508457472	.000	-29.13110352	-24.17779533
	Nexus 3	-1.266974998E0	.148837740	.000	-1.86756062	-.66638938
	Nexus 3+saliva	-.386320272	.128885854	.425	-.91650314	.14386259
	Variolink Veneer+saliva	.287920531	.116295034	.844	-.21791961	.79376068
	Superbond C&B	-5.096993086E0	.166083030	.000	-5.77287873	-4.42110744
	Superbond C&B+saliva	-5.538501939E0	.270848299	.000	-6.74533007	-4.33167381
	Clearfil SA Luting	-1.704843834E0	.134604240	.000	-2.25242276	-1.15726491
	Clearfil SA Luting+saliva	-2.358889892E0	.329670797	.001	-3.87301160	-.84476818
	Panavia F2.0	-1.765912013E0	.110883233	.000	-2.27108085	-1.26074317
	Panavia F2.0+saliva	-3.011321272E0	.314596467	.000	-4.44679745	-1.57584509
	Multilink Speed	-2.854063528E1	.371725246	.000	-30.27347531	-26.80779526
	Multilink Speed+saliva	-2.704076970E1	.513554737	.000	-29.50341742	-24.57812197

(I) GROUP	(J) GROUP	Mean Difference (I-J)	Std. Error	Sig.	95% Confidence Interval	
					Lower Bound	Upper Bound
Variolink Veneer+saliva	Nexus 3	-1.554895529E0	.117712267	.000	-2.06809758	-1.04169347
	Nexus 3+saliva	-.674240803*	.091186995	.000	-1.05228758	-.29619403
	Variolink Veneer	-.287920531	.116295034	.844	-.79376068	.21791961
	Superbond C&B	-5.384913617E0	.138877924	.000	-6.00858496	-4.76124227
	Superbond C&B+saliva	-5.826422470E0	.255073138	.000	-7.05072787	-4.60211707
	Clearfil SA Luting	-1.992764365E0	.099105027	.000	-2.41031796	-1.57521078
	Clearfil SA Luting+saliva	-2.646810423E0	.316838033	.001	-4.18502807	-1.10859278
	Panavia F2.0	-2.053832544E0	.063234455	.000	-2.31375732	-1.79390777
	Panavia F2.0+saliva	-3.299241803E0	.301121972	.000	-4.75782477	-1.84065884
	Multilink Speed	-2.882855582E1	.360393067	.000	-30.58681567	-27.07029597
	Multilink Speed+saliva	-2.732869023E1	.505412675	.000	-29.81514460	-24.84223585
Superbond C&B	Nexus 3	3.830018088*	.167078472	.000	3.15085297	4.50918321
	Nexus 3+saliva	4.710672814*	.149579765	.000	4.07770481	5.34364081
	Variolink Veneer	5.096993086*	.166083030	.000	4.42110744	5.77287873
	Variolink Veneer+saliva	5.384913617*	.138877924	.000	4.76124227	6.00858496
	Superbond C&B+saliva	-.441508853	.281285165	1.000	-1.65467645	.77165875
	Clearfil SA Luting	3.392149252*	.154534282	.000	2.74901954	4.03527896
	Clearfil SA Luting+saliva	2.738103194*	.338297764	.000	1.22805564	4.24815075
	Panavia F2.0	3.331081073*	.134378697	.000	2.70363296	3.95852919
	Panavia F2.0+saliva	2.085671814*	.323625525	.002	.65228952	3.51905411
	Multilink Speed	-2.344364220E1	.379397155	.000	-25.16853068	-21.71875372
	Multilink Speed+saliva	-2.194377661E1	.519134867	.000	-24.39423543	-19.49331779
Superbond C&B+saliva	Nexus 3	4.271526941*	.271459838	.000	3.06464976	5.47840412
	Nexus 3+saliva	5.152181667*	.261054274	.000	3.93929835	6.36506498
	Variolink Veneer	5.538501939*	.270848299	.000	4.33167381	6.74533007
	Variolink Veneer+saliva	5.826422470*	.255073138	.000	4.60211707	7.05072787
	Superbond C&B	.441508853	.281285165	1.000	-.77165875	1.65467645
	Clearfil SA Luting	3.833658105*	.263924369	.000	2.62400362	5.04331259
	Clearfil SA Luting+saliva	3.179612047*	.400275661	.000	1.54907837	4.81014573
	Panavia F2.0	3.772589926*	.252651662	.000	2.54157549	5.00360436
	Panavia F2.0+saliva	2.527180667*	.387954518	.000	.95290869	4.10145264
	Multilink Speed	-2.300213335E1	.435565643	.000	-24.80039138	-21.20387531
	Multilink Speed+saliva	-2.150226776E1	.561494647	.000	-23.93875205	-19.06578346

(I) GROUP	(J) GROUP	Mean Difference (I-J)	Std. Error	Sig.	95% Confidence Interval	
					Lower Bound	Upper Bound
Clearfil SA Luting	Nexus 3	-1.509676970E0	.135830573	.279	-.11535463	.99109230
	Nexus 3+saliva	-.629022244*	.113617053	.000	.85885923	1.77818790
	Variolink Veneer	-.242701972	.134604240	.000	1.15726491	2.25242276
	Variolink Veneer+saliva	.045218559	.099105027	.000	1.57521078	2.41031796
	Superbond C&B	-5.339695058E0	.154534282	.000	-4.03527896	-2.74901954
	Superbond C&B+saliva	-5.781203911E0	.263924369	.000	-5.04331259	-2.62400362
	Clearfil SA Luting+saliva	-2.601591864E0	.324006336	.992	-2.17575794	.86766582
	Panavia F2.0	-2.008613985E0	.092694999	1.000	-.47117972	.34904336
	Panavia F2.0+saliva	-3.254023244E0	.308655485	.098	-2.74872447	.13576960
	Multilink Speed	-2.878333726E1	.366710962	.000	-28.57763426	-25.09394864
	Multilink Speed+saliva	-2.728347167E1	.509936995	.000	-27.80821442	-22.86363731
Clearfil SA Luting+saliva	Nexus 3	1.091914894	.330173404	.369	-.42173618	2.60556597
	Nexus 3+saliva	1.972569620*	.321672764	.007	.44640122	3.49873802
	Variolink Veneer	2.358889892*	.329670797	.001	.84476818	3.87301160
	Variolink Veneer+saliva	2.646810423*	.316838033	.001	1.10859278	4.18502807
	Superbond C&B	-2.738103194E0	.338297764	.000	-4.24815075	-1.22805564
	Superbond C&B+saliva	-3.179612047E0	.400275661	.000	-4.81014573	-1.54907837
	Clearfil SA Luting	.654046058	.324006336	.992	-.86766582	2.17575794
	Panavia F2.0	.592977879	.314891879	.998	-.95127154	2.13722729
	Panavia F2.0+saliva	-.652431380	.431083218	1.000	-2.39277608	1.08791332
	Multilink Speed	-2.618174539E1	.474385352	.000	-28.10231569	-24.26117509
	Multilink Speed+saliva	-2.468187980E1	.592115083	.000	-27.16507515	-22.19868446
Panavia F2.0	Nexus 3	.498937015	.112368743	.061	-.01398817	1.01186220
	Nexus 3+saliva	1.379591741*	.084176152	.000	1.01384508	1.74533840
	Variolink Veneer	1.765912013*	.110883233	.000	1.26074317	2.27108085
	Variolink Veneer+saliva	2.053832544*	.063234455	.000	1.79390777	2.31375732
	Superbond C&B	-3.331081073E0	.134378697	.000	-3.95852919	-2.70363296
	Superbond C&B+saliva	-3.772589926E0	.252651662	.000	-5.00360436	-2.54157549
	Clearfil SA Luting	.061068179	.092694999	1.000	-.34904336	.47117972
	Clearfil SA Luting+saliva	-.592977879	.314891879	.998	-2.13722729	.95127154
	Panavia F2.0+saliva	-1.245409259	.299073567	.140	-2.71020611	.21938760
	Multilink Speed	-2.677472327E1	.358683314	.000	-28.53852349	-25.01092306
	Multilink Speed+saliva	-2.527485768E1	.504194932	.000	-27.76555156	-22.78416380

(I) GROUP	(J) GROUP	Mean Difference (I-J)	Std. Error	Sig.	95% Confidence Interval	
					Lower Bound	Upper Bound
Panavia F2.0+saliva	Nexus 3	1.744346274*	.315123119	.011	.30924634	3.17944621
	Nexus 3+saliva	2.625001000*	.306204948	.000	1.17847780	4.07152420
	Variolink Veneer	3.011321272*	.314596467	.000	1.57584509	4.44679745
	Variolink Veneer+saliva	3.299241803*	.301121972	.000	1.84065884	4.75782477
	Superbond C&B	-2.085671814E0	.323625525	.002	-3.51905411	-.65228952
	Superbond C&B+saliva	-2.527180667E0	.387954518	.000	-4.10145264	-.95290869
	Clearfil SA Luting	1.306477438	.308655485	.098	-.13576960	2.74872447
	Clearfil SA Luting+saliva	.652431380	.431083218	1.000	-1.08791332	2.39277608
	Panavia F2.0	1.245409259	.299073567	.140	-.21938760	2.71020611
	Multilink Speed	-2.552931401E1	.464036168	.000	-27.41386351	-23.64476452
	Multilink Speed+saliva	-2.402944842E1	.583856468	.000	-26.49672200	-21.56217485
Multilink Speed	Nexus 3	2.727366029E1	.372171064	.000	25.54146588	29.00585469
	Nexus 3+saliva	2.815431501E1	.364650780	.000	26.40778138	29.90084865
	Variolink Veneer	2.854063528E1	.371725246	.000	26.80779526	30.27347531
	Variolink Veneer+saliva	2.882855582E1	.360393067	.000	27.07029597	30.58681567
	Superbond C&B	2.344364220E1	.379397155	.000	21.71875372	25.16853068
	Superbond C&B+saliva	2.300213335E1	.435565643	.000	21.20387531	24.80039138
	Clearfil SA Luting	2.683579145E1	.366710962	.000	25.09394864	28.57763426
	Clearfil SA Luting+saliva	2.618174539E1	.474385352	.000	24.26117509	28.10231569
	Panavia F2.0	2.677472327E1	.358683314	.000	25.01092306	28.53852349
	Panavia F2.0+saliva	2.552931401E1	.464036168	.000	23.64476452	27.41386351
	Multilink Speed+saliva	1.499865588	.616520150	.835	-1.04164283	4.04137401
Multilink Speed+saliva	Nexus 3	2.577379470E1	.513877525	.000	23.31193840	28.23565100
	Nexus 3+saliva	2.665444942E1	.508457472	.000	24.17779533	29.13110352
	Variolink Veneer	2.704076970E1	.513554737	.000	24.57812197	29.50341742
	Variolink Veneer+saliva	2.732869023E1	.505412675	.000	24.84223585	29.81514460
	Superbond C&B	2.194377661E1	.519134867	.000	19.49331779	24.39423543
	Superbond C&B+saliva	2.150226776E1	.561494647	.000	19.06578346	23.93875205
	Clearfil SA Luting	2.533592586E1	.509936995	.000	22.86363731	27.80821442
	Clearfil SA Luting+saliva	2.468187980E1	.592115083	.000	22.19868446	27.16507515
	Panavia F2.0	2.527485768E1	.504194932	.000	22.78416380	27.76555156
	Panavia F2.0+saliva	2.402944842E1	.583856468	.000	21.56217485	26.49672200
	Multilink Speed	-1.499865588	.616520150	.835	-4.04137401	1.04164283

*. The mean difference is significant at the 0.05 level.

ตารางที่ 13 แสดงการวิเคราะห์การกระจายของข้อมูลของค่าผลต่างเฉลี่ยของสีก่อนกับหลังการรวมคัณบุหรี่ (ΔE_{12}) และผลต่างเฉลี่ยของสีก่อนการรวมคัณบุหรี่กับหลังทำการสะอาดคราบคัณบุหรี่ (ΔE_{13}) ในเรชินซีเมนต์จำนวน 6 ผลิตภัณฑ์

One-Sample Kolmogorov-Smirnov Test

Cement			smoke	ultrasonic
NX3	N		10	10
	Normal Parameters ^{a,b}	Mean	6.3757	3.6914
		Std. Deviation	1.39811	.42876
	Most Extreme Differences	Absolute	.273	.238
		Positive	.273	.238
		Negative	-.178	-.112
	Kolmogorov-Smirnov Z		.865	.753
	Asymp. Sig. (2-tailed)		.443	.623
Variolink Veneer	N		10	10
	Normal Parameters ^{a,b}	Mean	7.6151	2.8629
		Std. Deviation	1.32136	.46639
	Most Extreme Differences	Absolute	.254	.163
		Positive	.230	.139
		Negative	-.254	-.163
	Kolmogorov-Smirnov Z		.802	.517
	Asymp. Sig. (2-tailed)		.540	.952
Superbond C&B	N		10	10
	Normal Parameters ^{a,b}	Mean	4.5857	2.7386
		Std. Deviation	.66365	.39941
	Most Extreme Differences	Absolute	.151	.191
		Positive	.106	.133
		Negative	-.151	-.191
	Kolmogorov-Smirnov Z		.477	.605
	Asymp. Sig. (2-tailed)		.977	.858
Clearfil SA Luting	N		10	10
	Normal Parameters ^{a,b}	Mean	1.6544	.8501
		Std. Deviation	.62092	.40920
	Most Extreme Differences	Absolute	.219	.229
		Positive	.219	.229
		Negative	-.128	-.161
	Kolmogorov-Smirnov Z		.692	.724
	Asymp. Sig. (2-tailed)		.724	.670

Cement			smoke	ultrasonic
Panavia F2.0	N		10	10
	Normal Parameters ^{a,,b}	Mean	2.0804	1.8455
		Std. Deviation	.64074	.40428
	Most Extreme Differences	Absolute	.222	.165
		Positive	.222	.165
		Negative	-.173	-.127
	Kolmogorov-Smirnov Z		.702	.521
	Asymp. Sig. (2-tailed)		.708	.949
Multilink Speed	N		10	10
	Normal Parameters ^{a,,b}	Mean	5.0328	2.3375
		Std. Deviation	1.10813	.74091
	Most Extreme Differences	Absolute	.278	.204
		Positive	.278	.204
		Negative	-.203	-.141
	Kolmogorov-Smirnov Z		.881	.647
	Asymp. Sig. (2-tailed)		.420	.797

a. Test distribution is Normal.

b. Calculated from data.

ตารางที่ 14 แสดงการวิเคราะห์ความเหมือนของความแปรปรวน (Homogeneity of Variances) ด้วยการใช้การทดสอบแบบเลโวน (Levene's test) ของค่าผลต่างเฉลี่ยของสีก้อน กับหลังการรวมครั้งบุหรี่ (ΔE_{12}) ในเรซินซีเมนต์จำนวน 6 ผลิตภัณฑ์

Test of Homogeneity of Variances

ΔE_{12}			
Levene Statistic	df1	df2	Sig.
2.362	5	54	.052

ตารางที่ 15 แสดงการทดสอบต่างเฉลี่ยของสีก่อนกับหลังการรวมค่านูนูหรี่ (ΔE_{12}) ในเรซินชีเมนต์จำนวน 6 ผลิตภัณฑ์ ด้วยวิธีการวิเคราะห์แบบทางเดียว (One-way ANOVA)

ANOVA

ΔE_{12}

	Sum of Squares	df	Mean Square	F	Sig.
Between Groups	274.452	5	54.890	53.420	.000
Within Groups	55.487	54	1.028		
Total	329.939	59			

ตารางที่ 16 แสดงการทดสอบต่างเฉลี่ยของสีก่อนกับหลังการรวมค่านูนูหรี่ (ΔE_{12}) ในเรซินชีเมนต์จำนวน 6 ผลิตภัณฑ์ ด้วยวิธีการวิเคราะห์รายคู่ภายหลังแบบ HSD ของทุกคู่ (Tukey's HSD test)

ΔE_{12}

Tukey HSD^a

Cement	N	Subset for alpha = 0.05		
		1	2	3
Clearfil SA Luting	10	1.65440777		
Panavia F2.0	10	2.08037063		
Superbond C&B	10		4.58565986	
Multilink Speed	10		5.03280311	
Nexus 3	10			6.37566382
Variolink Veneer	10			7.61506115
Sig.		.934	.920	.085

Means for groups in homogeneous subsets are displayed.

a. Uses Harmonic Mean Sample Size = 10.000.

ตารางที่ 17 แสดงการวิเคราะห์ความเห็นชอบความประจวบ (Homogeneity of Variances) ด้วยการใช้การทดสอบแบบเลโวน (Levene's test) ของค่าผลต่างเฉลี่ยของสีก่อนการรวมค้วนบุหรี่กับหลังทำการควบค้วนบุหรี่ (ΔE_{13}) ในเรซินชีเมนต์จำนวน 6 ผลิตภัณฑ์

Test of Homogeneity of Variances

ΔE_{13}

Levene Statistic	df1	df2	Sig.
1.124	5	54	.359

ตารางที่ 18 แสดงการทดสอบผลต่างเฉลี่ยของสีก่อนการรวมค้วนบุหรี่กับหลังทำการควบค้วนบุหรี่ (ΔE_{13}) ในเรซินชีเมนต์จำนวน 6 ผลิตภัณฑ์ ด้วยวิธีการวิเคราะห์แบบทางเดียว (One-way ANOVA)

ANOVA

ΔE_{13}

	Sum of Squares	df	Mean Square	F	Sig.
Between Groups	47.093	5	9.419	39.225	.000
Within Groups	12.966	54	.240		
Total	60.060	59			

ตารางที่ 19 แสดงการทดสอบผลต่างเฉลี่ยของสีก่อนการรวมค่าวัสดุหรือกับหลังทำการทดสอบ
ค่าบค่าวัสดุหรือ (ΔE_{13}) ในเรซินซีเมนต์จำนวน 6 ผลิตภัณฑ์ ด้วยวิธีการวิเคราะห์ราย
คู่ภายหลังแบบ HSD ของทูก (Tukey's HSD test)

ΔE_{13}

Tukey HSD^a

Cement	N	Subset for alpha = 0.05			
		1	2	3	4
Clearfil SA Luting	10	.85006645			
Panavia F2.0	10		1.84553349		
Multilink Speed	10		2.33749037	2.33749037	
Superbond C&B	10			2.73860497	
Variolink Veneer	10			2.86289403	
Nexus 3	10				3.69138619
Sig.		1.000	.235	.175	1.000

Means for groups in homogeneous subsets are displayed.

a. Uses Harmonic Mean Sample Size = 10.000.

ประวัติผู้เขียนวิทยานิพนธ์

นายสุรีย์ อัมพรสิริรัตน์ เกิดที่ กรุงเทพมหานคร เมื่อวันที่ 12 สิงหาคม พ.ศ. 2524
สัญชาติไทย สำเร็จการศึกษาระดับปริญญาตรี ทันตแพทยศาสตร์บัณฑิต พ.ศ. 2549 จากคณะ
ทันตแพทยศาสตร์ จุฬาลงกรณ์มหาวิทยาลัย ได้รับราชการตำแหน่งทันตแพทย์ประจำ ณ
โรงพยาบาลปากน้ำชุมพร จังหวัดชุมพร พ.ศ. 2549-2551 และ ณ โรงพยาบาลบ้านแหลม จังหวัด
เพชรบุรี พ.ศ. 2551-2552